

ŘADA B
PRO KONSTRUKTÉRY'

ČASOPIS
PRO ELEKTRONIKU
A AMATÉRSKÉ VYSÍLÁNÍ
ROČNÍK XXIX/1980 Číslo 5

V TOMTO SEŠITĚ

Listopad – měsíc československo-sovětského přátelství 201

INTEGROVANÉ OBVODY
ZEMÍ RVHP
A JEJICH APLIKACE I

Integrované obvody NDR

Analogové integrované obvody 202

Digitální integrované obvody 234

Konstrukční část

Korekční zesilovač s integrovanými obvody ... 237

Mezifrekvenční zesilovač FM a stereofonní dekódér s integrovanými obvody ... 238

AMATÉRSKÉ RADIO ŘADA B

Vydává ÚV Svazarmu ve vydavatelství NAŠE VOJSKO, Vladislavova 26, PSČ 113 66 Praha 1, telefon 26 06 51-7. Šéfredaktor ing. F. Smolík, redaktor L. Kalousek. Redakční rada: K. Bartoš, V. Brzák, RNDr. V. Brunnhöfer, K. Donát, A. Glanc, I. Harminc, Z. Hradík, P. Horák, J. Hudc, ing. J. Hyán, ing. J. Jaroš, doc. ing. dr. M. Joachim, ing. J. Klábal, ing. E. Králík, RNDr. L. Kryška, PhDr. E. Křížek, ing. E. Móćik, K. Novák, RNDr. L. Ondříš, ing. O. Petráček, ing. M. Smolka, doc. ing. J. Vackář, laureát st. ceny KG, ing. J. Zima. Redakce Jungmannova 24, PSČ 113 66 Praha 1, telefon 26 06 51-7, ing. Smolík linka 354, Kalousek linka 535, sekretářka linka 355. Ročně vydá 6 čísel. Cena výtisku 5 Kčs, poštovní předplatné 15 Kčs. Rozšířuje PNS, v jednotkách ozbrojených sil vydavatelství NAŠE VOJSKO, administrace Vladislavova 26, Praha 1. Objednávky přijímá každá pošta i doručovatel. Objednávky do zahraničí vyřizuje PNS, vývoz tisku, Jindřišská 14, Praha 1. Tiskne NAŠE VOJSKO, n. p. závod 08, 162 00 Praha 6-Liboc, Vlastina 710.

Za původnost a správnost příspěvku ručí autor. Návštěvy v redakci a telefonické dotazy pouze po 14. hodině.

Cíl indexu 46 044.

Toto číslo má výjít podle plánu 12. listopadu 1980.
© Vydavatelství NAŠE VOJSKO, Praha

LISTOPAD - MĚSIC ČESKOSLOVENSKO-SOVĚTSKÉHO PŘÁTELSTVÍ

Spolupráce mezi radioamatérskou organizací Svazarmu a Svatem československo-sovětského přátelství má dlouhou tradici. Pravděpodobně jejím nejzdařilejším výsledkem je pravidelná dlouhodobá Soutěž Měsice československo-sovětského přátelství (dále Soutěž MČSP), kterou pro radioamatéry vysílače a posluchače vždy v listopadu pořádá společně Ústřední radioklub ČSSR, ÚV Svazarmu a ÚV SČSP a jejíž 6. ročník právě v těchto dnech vrcholí.

Jejím posláním je demonstrovat při příležitostech výročí VRSR a Měsíce československo-sovětského přátelství formou radioamatérských spojení na krátkých i velmi krátkých vlnách přátelství mezi národy ČSSR a SSSR.

S nápadem uspořádat tuto soutěž (původně pouze na KV) přišla jihomoravská krajská rada radioamatérství Svazarmu v roce 1973, a protože se soutěž osvědčila, je od roku 1974 pravidelně vyhlašována jako celostátní, ovšem její vyhodnocení probíhá na všech stupních svazarmovského řízení – od OV až po ÚV Svazarmu. SČSP je jejím spolupořadatelem od roku 1975 a výsledkem je stále stoupající úroveň soutěže, také zásluhou hodnotných cen (např. transceivery OTAVA nebo zájezdy do SSSR) ze společných dotací Svazarmu a SČSP.

Jak hodnotit soutěž MČSP představitelé radioamatérské organizace a Svazarmu? Místopředseda ÚV Svazarmu generálporučík ing. Josef Činčák: „Každoroční soutěž k Měsíci přátelství se stala dokladem opravdové lásky a přátelství k našim bratrům. Vložili jsme do ní sami sebe.“

Člen předsednictva ÚV Svazarmu a předseda Ústřední rady radioamatérství Svazarmu RNDr. Ludovit Ondříš, OK3EM: „Poprvé v roce 1974 jsme před celým světem ukázali nás vztah k SSSR v soutěži celostátní. Nejde jen o ukázky mistrovské a systematické práce, ale především o to, že soutěž se stává výrazným prostředkem k prohlubování přátelství mezi našími národy.“

Podmínky Soutěže MČSP na KV jsou jednoduché: v době od 1. do 15. listopadu navázat co nejvíce spojení s stanicemi na území SSSR bez ohledu na pásmo a druh provozu. S každou sovětskou stanicí je možno započítat do Soutěže MČSP pouze jedno spojení, s výjimkou spojení navázaných v závodě OK-DX Contest, která se započítávají všechna. Soutěž se v třech kategoriích: kolektivní stanice, jednotlivci a posluchači. Deníky ze soutěže je nutno posílat k vyhodnocení výhradně prostřednictvím příslušné okresní rady radioamatérství. Celostátní vyhodnocovatelem Soutěže MČSP je jihomoravská krajská rada radioamatérství Svazarmu, která má s touto soutěží nejvíce zkušenosť.

Sest ročníků Soutěže MČSP na KV nám umožňuje vytvořit zajímavý statistický přehled:

ročník	účastníků	celkem spojení
1974	121	15 000
1975	126	29 000
1976	79	32 000
1977	575	135 000
1978	184	42 000
1979	302	79 000

vítězné stanice (1974 až 1979)

kolektivity	jednotlivci	posluchači
OK2KZR	OK1FDG	OK2-4857
OK2KZR	OK2BOB	OK2-4857
OK2KZR	OK2BKR	OK2-25093
OK2UAS	OK3TCA	OK2-4857
OK3KAG	OK2BKR	OK1-19973
OK3KEG	OK2BKR	OK2-22130

Na první pohled zaujme ročník 1977, mimořádně vysokou účastí i celkovým počtem

navázaných spojení. V roce 1977 jsme vzpomínali 60. výročí VRSR a tato čísla jsou nejlepším dokladem o přístupu radioamatérů k významným politickým výročím a stejně tak je můžeme považovat za výsledek politickovýchovné práce v našich radioklubech.

Pozornost vzbudí i jasné převaha Moravu mezi vítěznými stanicemi: Z 18 vítězů je 13 stanic OK2 (72 %), 3 stanice OK3 (16 %) a 2 stanice OK1 (11 %). Protože jsme si vědomi námitek, které mohou být k této statistice vneseny, rozšířili jsme ji na první tři místa v každé kategorii: Z dosavadních 54 umístění od prvního do třetího místa připadá 32 na stanice OK2 (59 %), 12 na stanice OK3 (22 %) a jen 10 na stanice OK1 (18 %). Nezbývá tedy, než připustit, že Soutěž MČSP na KV byla doposud „moravskou záležitostí“ (přičemž 8 prvenství získaly stanice z okresu Žďár nad Sázavou) a moravským KRRA Svazarmu vyjádřit uznání. O skutečně aktivním přístupu jihomoravské KRRA Svazarmu svědčí i okamžitá reakce na povolení sovětským stanicím pracovat v pásmu 1,8 MHz: Hned v roce 1979 vyhlásila v rámci svého kraje další kategorii v Soutěži MČSP pro stanice OL (vítězil OL6AUL z Blanska), která je od letošního ročníku rovněž rozšířena pro všechny stanice OL v ČSSR. Se zájmem očekáváme, jakých výsledků naši nejmladší radioamatéři vysílači dosáhnou.

Od roku 1977 se do Soutěže MČSP pravidelně zapojili také radioamatéři, kteří se zabývají provozem v pásmech VKV. Pod stejným názvem byla na VKV uspořádána soutěž již v roce 1973, pak ale následovala tři roky přestávka. V současné době Soutěž MČSP na VKV trvá podstatně déle než na VKV – dva a půl měsíce, od 1. září do 15. listopadu, a pořadatel má v úmyslu vytvořit z ní soutěž typu „VKV-maraton“ v podzimním období dobrých podmínek šíření.

Samořejmě, že i pravidla jsou odlišná od Soutěže MČSP na KV. Navazují se spojení s libovolnými stanicemi a počet bodů za každé navázání spojení je závislý na velkém čtverci QTH protistánice. Soutěží se v kategoriích 145 MHz a UHF/SHF. Soutěž MČSP na VKV není vyhodnocována na všech stupních, hlášení se zasílají přímo soutěžnímu referentovi komise VKV ÚRRA Svazarmu. Pravidla prošla několika změnami (jejich současně znění pro KV i VKV viz příručka Radioamatérský soutěžní provoz, kterou vydala ÚRRA Svazarmu společně s DPM Ostrava 4 v roce 1979, nebo AR A9/1980), proto tabulku můžeme sestavit zatím jen informativně:

ročník	účastníků	vítězné stanice
1973	49	OK1MG, OK1PG
1977	180	OK1OA, OK1KDO
1978	77	OK2BFH, OK1KIR
1979	83	OK1KKH, OK1KIR

Opět je vidět maximální účast v roce 1977 – 180 stanic! Celkem tedy v roce 1977 bylo hodnoceno v Soutěži MČSP na KV i VKV 755 československých radioamatérských stanic, a taková účast pravděpodobně nemá u nás zatím obdobu v žádné radioamatér-

ské soutěži. Přesto však komise VKV ÚRRA Svatová konstatovala, že na VKV Soutěž MČSP zatím ještě nedosáhla úrovně, která byla předpokládána, protože oproti ročníku 1977 počet soutěžících stanic značně poklesl.

Můžeme však předpokládat, že po ustálení podmínek se i na VKV Soutěž MČSP mezi radioamatéry vžije alespoň tak jako na KV, kde nyní představuje jeden z našich nejpoužívanějších radioamatérských závodů.

Vzhledem k jejímu politickému významu o ní pravidelně referují nejen odborné radioamatérské časopisy, ale i deníky a další periodický tisk, zejména časopis Svět socialismu, týdeník ÚV SČSP, což má svůj velký význam také pro popularizaci a propagaci radioamatérského sportu mezi veřejností.

Slavnostní celostátní vyhodnocení Soutěže MČSP s předáním cen vítězným stanicím bývá pořádáno v budově ÚV SČSP v Praze za účasti nejvyšších představitelů pořádají-

cích organizací vždy na začátku následujícího kalendářního roku. Přibližně za tři měsíce tedy budeme znát výsledky i vítěze ročníku 1980 a budeme je moci doplnit do naší statistiky. Doufajme, že potvrdí vzrůstající úroveň soutěže.

Přejeme všem radioamatérům, kteří nyní soutěží v 7. ročníku Soutěže MČSP na KV a v 5. ročníku na VKV, ještě hodně spojení a příznivé podmínky šíření.

pm

INTEGROVANÉ OBVODY ZEMÍ RVHP A JEJICH APLIKACE I

Allan Matuška

V zemích RVHP se každým rokem rozšiřuje sortiment integrovaných obvodů a to jak pro spotřební elektroniku, tak i pro investiční techniku. Cílem tohoto AR řady B je seznámit čtenáře alespoň s částí integrovaných obvodů, vyráběných v NDR. Pokud tyto obvody mají americké nebo západoevropské ekvivalenty, je to vždy u nich uvedeno i s původním výrobcem. Chťel bych tímto jak amatérům, tak i profesionálům dát alespoň základní informace o integrovaných obvodech vyráběných v NDR.

Kromě obvodů uvedených v tomto čísle AR B jsou na trhu v NDR i obvody řady R, což jsou obvody určené pro amatéry, které obvykle mají shodné parametry s obvody řady A. Jejich cena se pohybuje mezi 1 až 10 M. Dále jsou to obvody řady P, které se jen velmi málo liší svými elektrickými parametry od obvodů řady D a jejich cena se pohybuje mezi 10 až 20 M.

V některém z dalších čísel AR řady B bude pojednáno o IO z ostatních zemí RVHP a o jejich aplikacích.



INTEGROVANÉ OBVODY NDR

Analogové integrované obvody

Operační zesilovač A109, B109

Integrovaný obvod A109, B109 je operační zesilovač s velkým zesílením, velkým vstupním odporem a velkým rozsahem vstupních napětí. Kromě jiného má IO A109, B109 malou nesymetrii (offset) vstupního proudu a napětí, velké použitelné výstupní napětí a malý příkon. IO je použitelný do kmitočtů až 1 MHz. A109, B109 je ekvivalentem μA709 (DIL) fy Fairchild a MAA503 TESLA.

Tento integrovaný obvod je v plastickém pouzdře (provedení A109D) nebo v pouzdře z keramiky (provedení A109C). Na obr. 1. je vnitřní zapojení. Operační zesilovač je tvořen:

vstupním rozdílovým zesilovačem,
druhým rozdílovým zesilovačem,
výstupním zesilovačem.

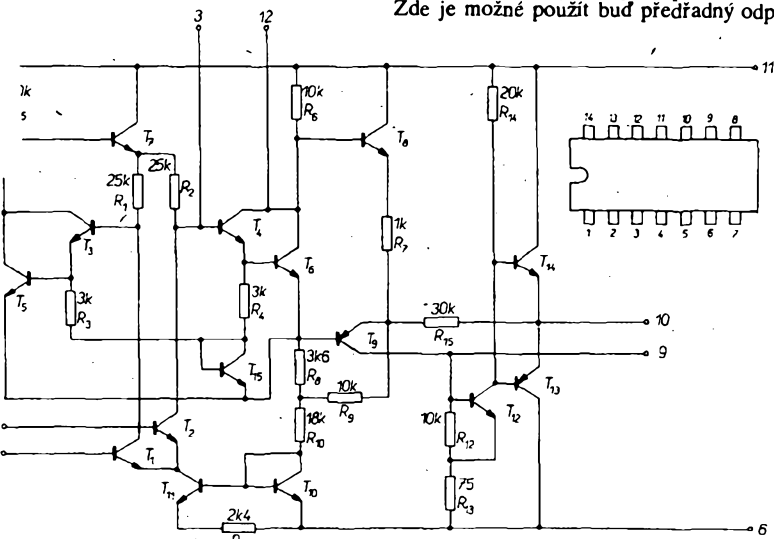
Vlastnosti A109, B109

Od dobrého operačního zesilovače požadujeme, aby měl velké napěťové zesílení (bez zpětné vazby), velký vstupní a malý výstupní odpor, velmi malou nesymetrii vstupních veličin, vstupní veličiny nezávislé na teplotě, velké potlačení součtového signálu a rušivých signálů v napájecím napěti a velký rozsah vstupních napětí. Při pohledu do tab. 1 vidíme, že operační zesilovač A109 tyto požadavky splňuje. Je určen pro rozsah teplot 0 až 70 °C; tentýž zesilovač pod označením B109 má rozšířený teplotní rozsah -25 až +85 °C.

V tab. 2 jsou mezní údaje operačního zesilovače. Při aplikaci A109, B109 je třeba v první řadě mít na paměti, že v žádném případě nesmí být překročeny elektrické

a teplotní údaje tohoto operačního zesilovače. Dále je třeba při aplikaci dbát na to, aby

nedošlo k přetížení vstupů a výstupu a zesilovač je nutné kmitočtově kompenzovat a kompenzovat nesymetrii vstupních veličin. Proti napěťovému přetížení vstupů jsou účinnou ochranou Zenerovy diody, zapojené proti sobě. Nevyužíváme-li celého rozsahu vstupních napěti, je možné jako ochranu použít antiparalelně zapojené křemíkové diody. Výstup je málo odolný proti proudovému přetížení, zejména při kapacitní zátěži. Zde je možné použít buď předřadný odpor



Obr. 1. Vnitřní zapojení A109

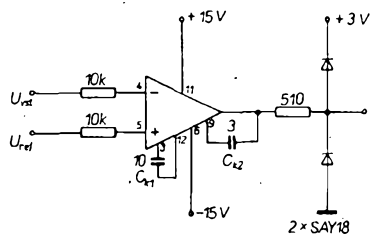
Tab. 1. Charakteristické údaje A109 ($U_B = \pm 15$ V)

Nesymetrie vstupního napětí:	≤ 7,5 mV.
Citlivost napěťové nesymetrie vstupu na změnu napájecích napětí:	≤ 2,10 ⁻⁴ .
Klidový vstupní proud:	≤ 1,5 μA.
Proudová nesymetrie vstupu:	≤ 500 nA.
Výstupní mezivrcholové napětí ($R_Z = 2 \text{ k}\Omega$):	≥ ± 10 V.
Výstupní mezivrcholové napětí ($R_Z = 10 \text{ k}\Omega$):	≥ ± 12 V.
Vstupní napěťový rozsah:	≥ ± 8 V.
Potlačení souhlasného signálu:	≥ 65 dB.
Napěťové zesílení naprázdno ($R_Z = 2 \text{ k}\Omega$; $U_{VYSI} = \pm 10$ V):	≥ 1,5 · 10 ⁴ .
Vstupní odpor:	≥ 50 kΩ.
Příkon:	≤ 200 mW.

Tab. 2. Mezní údaje A109

Napájecí napětí:	$\pm 18 \text{ V}$
Rozdílové vstupní napětí:	$\pm 5 \text{ V}$
Výstupní napětí:	$\pm 10 \text{ V}$
Krátkokobý zkrat výstupu:	5 s.
Ztrátový výkon:	300 mW.
Rozsah provozních teplot:	0 až 70 °C.
Teplota při skladování:	-40 až +85 °C.

Obr. 2. Zapojení A109 jako komparátoru s výstupními úrovněmi TTL



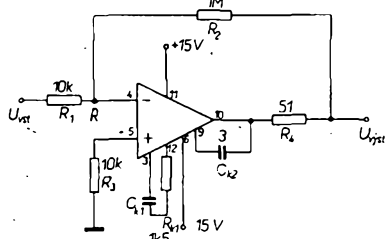
nebo takovou kmitočtovou kompenzací, při níž výstupní napětí se zvětšuje jen pomalu. Předrážný odpor 200Ω při zaťezovacím odporu $2 \text{ k}\Omega$ omezuje rozsah výstupního napětí o 10 %, nemá však vliv na napěťové zesílení, neboť je zapojen mimo smyčku zpětné vazby.

A109 může být použit i jako logický obvod, jehož výstupní úroveň odpovídá logické úrovni. Příklad zapojení je na obr. 2.

Základní zapojení s A109

Invertující zesilovač

Aby bylo dosaženo maximálního napěťového zesílení bez zpětné vazby a minimálních vstupních proudů operačního zesilovače, je na obou vstupech (obr. 3) stejně napětí a bod



Obr. 3. A109 jako invertující zesilovač

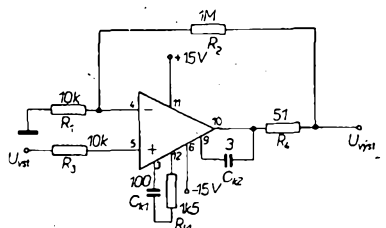
R je na „plovoucí“ virtuální zemi. Pak zesílení se zpětnou vazbou je

$$A_u = \frac{U_{VYSL}}{U_{VST}} = \frac{R_2}{R_1} = 100.$$

Vstupní odpor invertujícího zesilovače $R_{VST} = R_1$. Odpor R_1 a kondenzátory C_{k1} a C_{k2} jsou určeny pro kmitočtovou kompenzací. Odparem R_3 je dosaženo minimálního teplotního driftu.

Neinvertující zesilovač

Zapojení vychází z předpokladu, že operační zesilovač má velké zesílení bez zpětné



Obr. 4. A109 jako neinvertující zesilovač

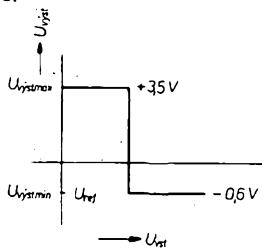
vazby a malé vstupní proudy. Zesílení se zpětnou vazbou je (obr. 4)

$$A_u = \frac{U_{VYSL}}{U_{VST}} = \frac{(R_1 + R_2)/R_1}{1 + R_2/R_1} = 101$$

a vstupní odpor

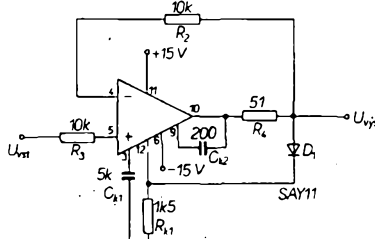
$$R_{VST} = \frac{A_0 R_V}{1 + R_2/R_1},$$

kde A_0 je zesílení bez zpětné vazby a R_V je vstupní odpor IO mezi vývody 4 a 5. Vstupní odpor neinvertujícího zesilovače je podstatně větší, než vstupní odpor zesilovače inver-



Sledovač napětí

Vzhledem k velkému rozsahu vstupních napětí A109 je vhodné používat ho jako sledovač napětí. Vstupní napětí nesmí být větší než je napětí povolené. Zapojení sledovače napětí je na obr. 5. U sledovače napětí je využito posuvu, ke kterému dojde tehdy, dostane-li se vstupní tranzistor na invertujícím vstupu do saturace. Zpětná vazba odparem R_2 se změní na kladnou zpětnou vazbu. Výstupní napětí se zvětšuje tak dlouho, dokud na vstupu není dosaženo saturace. Dioda D₁ omezuje výstupní napětí na takovou velikost, při níž ještě nedochází k saturaci vstupních tranzistorů.



Obr. 5. A109 jako sledovač napětí

Derivační obvod

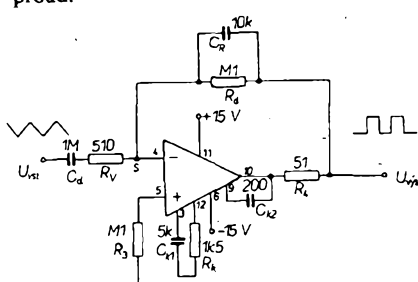
Proud v bodě S (obr. 6) je určen rovnicí

$$i_C = C_d \frac{d U_{VST}(t)}{dt}.$$

Za předpokladu, že vstupní proud A109 je zanedbatelný, je výstupní napětí dánovo rovnicí:

$$U_{VYSL}(t) = -i_C R_D = R_D C_d \frac{d U_{VST}(t)}{dt} = \tau_d p U_{VST}(t).$$

Podmínky pro kmitočtovou kompenzací musí být u derivačního zesilovače bezpodmínečně splněny. Kondenzátor C_R je nutný pro zlepšení kmitočtové stability derivačního obvodu. Odpor R_V omezuje maximální vstupní proud.

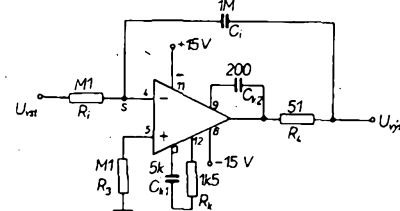


Obr. 6. Derivační obvod

Zapojení pracuje jako derivační obvod jen v dolním pásmu kmitočtů asi do 20 Hz. Při kmitočtech nad 2 kHz pracuje obvod již jako integrátor. Mezi těmito kmitočty je proporcionalní rozsah. Derivační časová konstanta musí být volena tak, aby pro požadovanou maximální změnu rychlosti zvětšování vstupního signálu bylo dosaženo plného rozkmitu napětí na výstupu (které nesmí být větší než přípustné).

Integrátor

Při zanedbatelném vstupním proudu musí proud, který proteče do bodu S (obr. 7)



Obr. 7. Integrátor

přes R_i , odtéci přes integrační kondenzátor C_i . Proto musí platit

$$U_{VYSL}(t) = -\frac{1}{R_i C_i} \frac{d U_{VST}(t)}{dt}$$

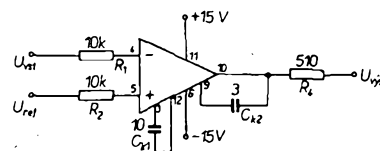
a okamžité výstupní napětí

$$U_{VYSL}(t) = -\frac{1}{R_i C_i} \int U_{VST}(t) dt,$$

kde $R_i C_i$ je integrační časová konstanta (v daném příkladu $\tau_i = 100 \text{ ms}$). V uvedeném základním zapojení integrátoru musí být dosaženo požadovaného zvětšování a změšování signálu, aby výstupní napětí dosahlo požadované velikosti.

Komparátor napětí

Obvod na obr. 8 srovnává vstupní napětí U_{VST} s napětím referenčním. Rozlišovací schopnost je 1 mV. Je-li vstupní napětí o 1 mV větší než napětí referenční, pak na



Obr. 8. Komparátor napětí

výstupu bude $U_{VYSL} = -14 \text{ V}$; v opačném případě $U_{VYSL} = +14 \text{ V}$. Rychlosť porovnání vstupních napětí je závislá na velikosti „rozvážení“ a je pro rozdíl vstupních napětí 10 mV asi 5 μs. Komparátor je možné použít i v logických obvodech (viz obr. 2).

Rychlý komparátor A110, B110

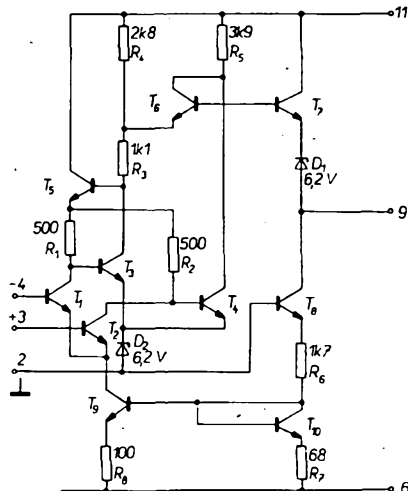
Integrované obvody A110, B110 jsou rychlé komparátory napětí s velkou rozlišovací schopností (asi 5 mV) a s velmi krátkou dobou nárustu výstupního napětí (asi 40 ns). Na obr. 9 je vnitřní zapojení těchto komparátorů. A110, B110 je složen ze tří obvodů: vstupního diferenciálního zesilovače, druhého diferenciálního zesilovače, výstupního ze-

Tab. 3. Charakteristické údaje A110 ($U_{B+} = 12 \text{ V}$, $U_{B-} = -6 \text{ V}$)

Nesymetrie vstupního napětí ($R_G = 100 \Omega$):	$\leq 7,5 \text{ mV}$
Vstupní klidový proud:	$\leq 100 \mu\text{A}$
Proudová nesymetrie vstupu:	$\leq 15 \mu\text{A}$
Napěťové zesílení:	≥ 750
Výstupní napětí pro log. 1 ($I_{O1} = 5 \text{ mA}$):	$\geq 2,5 \text{ V}$
Výstupní napětí pro log. 0 ($I_{O1} = 2 \text{ mA}$):	$\leq 0 \text{ V}$
Poměr potlačení soufázového signálu ($R_G = 100 \Omega$):	$\geq 70 \text{ dB}$
Provozní proud, „kladný“ ($U_o = 0 \text{ V}$):	$\leq 9 \text{ mA}$
Provozní proud, „záporný“ ($U_o = 0 \text{ V}$):	$\leq 7 \text{ mA}$

Tab. 4. Mezní údaje A110

Napájecí napětí:	+14 V, -7 V.
Výstupní proud:	10 mA.
Vstupní napětí rozdílové:	$\pm 5 \text{ V}$.
Vstupní napětí:	$\pm 7 \text{ V}$.
Rozsah provozních teplot:	0 až 70 °C (-25 až 85 °C).
Rozsah skladovacích teplot:	-40 až 85 °C.
Ztrátový výkon:	300 mW.



Obr. 9. Vnitřní zapojení A110

Vlastnosti komparátorů

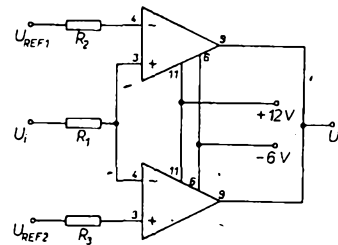
Komparátory A110 a B110 se liší rozsahem pracovních teplot, A110 pracuje v rozsahu 0 až 70 °C a B110 -25 až 85 °C. Kromě toho má B110 menší rozptyl nesymetrii vstupních veličin a větší napěťové zesílení. Státičké a dynamické parametry jsou uvedeny v tab. 3. Při zjišťování nesymetrie vstupního napětí nelze výstupní napětí komparátoru vztahovat k úrovni 0 V, ale k úrovni prahového logického napětí 1,4 V. Mezní údaje komparátorů jsou v tab. 4.

Hlavní aplikace

Pro velmi dobré vlastnosti se komparátory A110C, D a B110C, D používají jako rychlé koincidenční obvody (v převodnicích A/D), diskriminátory, Schmittovy klopné obvody, monostabilní multivibrátory, oscilátory nebo čtecí zesilovače. Při jejich aplikaci je nutno splnit následující doporučení:

- dodržet co nejmenší impedance přívodních vodičů, zejména uzemňovacího vodiče;
- blokovat vodiče napájení co nejbliže u IO kondenzátory 10 až 100 nF;
- přívod napájecích napětí na desku musí být zablokován kondenzátorem 10 µF;
- odpor zdroje signálu a referenčního zdroje musí být stejný a menší než 200 Ω, aby se

Obr. 10. „Okénkový“ diskriminátor



dosáhlo co nejmenší nesymetrie vstupních veličin a co nejmenšího teplotního driftu; - paralelně je možno zapojit jen čtyři vstupy; - výstup A110, B110 je kompatibilní s obvody TTL a jeho logická zatižitelnost je 1.

Okénkový diskriminátor

V měřicích automatech potřebujeme často odlišit správné a nesprávné velikosti určité veličiny. Jako správnou hodnotíme tu velikost, která je mezi dolní a hornímezí; ostatní hodnotíme jako nesprávné. Tuto úlohu lze snadno vyřešit pomocí okénkového diskriminátoru.

Na obr. 10 je zapojení okénkového diskriminátoru, jehož výstupní napětí je závislé na dvou referenčních napětcích a je v tzv. „okénku“. Dolní mez (U_{REF1}) je vztázena k invertujícemu vstupu jednoho IO A110 a horní mez k invertujícemu vstupu druhého IO A110. Zbývající vstupy se propojí paralelně a přivádí se na ně vyhodnocované napětí (U_o).

Monostabilní multivibrátor

Na obr. 11 je zapojení monostabilního multivibrátoru a jeho časový diagram. Obvod se spouští zápornými impulsy na vstupu A. Prah sepnutí je určen referenčním napětím na vstupu B. Rozlišovací schopnost je velmi velká ($\pm 10 \text{ mV}$ v rozsahu $\pm 5 \text{ V}$). Šířka impulsu je

$$t_p = (R_2 + R_3)C_1 \ln \frac{U_{O2}R_2}{U_{REF}(R_2 + R_3)}$$

Schmittův klopný obvod

Schmittův klopný obvod nebo detektor úrovně na obr. 12 je vlastně komparátor s určitou hysterezí, která dovoluje spolehlivé spínání, i když je signál rušen někdy kolem prahu sepnutí.

Hystereze je dosaženo zpětnou vazbou na neinvertující vstup odporem R_2 , a to tak, že při přepínání je výstupní napětí přes dělič napětí R_1 a R_2 propojeno s napětím referenčním, přiváděným na neinvertující vstup přes odpor R_1 . Dolní mez je

$$U_{us} = U_{REF} + (U_{A\max} - U_{REF}) \frac{R_1}{R_1 + R_2}$$

Horní mez je

$$U_{us} = U_{REF} + (U_{A\min} - U_{REF}) \frac{R_1}{R_1 + R_2}$$

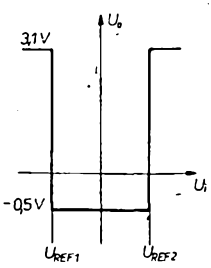
Z těchto rovnic vyplývou tolerance pro hysterezi:

$$U_H = U_{os} - U_{us} = (U_{A\max} - U_{A\min}) \frac{R_1}{R_1 + R_2}$$

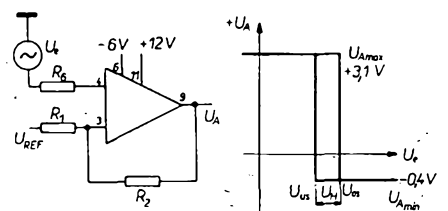
Napětí U_H není závislé na napětí referenčním U_{REF} . Referenčním napětím se nastavuje jen „poloha“ jednoho prahu sepnutí.

Čtecí zesilovač pro feritovou paměť

Protože A110 (B110) má krátké spínací časy, malou nesymetrii vstupních veličin a malé teplotní drifty, je ho možné použít ve čtecím zesilovači pro feritovou paměť (obr. 13).



Obr. 11. Monostabilní multivibrátor



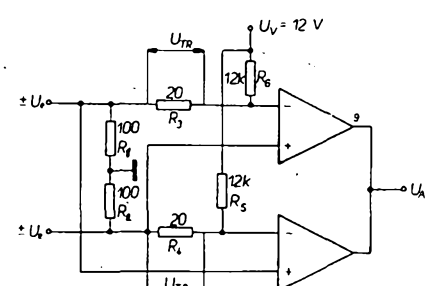
Obr. 12. Schmittův klopný obvod

Ze zapojení je zřejmé, že prahové napětí U_{TR} , které vzniká průtokem proudu na odporech R_3 nebo R_4 , je

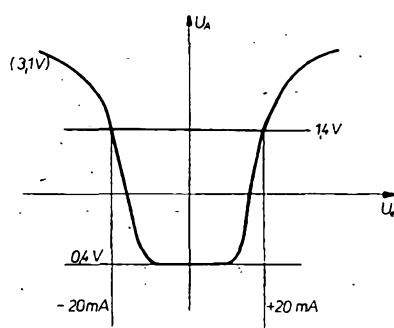
$$U_{TR} = U_V \frac{R_3}{R_2 + R_3 + R_6} =$$

$$= U_V \frac{R_4}{R_1 + R_4 + R_6}; \quad U_{TR} \approx \frac{R_3}{R_6} \cdot U_V$$

Při $U_V = 12 \text{ V}$ je $U_{TR} = 20 \text{ mV}$ a je ovlivňováno zakončovacími odpory R_1 a R_2 .



Obr. 13. Čtecí zesilovač



Obr. 13a. Napěťová charakteristika čtecího zesilovače

Při vstupním napětí 0 až 20 mV mají oba komparátory na výstupu úroveň log. 0. Bu-de-li vstupní napětí na jednom vstupu větší než napětí prahové U_{tr} , pak na výstupu příslušného komparátoru bude úroveň log. 1 a výstupní napětí $U_A = \log. 1$. Tento stav je vynesen do napěťové charakteristiky na obr. 13a. Vstupní napětí, které je superponováno na čtečím impulsu, nemůže ovlivnit stav na výstupu čtečeho zesilovače, protože toto vstupní napětí stejnou měrou ovlivňuje i prahové napětí komparátorů. Prahové napětí se mění jen velmi málo

$$U_{\text{TR}1} = U_{\text{TR}2} \left(1 - \frac{U_{\text{CM}}}{U_V}\right),$$

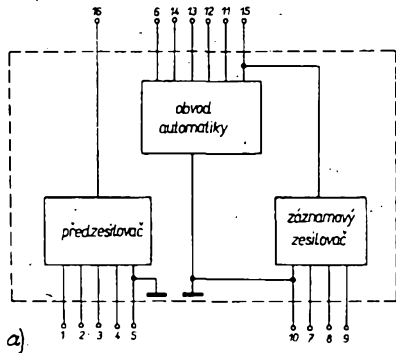
kde U_{TR1} je prahové napětí při $U_{CM} = 0$,
 U_{TR2} prahové napětí při $U_{CM} \neq 0$,
 U_V napětí, při němž se nastavuje prahové napětí U_{TR} ,
 U_{CM} vstupní napětí, které překrývá vstupní impuls.

Při obvyklém používání napětí $U_V = 12$ V a $U_{CM} = 0,5$ V se zmenší prahové napětí jen o 4 %, což je přípustné. Vliv vstupního napětí U_{CM} na prahové napětí U_{TR} lze kompenzovat změnou napětí U_V . Kromě volby prahového napětí a z toho plynoucí možnosti přizpůsobení k různým typům feritových paměti, dalšími přednostmi tohoto čtecího zesilovače je možnost změny prahového napětí a jednotlivých bloků paměti změnou napětí U_V nebo změnou odporu 12 k Ω . U B110 bez kompenzace prahového napětí se totiž napětí mění o ± 5 mV. Další předností tohoto čtecího zesilovače je jeho stejnospřávná vazba, takže nevznikají napěťové skoky, způsobované vybíjením kondenzátorů.

A110, B110 je ekvivalentem μ A710 fy Fairchild.

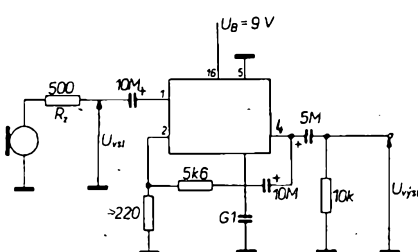
Integrovaný obvod A202

Integrovaný obvod A202 je speciální obvod určený pro kazetové magnetofony jako



Tab. 5. Parametry A202

<i>Rozsah napájecích napětí:</i>	4 gž 12 V.		
<i>Proud ze zdroje:</i>	14 mA.		
<i>Předzesilovač</i>	<i>přehrávání (1),</i> obr. 16	<i>nahrávání (2),</i> obr. 17	
<i>Zisk otevřené smyčky</i>	80	80 dB.	
<i>Napěťový zisk při 1 kHz</i>	50	28 dB.	
<i>Maximální výstupní napětí:</i>	-	> 2,2 V.	
<i>Ekvivalentní šumové napětí:</i>	0,5	0,5 µV ($R_S = 500 \Omega$, $B = 300 \text{ až } 15\,000 \text{ Hz}$)	
<i>Vstupní impedance:</i>	17	17 kΩ.	
<i>Zkreslení při $U_{vyst} = 500 \text{ mV}$:</i>	0,3	0,1 %.	
<i>Nahrávací zesilovač s automatickým řízením zisku (AŘZ)</i>			
<i>Zisk otevřené smyčky:</i>	80 dB.		
<i>Napěťový zisk při 1 kHz:</i>	54 dB.		
<i>Impedance v bodě P (obr. 16):</i>	40 kΩ.		
<i>Zkreslení při $U_{vyst} = 1 \text{ V}$ (bez AŘZ)</i>	0,4 %.		
<i>Automatické řízení zisku</i>			
<i>Výstupní napětí při vstupním napětí</i>	1 mV: 10 mV: 100 mV: 1 V:		$U_{S-10} = 70 \text{ mV},$ $\approx 400 \text{ mV},$ $= 600 \text{ mV},$ $= 900 \text{ mV}.$
<i>Mezní čas (při změně vstupní úrovně o +20 dB):</i>			6 ms.
<i>Doba nastavení výstupní úrovně $\pm 1 \text{ dB}$ při změně vstupní úrovně o +20 dB:</i>			4 ms.
<i>Doba zotavení při změně vstupní úrovně o -20 dB (určeno časovou konstantou C_R, R_R):</i>			20 s.

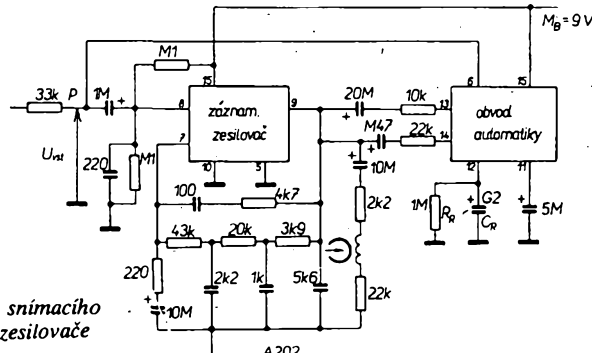


Obr. 15. Zapojení mikrofonního zesilovače

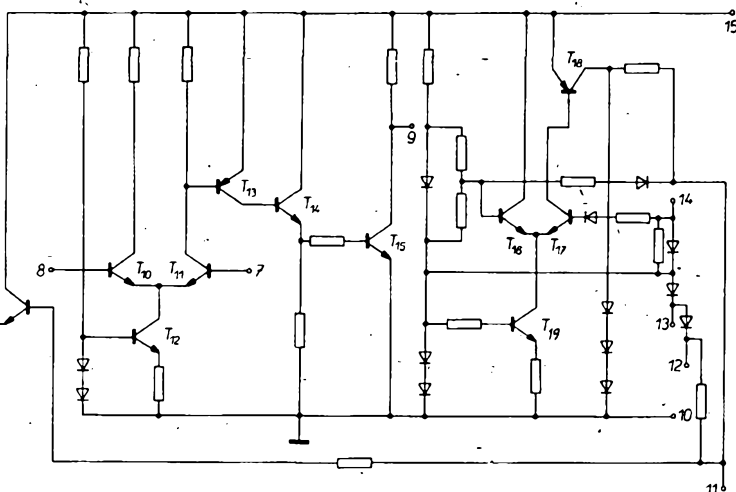
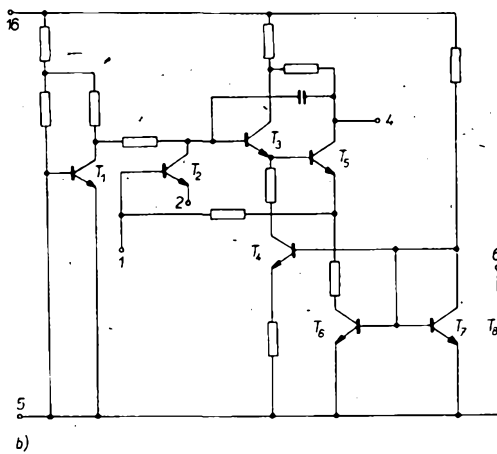
nahrávací zesilovač s automatickým řízením zisku a přehrávací zesilovač. Blokové schéma A202 je na obr. 14a; z obrázku je patrné, že IO plní funkci předzesilovače a záznamového zesilovače s obvodem automatického řízení zisku. Vnitřní schéma A202 je na obr. 14b.

Na obr. 15 je zapojení mikrofonního předzesilovače a na obr. 16 přehrávacího zesilovače. Prvky mezi výstupem (vývod 4) a vstupem (vývod 2) zabezpečují požadovanou kmitočtovou korekci.

Na obr. 17 je základní zapojení nahrávacího zesilovače. Signál ze zdroje je přiveden na

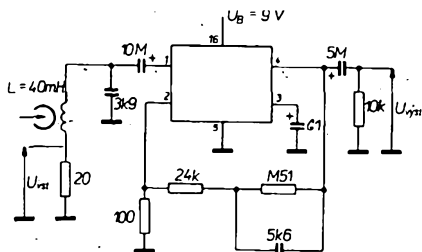


Obr. 16. Zapojení snímacího („přehrávacího“) zesilovače



Obr. 14. Integrovaný obvod A202, jeho blokové (a) a vnitřní zapojení (b)

Obr. 18. Vnitřní zapojení A205



Obr. 17. Zapojení záznamového („nahrávacího“) zesilovače s obvodem samočinného řízení zisku

vstup nahrávacího zesilovače (vývod 8). Z výstupu zesilovače (vývod 9) je jednak do druhého vstupu diferenciálního zesilovače (vývod 7) zavedena požadovaná kmitočtová zpětná vazba a jednak je signál veden do obvodu automatického řízení zisku (vývody 13 a 14). Na vývod 12 je zapojen člen RC s časovou konstantou C_R , který zpožďuje řídící signál v obvodu automatického řízení zisku. Na výstup (vývod 6) je připojen zkratovací tranzistor (viz obr. 14b, tranzistor T_8), který je se zpožděním, určený časovou konstantou článku C_R , otvíráno nebo zavíráno, čímž se mění odpor přechodu kolektor-emitor podle velikosti vstupního signálu.

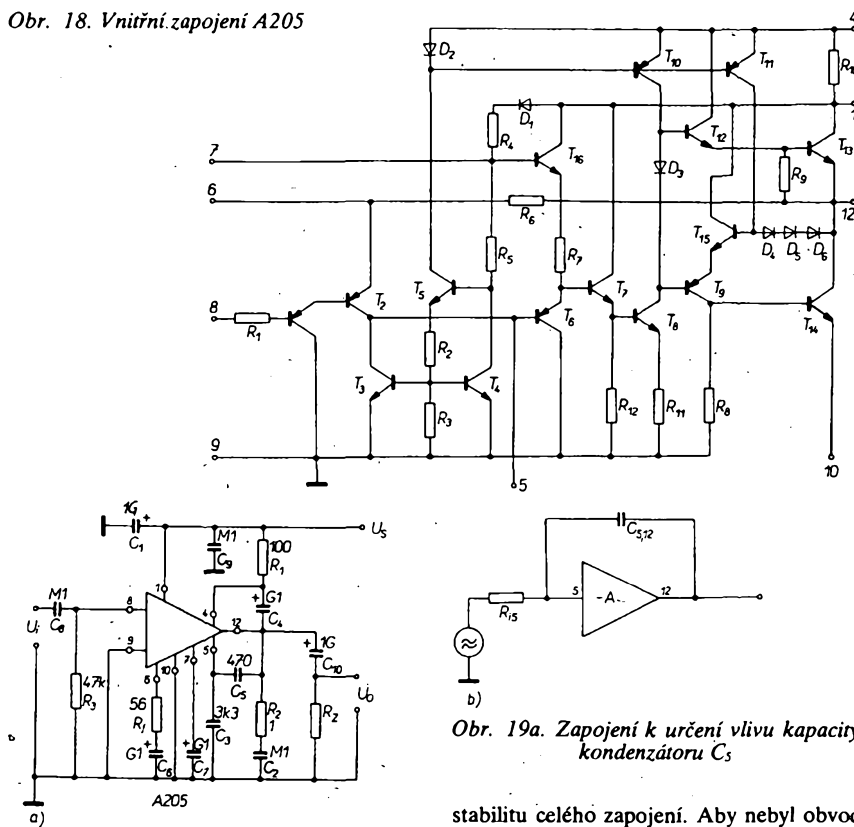
Hlavní parametry A202 jsou v tab. 5. A202 je ekvivalentem TDA1002 fy VALVO.

IO pro nízkofrekvenční výkonové zesilovače

Integrovaný obvod A205 je nízkofrekvenční výkonový zesilovač s maximálním výstupním výkonem asi 5 W. Tento stejnosměrně vázaný zesilovač má velký zesilovací činitel, velký vstupní odpor, velkou proudovou zatížitelnost, velký rozsah napájecích napětí a malý klidový proud. A205 je v pouzdře DIL (dual in line) se 16 vývody, u kterého vývody 4 a 5 a 12 a 13 jsou spolu propojeny a tvoří chladič. A205 se vyrábí ve dvou variantách: A205D má chladič (vývody) vyveden do stran a A205K má nalisovaný chladič, takže lze z něho odebírat maximální výkon. Integrovaný obvod A205 je výkonový zesilovač středního výkonu určený hlavně pro přístroje spotřební elektroniky napájené jak ze sítě, tak z baterie.

Na obr. 18 je vnitřní zapojení A205. Protože v současných výkonových integrovaných zesilovačích je velmi neekonomické pro koncové stupně používat komplementární dvojici, používá se kvazikomplementární zapojení s invertorem T_9 . Klidový proud je nastaven diodami D_3 až D_6 a přechodem báze-emitor tranzistoru T_{15} . Proud zdrojem konstantního proudu (T_{10} a T_{11}) je rovněž nastaven diodami.

Na obr. 19 je doporučené zapojení A205. Vstup je přes odpor spojen se zemí. Hodnota tohoto odporu určuje maximální vstupní proud, odpor může být v mezech 10 až 100 k Ω . Kondenzátor C_5 mezi výstupem výkonového zesilovače (vývod 12) a výstupem předesilovače (vývod 5) určuje horní mezní kmitočet otevřené smyčky zpětné vazby a tím i horní mezní kmitočet celého zesilovače. Pro návrh můžeme použít obr. 19a, kde A je zesílení mezi vývody 5 a 12 a je obvykle asi 300. R_{15} je činný odpor (vnitřní) na vývodu 5, který je závislý na použitém stupni zpětné vazby. Při celkovém zesílení 40 dB je R_{15} asi 40 Ω . Podle obr. 19a se vliv kapacity kondenzátoru C_5 zvětší, splníme-li vztah



Obr. 19. Doporučené zapojení pro A205

Tab. 6. Mezní údaje A203, A204 a A205

Parametr	Min. A203D A205D	Max. A203K A204K A205K
Vstupní stejnosměrné napětí:	-3	5 V.
Vstupní stejnosměrný proud:		2 mA.
Výstupní špičkový proud:		2,2 A.
Výstupní nárazový proud:		3 A.
Ztrátový výkon při 25 °C:	1,3	5 W.
Provozní teplota:	-10	70 °C.
Maximální teplota přechodu:		150 °C.
Celkový teplotní odpor:	95	25 °C/W.
Vnitřní teplotní odpor:	15 °C/W.	
Napájecí napětí:	4	15 V (A203), 21 V (A204), 20 V (A205).

$$C_5 = \frac{1}{2\pi f_i R_{15} A_{u(5-12)}}.$$

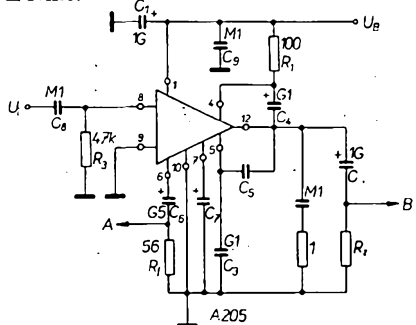
Kapacita mezi vývodem 5 a zemí určuje

Tab. 7. Provozní hodnoty IO A205 pro ±25 °C

Statické údaje	Typ.	Max.
Odběr ze zdroje ($U_B = 15$ V): ($U_B = 9$ V):	12,3 9,2	20 mA. 15 mA.
Vstupní proud při $U_B = 15$ V:	0,8 μ A.	
Stejnosměrné napětí na výstupu při $U_B = 15$ V:	7,6 V.	
Zpětnovazební odpor R_6 :	3,9 k Ω .	
Dynamické údaje při $U_B = 15$ V, $R_L = 4 \Omega$		
Cinutel zkreslení $P_{vysl} = 50$ mW: $P_{vysl} = 2,5$ W: $P_{vysl} = 4,5$ W:	0,22 0,4 1,58	2 %. 2 %. 10 %.
Maximální výstupní výkon pro $k = 10$ %: Napěťové zesílení uzavřené smyčky zpětné vazby pro $P_{vysl} = 2,5$ W:	min. 4,5	6 W.
Napěťové zesílení otevřené smyčky zpětné vazby pro $P_{vysl} = 1$ W:	min. 34	37,5
Horní mezní kmitočet:		40 dB.
Šumové napětí:		78 dB.
Vstupní napětí pro $P_{vysl} = 2,5$ W:	min. 15	35 kHz. 0,69 mV. 42 mV.

případě překročeny. Provozní parametry jsou v tab. 7.

Integrovaný obvod A203 pracuje v rozsahu napájecích napětí 4 až 15 V a A205 v rozsahu 4 až 20 V. A203 má optimální pracovní režim při napájecím napětí 12 V, kdy má zaručený výstupní výkon $P_{VYI} = 3 \text{ W}$ při zkreslení $k = 10\%$, kdežto A205 při napájecím napětí 15 V má zaručený výstupní výkon $P_{VYI} = 4,5 \text{ W}$. Aby se napájely napětí i při maximálním špičkovém proudu měnilo co nejméně, musí být vývod 1 zablokován kondenzátorem 100 až 1000 μF . Při návrhu desky s plošnými spoji je třeba dbát na to, aby nevznikla nežádoucí vazba mezi vstupním (vývod 9) a výstupním obvodem (vývod 12). Zatěžovací impedanční můžeme volit libovolnou, je však nutno pamatovat na to, že v žádném případě nesmí být překročen špičkový proud 2,2 A a nárazový proud 3 A. Rovněž tak nesmí být nikdy překročeno maximální napájecí napětí! Maximální ztrátový výkon A203D a A205D je 1,3 W při teplotě okolo 25 °C a A203K a A205K 5 W. U A203K a A205K se teplotní odpor zvětší při vodorovné montáži o 20 % oproti montáži svislé.



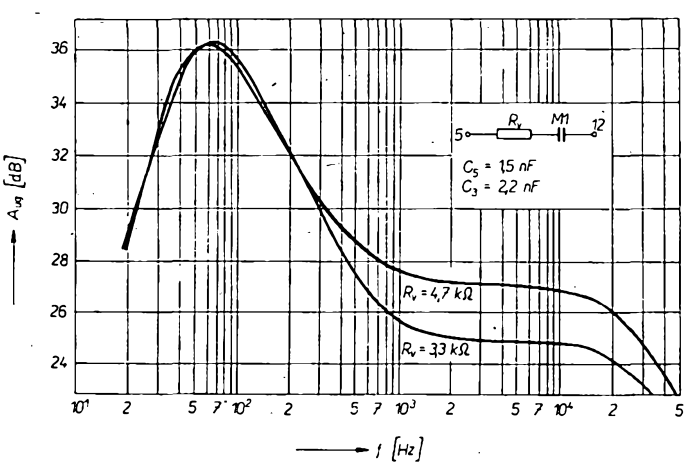
Obr. 20. Doporučené zapojení A205 s možností kořekce kmitočtů

Vstupní odpor A203, A204 a A205 je při zesílení 40 dB asi 5 M Ω . Vstupní odpor zapojeného zesilovače je tedy určen odporem zapojeným mezi vstup IO a zem. Na hodnotě tohoto odporu je závislý vstupní proud, odpor se volí obvykle 10 až 100 k Ω . Pro maximální vstupní proud 2,5 μA je $R_3 = 400 \text{ k}\Omega$; stejnoseměrné napětí na výstupu (vývod 12) se zvětší při tomto odporu o 1 V. Při velkém odporu R_3 se zvětší i šum. Minimálního šumu se dosáhne při odporu zdroje 10 až 20 k Ω . Efektivní vstupní napětí nesmí být větší než 200 mV, aby nebyl přebozen vstupní zesilovač IO.

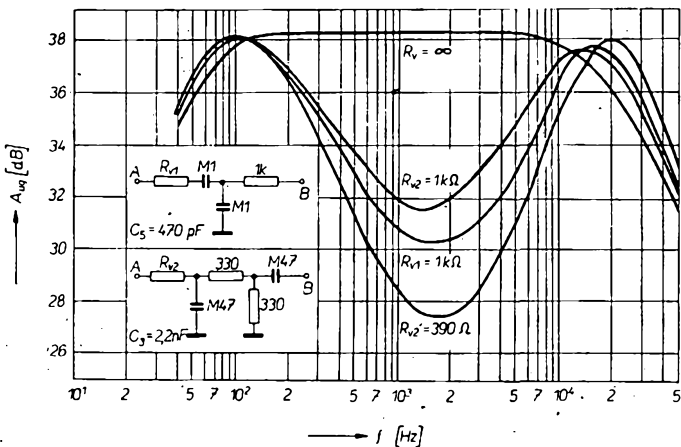
A203, 204 a A205 může být v pásmu nízkofrekvenčních kmitočtů použit jako operační zesilovač. Pro zesílení platí přibližně

$$A_{uB} = 20 \log \frac{R_6}{R_1} \quad [\text{dB}],$$

kde odpor R_6 je součástí IO a je přibližně



Obr. 21. Obvod pro zdůraznění hloubek



Obr. 22. Obvod pro potlačení středních kmitočtů

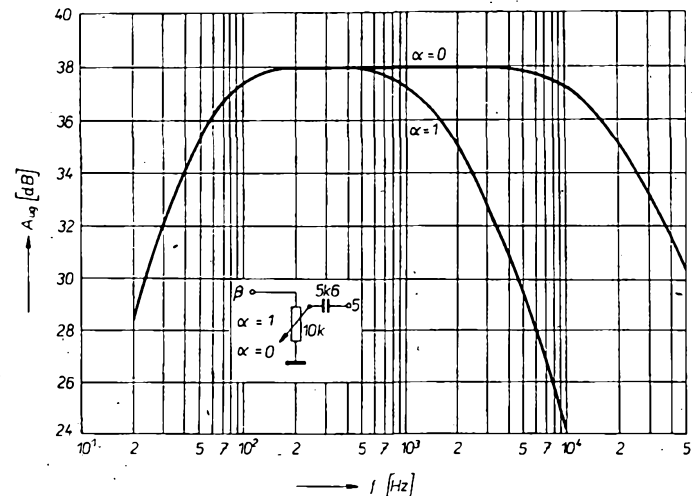
4 k Ω . Tento odpor se vlivem technologie může měnit v určitém rozsahu. Zesílení můžeme však přesně nastavit změnou odporu R_3 .

Dolní mezní kmitočet je určen časovou konstantou $R_3 C_6$. Dolní mezní kmitočet booststrapového obvodu ($R_1 C_4$) musí však být nižší než dolní mezní kmitočet obvodu $R_3 C_6$. Na dolní mezní kmitočet mají vliv i vstupní ($R_3 C_8$) a výstupní obvody ($C_{10} R_1$). Horní mezní kmitočet je určen kondenzátorem C_5 . Horní mezní kmitočet je částečně ovlivněn i volbou odporu R_3 .

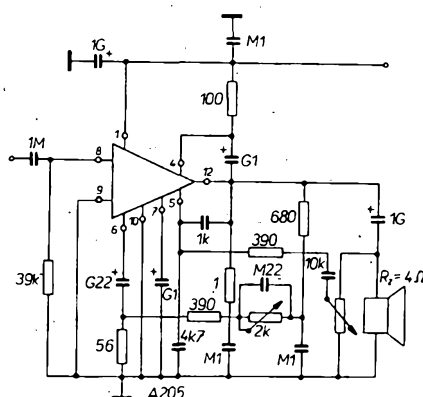
Ekvivalentem A203D je TCA830A a ekvivalentem A205D je TBA810A. IO A203K a A205K nemají ekvivalence.

V praxi často potřebujeme změnit lineární zesílení zesilovače, abychom pro daný reproduktor a provedení reproduktoru skřině dosáhly celkového lineárního přenosu celého reprodukčního řetězce. Do základního zapojení podle obr. 20 můžeme zavést tři různé druhy kmitočtové korekce. Na obr. 21 je obvod pro zdůraznění hloubek a jeho kmitočtová charakteristika. Na obr. 22 je obvod pro potlačení středních kmitočtů a na obr. 23 obvod pro potlačení vysokých kmitočtů. Kombinací dvou kmitočtově závislých zpětných vazeb dostaneme korekční obvod podle obr. 24, jehož kmitočtová charakteristika je na obr. 25.

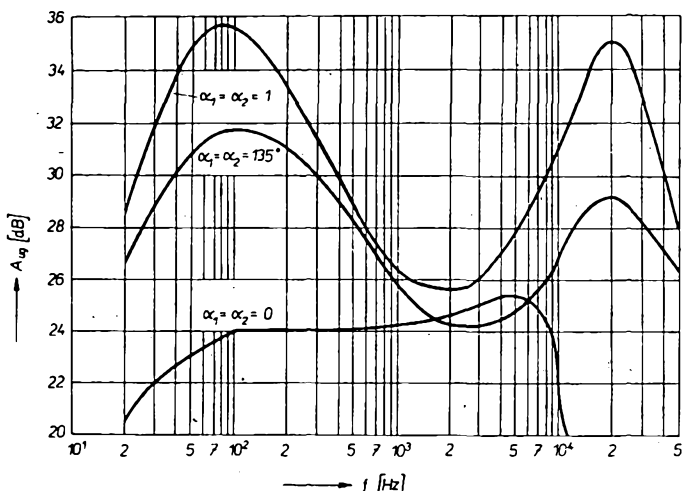
Na obr. 26 je zapojení kvalitního nízkofrekvenčního zesilovače. Před IO jsou zapojeny aktívni korekce, jejichž zisk je určen odporu R_1 a R_2 . Na obr. 27 je zapojení A204 ve vertikálním rozkladu černobílého a barevného televizního přijímače. A204 je použit



Obr. 23. Obvod pro potlačení výšek

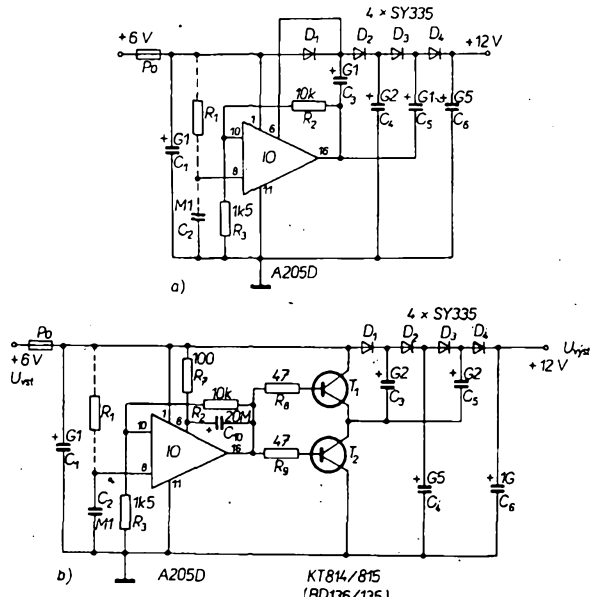


Obr. 24. Zapojení jednoduchého korektoru

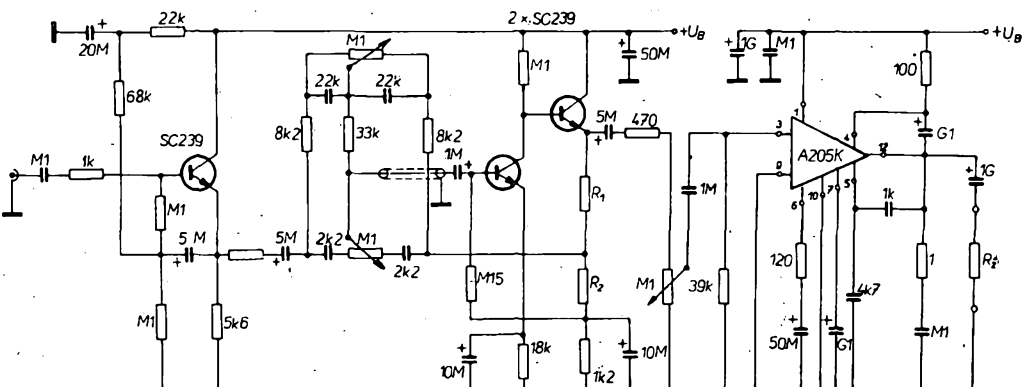


Obr. 25. Kmitočtová charakteristika korektoru z obr. 24

jako generátor proudu, který napájí vychylovací čívky lineárním proudem. Tranzistory T_1 a T_2 pracují jako oscilátor, který je synchronizován přes diodu D_1 a jehož kmitočet



Obr. 28. Měniče napětí, jednoduchý měnič 6/12 V(a), výkonový měnič 6/12 V(b)



Obr. 26. Zapojení jakostního nf zesilovače

měníme odporem R_5 . Potenciometrem R_{11} měníme stejnosměrný proud vychylovacími čívkami. Potenciometrem R_{11} měníme lineáritu a potenciometrem R_9 výšku obrazu.

Na obr. 28a je A205 použit v beztransformátorovém měniči stejnosměrných napěti ze 6 na 12 V. Integrovaný obvod je zapojen jako astabilní multivibrátor napěti pro úhlového průběhu s opakovacím kmitočtem 10 kHz. Z jeho výstupu je buzen násobič napěti s diodami D_1 až D_4 a kondenzátory C_3

až C_6 . Kondenzátor C_2 spolu s integrovaným zpětnovazebním odporem R_6 (obr. 18) a odporu R_2 a R_3 určuje kmitočet podle vztahu

$$f = \frac{1}{T} = \frac{1}{2R_6C_2\ln(1 - R_3/R_2)}$$

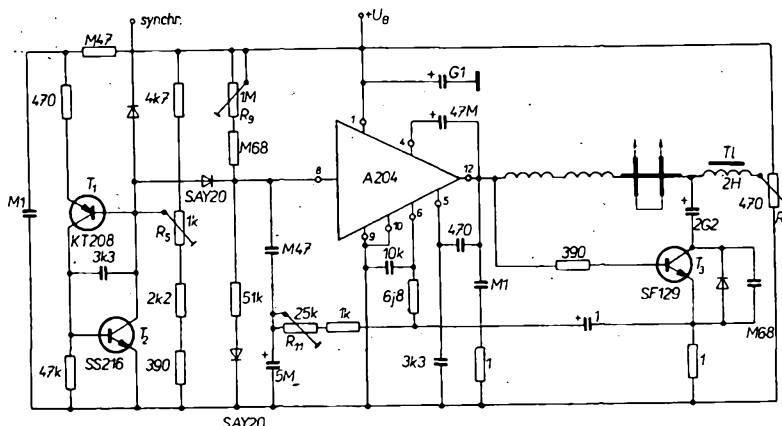
Protože odpor R_6 je asi 3,9 k Ω , můžeme opakovací kmitočet měnit jen odpory R_2 , R_3 nebo kondenzátorem. Poměr odporů R_2 a R_3 musí být volen tak, aby nebylo překročeno

maximální přípustné vstupní napětí, tzn., že

$$\frac{R_2}{R_3} > \frac{U_B - U_{vi}}{U_{vi}}$$

Pro $U_B = 6$ V je poměr $R_2/R_3 > 0,2$. Aby nebyl překročen maximální vstupní proud $I_{vi} = 2$ mA, musí být

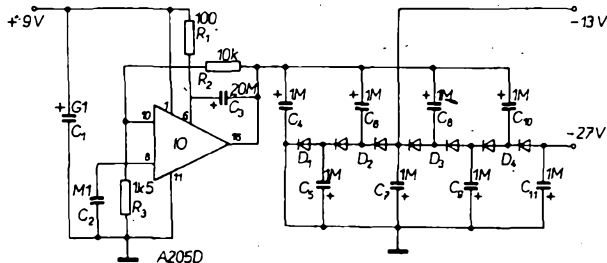
$$R_2 > \frac{U_B - U_{vi}}{I_{vi} + \frac{U_{vi}}{R_3}}$$



Obr. 27. Zapojení snímkového rozkladu TVP Chromat 1060

Odporem R_1 korigujeme symetrii pravouhlého napětí. Kmitočet volíme co nejvyšší, aby kondenzátory C_3 až C_6 měly co nejmenší kapacitu. Opakovací kmitočet je omezen ztrátami IO a spinací rychlostí diod D_1 až D_4 . Napětí na výstupu IO je zdvojenou kondenzátory C_3 a C_5 , takže na kondenzátoru C_6 je trojnásobek napájecího napětí. Kondenzátory C_3 a C_5 pracují jako strádače energie, které jsou dobíjeny přes diody D_1 a D_3 , a které svým nábojem přes diody D_2 a D_4 dobíjejí kondenzátory C_4 a C_6 . Kapacita kondenzátorů musí být navržena tak, aby časová konstanta obvodu RC , kde R je ekvivalentní zatěžovací odpór, byla větší než $T/2$. Impulsní výstupní proud IO, bez ohledu na ztraty vzniklé během spinání, je asi čtyřnásobek zatěžovacího proudu. Při proudu zátěži 100 až 200 mA je účinnost méně 50 až 60 %.

Chceme-li z tohoto násobiče odebírat větší proud, musíme použít zapojení podle obr.



Obr. 29. Měnič a zdroj napětí pro obvody MOS s kanálem typu p

28b. Integrovaný obvod je v tomto případě použit jako budič komplementárních výkonových tranzistorů T_1 a T_2 . Aby tyto tranzistory byly správně otevřány a zavírány, je zde použito bootstrapové zapojení (R_s, C_{10}). Maximální spínací proud tranzistory T_1 a T_2 je omezen odpory R_8 a R_9 na

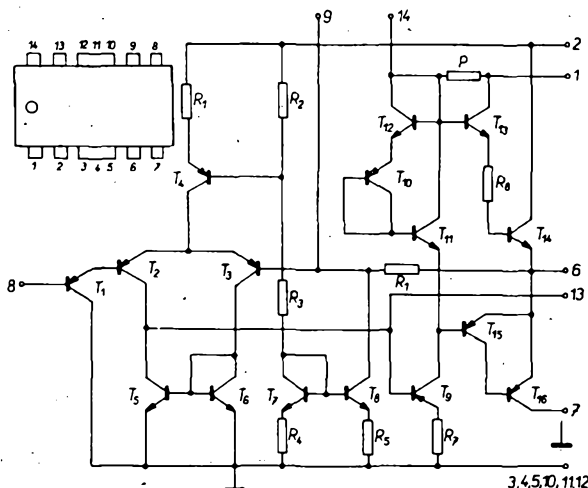
$$I_{spm} \approx B \frac{U_B}{R_{s(9)}}$$

Proud do báze tranzistorů musí být vždy menší než 0,3 až 0,5 A, neboť jinak není zajištěno bezpečné uzavření nevodivého tranzistoru. Vnitřní odpor takového zdroje bývá 10 až 20 Ω . Je-li třeba, aby byl vnitřní odpor zdroje menší, je nutno na výstupu použít stabilizátor napětí. Aby bylo možno využít velkého rozsahu zatěžovacího odporu, je třeba, aby na regulačním tranzistoru stabilizátoru byl jednak co nejméně úbytek napětí a jednak aby při odpojení zátěži bylo na výstupu co největší napětí. Teoreticky by bylo možno použít násobič napětí s nekonečným stupněm násobení, avšak prakticky velké zbytkové napětí na diodách (asi 1,2 V na jedné diodě) stupeň násobení omezuje. Použijeme-li Schottkyho usměrňovací diody, které mají menší zbytkové napětí, účinnost beztransformátorového měniče se zvětší.

Na obr. 29 je příklad zapojení měniče, který z kladného napěti vyrábí dvě napětí záporná, která jsou nutná např. pro napájení IO MOS s kanálem p. Odběr těchto integrovaných obvodů je jen několik mA – proto násobič pracuje téměř naprázdno a požadovaná výstupní napětí můžeme nastavit velmi snadno.

Tab. 8. Parametry A208, A209 a A210

Mezní údaje	
Napájecí napětí A208:	15 V.
A209:	21 V.
A210:	20 V.
Vstupní ss napětí:	-3 až +5 V.
Vstupní ss proud:	-2 mA.
Výstupní špičkový proud:	2,5 A.
Výstupní nárazový proud:	3 A.
Vnitřní teplotní odpor:	15 K/W.
Celkový teplotní odpor:	95 (provedení D), 25 (provedení K) K/W.
Teplota přechodu:	150 °C.
Provozní teplota:	-25 až +70 °C.
Provozní údaje	
Statické	
Klidový proud při $U_B = 9 V$:	7,4 až 9,77 mA.
$U_B = 15 V$:	10,1 až 13,7 mA.
Vstupní ss proud při $U_B = 15 V$:	0,2 až 0,5 μ A.
Výstupní ss napětí při $U_B = 15 V$:	7,3 až 7,6 V.
Dynamické	
Zisk při otevřené smyčce zpětné vazby:	70,2 až 73,5 dB.
při $P_{výst} = 1 W$, $U_B = 15 V$, $R_z = 4 \Omega$, $f = 1 kHz$:	34 až 40 dB.
Zkreslení při $P_{výst} = 50 mW$:	0,1 až 0,23 %.
$P_{výst} = 2,5 W$:	0,21 až 0,75 %.
$P_{výst} = 5 W$:	0,9 až 2,96 %.
Výstupní výkon při $k = 10\%$:	5,45 až 6,57 W.
Výstupní rušivé napětí při $P_{výst} = 2,5 W$:	0,51 až 0,66 mV.
Horní mezní kmitočet:	31 až 50 kHz.



V posledním roce byly integrované obvody A203, A204 a A205 nahrazeny IO A208, A209 a A210. A208 je náhradou za A203. Integrovaný obvod A209 je náhradou za A204 a A210 je náhradou za A205. Rozdíl mezi A205 a A210 je ten, že A205 byl doplněn tepelnou pojistikou, takže A210D je ekvivalentní TBA810AS fy SGS Ates. A210 má o něco větší výstupní proud a jeho parametry jsou v tab. 8.

Integrovaný obvod A211

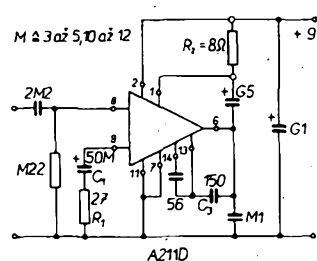
Integrovaný obvod A211D je nízkofrekvenční zesilovač 1 W v pouzdře z plastické hmoty DIL-14, u něhož jsou vývody 3–5 a 10–12 propojeny a tvoří chladící křídélka. A211 je určen do přístrojů spotřební elektrotechniky nižší a střední třídy, napájené ze sítě i z baterií. Vyznačuje se velkým vstupním odporem, velkým zesílením, velkým rozsahem napájecích napětí a malým klidovým proudem.

A211 se skládá:

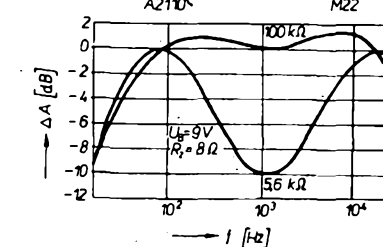
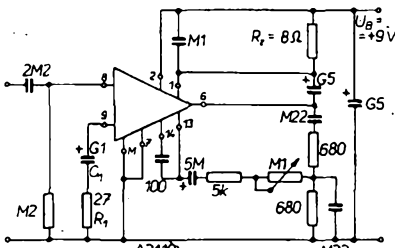
- z vstupního rozdílového zesilovače se zdrojem proudu a aktivním kolektovým odporem,
- z obvodu regulace pracovního bodu, určeného pro nastavení stejnosměrného napětí na výstupu na polovinu napájecího napětí,
- z budiče s posuvem potenciálu (bootstrap),
- z kvazikomplementárního koncového stupně.

Stejnosměrná zpětná vazba na vstup umožnuje měnit odporem R_i (připojeným na vývod 9) zesílení IO. Vnitřní zapojení a měřicí obvod jsou na obr. 30. Základní zesílení

Tab. 9. Parametry A211



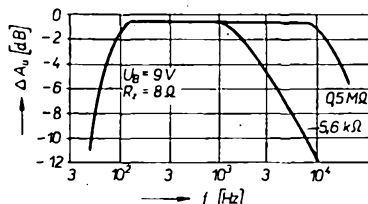
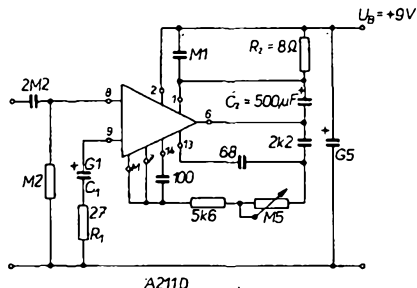
Obr. 30. Vnitřní a základní zapojení A211D



Obr. 31. Zesilovač s korekcemi a jeho kmitočtová charakteristika

Mezní údaje	4,2 až 15 V.
Provozní napájecí napětí:	-0,5 až +1,5 V.
Vstupní ss napětí:	1 A.
Výstupní špičkový proud:	1 W.
Ztrátový výkon při $\theta_a = 45^\circ C$:	-10 až +70 °C.
Rozsah provozních teplot:	
Provozní údaje při $\theta_a = 25^\circ C$, $U_B = 9 V$, $R_z = 8 \Omega$	
Klidový proud:	3,5 až 10 mA.
Vnitřní zpětnovazební odpor:	7,05 kΩ.
Výstupní ss napětí:	5 V.
Vstupní proud:	510 nA.
Zisk při uzavřené zpětnovazební smyčce při $f = 1 kHz$, $P_{výst} = 50 mW$:	44 až 47,5 dB.
Pomér signál-šum při $P_{výst} = 1 W$:	54,3 dB.
Vstupní odpor při otevřené smyčce zpětné vazby a $f = 1 kHz$:	390 kΩ.
Cínilk zkreslení při $f = 1 kHz$ a $P_{výst} = 50 mW$:	1,4 %, 1,3 %, 2,4 %, 6,3 %.
$P_{výst} = 850 mW$:	
$P_{výst} = 925 mW$:	
$P_{výst} = 1 W$:	

48 dB je nastaveno obvodem RC na vývodu 9. Kmitočtová kompenzace je navržena tak, aby i při vysokých kmitočtech byl integrovaný obvod dostatečně stabilní. Parametry A211 jsou v tab. 9. Až do ztrátového výkonu



Obr. 32. Zesilovač s regulací signálů vysokých kmitočtů

1 W může A211 pracovat bez chladiče do teploty okolo 45 °C. Při větších ztrátových výkonech nebo vyšších teplotách okolí je nutné na chladicí křídélka připájet plísky z médií o ploše 8 cm².

Zapojení zesilovače s lineárním kmitočtovým průběhem je na obr. 30. Jednoduchou úpravou zpětné vazby, tj. zapojením několika odporů a kondenzátorů, lze dosáhnout kmitočtové závislosti. Rozsah regulace je však jen asi 10 dB. Na obr. 31 je příklad zapojení nf zesilovače 1 W s regulací basů a výšek. Požadujeme-li jen regulaci horního mezního kmitočtu, použijeme zapojení podle obr. 32.

S integrovaným obvodem A211 lze realizovat celou řadu dalších obvodů, jako např.: tónový regulátor s Wienovým můstkem, ultrazvukový vysílač s vnějším buzením, vysílač pro indukční smyčky, budič komplementárního koncového stupně většího výkonu apod. A211 je elektrickým ekvivalentem TAA611B fy SGS Ates, TAA611B má však jiné rozmístění vývodů.

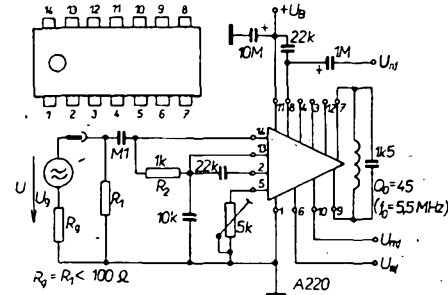
Integrovaný obvod A220

Integrovaný obvod A220 je mezifrekvenční zesilovač, určený pro zvukový kanál televizních přijímačů.

A220 je složen ze širokopásmového zesilovače s omezovacími schopnostmi a symetrickým koincidenčním demodulátorem. Kromě toho jsou v A220 zaintegrovány i vazební kondenzátory pro fázový posuv, Zenerova dioda 12 V a tranzistor malého výkonu. Regulace hlasitosti má logaritmický charakter, takže pro regulaci je možno použít potenciometr s lineárním průběhem, připojený na vývod 5. Protože se regulace provádí změnou stejnosměrného napětí, nemusíme pro přívod k potenciometru používat stíněný vodič.

Mezi hlavní přednosti tohoto IO patří dobré omezení signálu a z toho vyplývající dobré potlačení rušivých napětí.

Omezovač a zesílovač. Aby se dosáhlo dobrého potlačení AM, je v A220D osmstupňový zesílovač s omezovačem. Šířka pásmá tohoto zesílovače je omezena na 12 MHz, aby bylo vyloučeno zakmitávání v pásmu VHF při velkém zesílení zesílovače. Aby bylo zajistěno dobré omezení a zesílení nezávislé na teplotě, jsou emitorové odpory v jednotlivých stupních nahrazeny zdroji konstantního proudu. Do kolektoru posledního stupně zesílovače jsou připojeny emitorové sledovadce, zaručující malou výstupní impedanci, nutnou pro napájení koincidenčního detektoru. Stejnospěrné pracovní body jednotlivých stupňů zesílovače jsou pevně nastaveny vnitřním propojením mezi výstupem 6 a vstupem 2 a vnějším odporem zapojeným mezi výstup 13 a vstup 14. Střídavě musí být tato zpětná vazba zablokována, aby se vyloučily nežádoucí zpětné vazby. Kolektorový proud posledního rozdilového zesílovače určuje



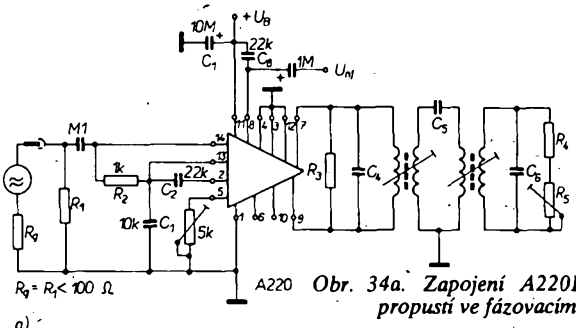
Obr. 33. Zapojení a měřicí obvod A220D

v závislosti na jeho kolektorových odporech maximální výstupní napětí ($U_{6,av}$ nebo $U_{10,av}$) rovné 250 až 300 mV. Vývody 6 a 10 jsou uvnitř IO propojeny s demodulátorem, takže jak zesilovač, tak i demodulátor lze použít samostatně.

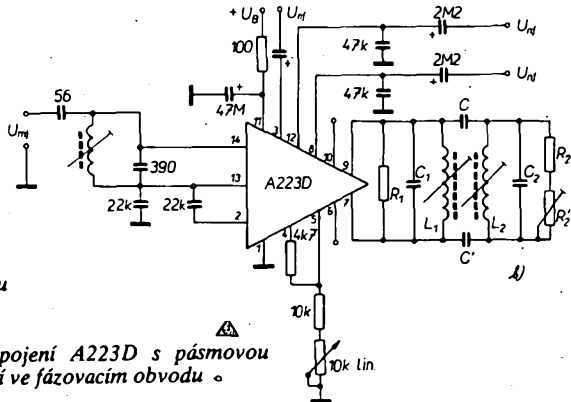
Koincidenční demodulátor. Omezené mezikvěcení napětí je přivedeno na detektor, který je součástí IO. Tento detektor pracuje stejně jako čtyřkvadratová násobička. Výstupní signál spiná rozdílový stupeň s tranzistory T_{29} , T_{30} . Výstupní signál, který má tvar pravoúhlých proudových impulsů v kolektoru T_{29} , T_{30} je veden do dalších rozdílových zesilovačů T_{11} , T_{32} (nebo T_{33} , T_{34}), neboť ty jsou spojeny s jejich kolektory. Výstupní signál se ještě spiná na nf napětí, posunutý o 90° . Tento fázově o 90° posunutý signál se získává vnějším rezonančním obvodem, naladěným na nf kmitočet. Kolektorem jednoho tranzistoru vázaného diferenciálněho zesilovače teče při rezonanci proudový impuls šírky $\pi/2$. Při kmitočtové modulaci změny nosného kmitočtu způsobují změny fázové charakteristiky obvodu posouvajícího fázi, takže kolektorové proudy jsou stejně, jako při impulsní šírkové modulaci. Vzhledem k symetrické stavbě demodulátoru je impulsní šírkově modulovaný kolektorový proud druhé větve demodulátoru (posunutý o π) přičten, takže každá perioda signálu je tvorená dvěma impulsně šírkově modulovanými signály. Tranzistor T_{28} je zdrojem konstantního proudu, který stabilizuje rozkmit napětí na pracovním odporu R_{39} . Odpor R_{39} spolu s vnějším kondenzátorem tvorí deefazí. Na vývodu 8 je kromě nf napětí i stejnosměrné napětí (uvezené Ta R₁ jsou součástí I/O)

Tab. 10. Parametry A220D

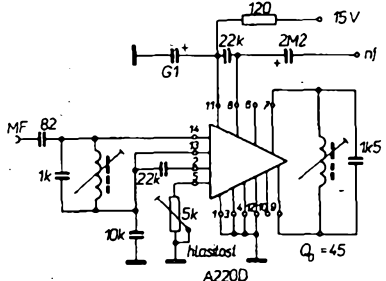
<i>Mezní údaje</i>	
<i>Ztrátový výkon:</i>	400 mW při 25 °C.
<i>Napájecí napětí:</i>	18 V.
<i>Napětí na vývodu 5:</i>	4 V.
<i>Proud na vývodu 12:</i>	15 mA.
<i>Kolektorový proud T_{44} (vnitní tranzistor malého výkonu):</i>	5 mA.
<i>Proud báze T_{44}:</i>	2 mA.
<i>Napětí U_{ce} T_{44}:</i>	13 V.
<i>Odporník mezi vývody 13, 14:</i>	1 kΩ.
<i>Provozní teplota:</i>	-10 až +70 °C.
<i>Teplota přechodu:</i>	+125 °C.
<i>Statické údaje při $+25 -5$ °C, $U_B = 12$ V</i>	
<i>Odběr ze zdroje ($R_S = 0$):</i>	15,4, max. 20 mA.
<i>Ss napětí na ný výstupu ($U_{VST} = 0$):</i>	7,5 V.
<i>Výstupní odpor $R_{E/11}$:</i>	2,9 kΩ.
<i>Napětí Zenerovy diody:</i>	11,5 V.
<i>Prudkové zesílení T_{44} ($U_{B/1} = 5$ V, $I_4 = 40$ μA):</i>	90.
<i>Průrazné napětí T_{44} ($I_3 = 500$ μA):</i>	min. 13, typ. 26,3 V.
<i>Dynamické údaje při 25 °C, $U_B = 12$ V, $\Delta f = \pm 50$ kHz, $f_m = 1$ kHz,</i>	
<i>$Q_0 = 20$ při $f = 6,5$ MHz</i>	
<i>Nf výstupní napětí ($U_{VST} = 1$ mV, $R_S = 5$ kΩ):</i>	min. 300, typ. 433 mV.
<i>Vstupní napětí pro omezení:</i>	47, max. 120 μV.
<i>Napěťový zisk bez fázovacího obvodu ($U_{VST} = 10$ μV):</i>	72 dB.
<i>Potlačení AM ($R_S = 5$ kΩ, $m = 0,3$, $U_{VST} = 1$ mV):</i>	min. 46, typ. 58 dB.
<i>Činitel zkreslení ($R_S = 5$ kΩ, $U_{VST} = 1$ mV):</i>	1,3, max. 2 %.
<i>Rozsah regulace nf ($U_{VST} = 1$ mV, $R_S = 5$ kΩ):</i>	min. 60, typ. 82 dB.
<i>Vstupní odpor ($U_{VST} = 10$ mV):</i>	15 kΩ.
<i>Vstupní kapacita ($U_{VST} = 10$ mV):</i>	5,3 pF.



Obr. 34a. Zapojení A220D s pásmovou propustí ve fázovacím obvodu



Obr. 34b. Zapojení A223D s pásmovou propustí ve fázovacím obvodu



Obr. 35a. Zapojení mf zesilovače s A220D

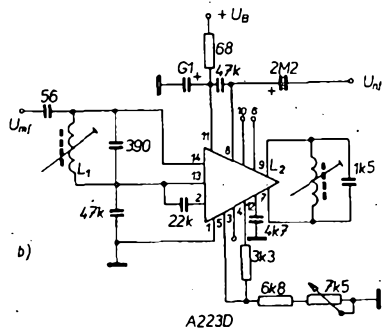
ti fázovacího obvodu. Funkce $\varphi = -\operatorname{arctg} VQ$ má lineární průběh jen při malém rozladění, nemůžeme proto jakost obvodu libovolně zvětšovat, abychom dostali co největší nf napětí, neboť při zvětšování jakosti obvodu se zvětšuje i zkreslení. Pro závislost mezi demodulačním zkreslením a jakostí fázovacího obvodu platí

$$k \approx \frac{1}{3} \left(\frac{\Delta f}{f} Q \right)^2$$

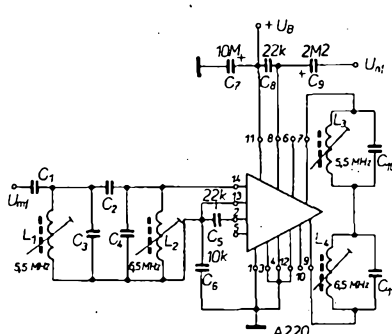
kde f je střední kmitočet a Δf je maximální kmitočtová odchylka. Činitel zkreslení je tedy přímo úměrný čtvrti jakosti fázovacího obvodu. Jakost obvodu Q je tedy kompromisem mezi nf napětím a činitelem zkreslení. Při použití pásmové propusti jako fázovacího obvodu může být průběh fázového úhlu φ při rozladění V a při zachování strmosti demodulační křivky linearizován (obr. 34). Při stejném zdvihu je pak fázová odchylka menší než při použití jednoduchého obvodu a tím je menší i zkreslení. Dřívě uvedený vztah pro zkreslení v tomto případě neplatí.

Pro optimální linearizaci demodulační charakteristiky je nutné změnit vazbu mezi obvody pásmové propusti. Oba obvody se naladí a tlumicí odpór R_s se zvolí tak, aby byl činitel zkreslení minimální. Vazba obou obvodů může být jak indukční, tak kapacitní. Nf napětí je vlivem účinku druhého obvodu na první obvod menší, neboť se zmenší i celková jakost obvodu.

Na obr. 35 je typická aplikace A220D. Vlivem vstupního rezonančního obvodu se zvětší i vstupní citlivost a signál bude omezený při asi $10 \mu\text{V}$. Zenerova dioda na vývodu 12 může být použita ke stabilizaci napajecího napětí a tranzistor na vývodech 3 a 4 jako nf



Obr. 35b. Jednoduchý mf zesilovač s A223D



Obr. 36. Zesilovač zvukového doprovodu pro obě používané normy

předzesilovač. Jestliže tyto součástky nebudou využity, doporučuje se vývody 3, 4 a 12 uzemnit.

Dalším příkladem použití A220D je „dvounormový“ mf zesilovač zvuku bez přepínání, který je na obr. 36. Aby mohly být zpracovány signály různých mezinárodních kmitočt (OIRT 6,5 MHz, CCIR 5,5 MHz), můžeme jako vstupní obvod před A220D použít nadkriticky vázanou pásmovou propust, jejíž dva obvody jsou naladěny na 5,5 a 6,5 MHz. Fázově posunutý signál pro demodulátor je získáván na dvou do série zapojených fázovacích obvodech, naladěných na dva různé kmitočty. Abychom na výstupu dostali stejně nf napětí a stejný

činitel zkreslení, musí být jakost obvodu laděná na 6,5 MHz o něco větší než obvod, laděný na 5,5 MHz.

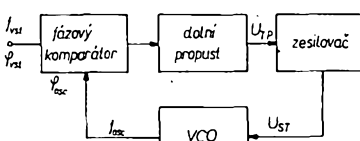
A220D můžeme použít i na nižších kmitočtech. V tomto případě jsou však vnitřní vazební kapacity mezi fázovacím obvodem a omezovačem malé, proto musíme k vývodu 6, 7 a 9, 10, 11 pripojit paralelně vnější kondenzátory. Rovněž se musí zvětšit i kapacita blokovacích kondenzátorů na vývodech 2 a 13. Při velmi nízkých kmitočtech je nutné, aby napětí na fázovacím obvodu bylo 200 mV, aby byla zajištěna správná funkce detektora.

Na obr. 37 je speciální případ použití A220D jako obnovovače nosné a aktivního demodulátoru v přijímači AM a SSB. V zesilovači a omezovači IO je vlivem omezení signálu AM získána nosná a signál AM je v násobiči aktivně detekován. Při uzavřeném diodě je na vstup IO přiváděno napětí z BFO o efektivním napětí asi 1 až 1,5 V. IO pracuje v tomto případě jako velmi kvalitní demodulátor signálu s jedním postranním pásmem.

Na obr. 38 je zapojení A220D v obvodu PLL. VCO generuje signál, jehož kmitočet lze měnit napětím U_{st} . Pro kmitočet pak platí

$$f_{osc} = f + dU_{st}$$

kde f_0 je kmitočet odpovídající U_{st} a α je strmost oscilátoru v Hz/V.



Obr. 38. Integrovaný obvod A220D v obvodu PLL

V porovnávači fáze je vstupní signál porovnáván se signálem oscilátoru se zřetelem na kmitočet i fázi. Na výstupu A220D je pak k dispozici závislý řídicí signál, který je přes dolní propust a zesilovač přiveden na VCO. Řídicí signál řídí VCO tak dlouho, dokud kmitočtová a fázová odchylka mezi vstupním a oscilátorovým signálem není nulová.

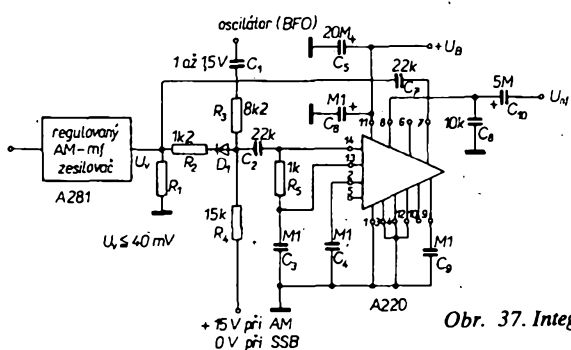
A220D je ekvivalentem TBA120S.

Integrovaný obvod A223D

Integrovaný obvod A223D je určen pro mf zesilovače FM, zvukové části televizního přijímače. Oproti A220D má následující výhody:

dodatečný výstup nf signálu nezávislý na nastavení regulátoru hlasitosti, vhodný pro nahrávání na magnetofon,

dodatečný nf vstup, umožňující připojit zdroj nf signálu, konstantní výstupní nf napětí, v rozsahu napájecích napětí 10 až 18 V.



Obr. 37. Integrovaný obvod A220D, v obnovovači nosné

necitlivost na „zabruněný“ napájecí napětí, postačí proto filtrační kondenzátory malých kapacit.

Na vývod 3 IO je vyvedeno napětí, jehož úroveň je nezávislá na nastavení potenciometru hlasitosti (vstupní odpor asi $2\text{ k}\Omega$). Na vývod 4 je vyveden vnitřní stabilizátor napětí. Na vývodu 5 je vstup pro připojení regulátoru hlasitosti. Regulační napětí je získáváno z proměnného děliče napětí, napájeného z vnitřního stabilizátoru. Dělič je zapojen mezi vývody 4, 5 a zem. Hlasitost je rovněž možné řídit napětím z vnějšího zdroje. Nf napětí na vývodu 8 je téměř nezávislé na napájecím napětí, avšak jeho velikost a činitel zkreslení jsou závislé na jakosti fázovacího obvodu. Neregulovaný nf výstup je vyveden na vývod 12. Základní zapojení A223D je na obr. 39a.

Omezovací zesilovač. Stejně jako v A220D a v A223D je použit osmistupňový symetrický zesilovač-omezovač. Tento zesilovač-omezovač je stejnosměrně vázaný. Každý z osmi rozdílových zesilovačů má zisk asi 8 až 9 dB. Vazba na demodulátor je rovněž přes emitorové sledovače.

Demodulátor. Aby mohly být zlepšeny vlastnosti demodulátoru, je změněno oproti A220D zapojení demodulátoru. Zdroj konstantního proudu demodulátoru je napájen z vnitřního stabilizovaného zdroje. Průtok demodulátorem je proto konstantní, nezávislý na napájecím napětí. Mezi výstupy demodulátoru jsou zapojeny dvě antiparalelně zapojené kapacitní diody D_1 , D_2 , které s odporu R_1 , R_2 tvoří dolní propust, která potlačuje zbytky mf signálu.

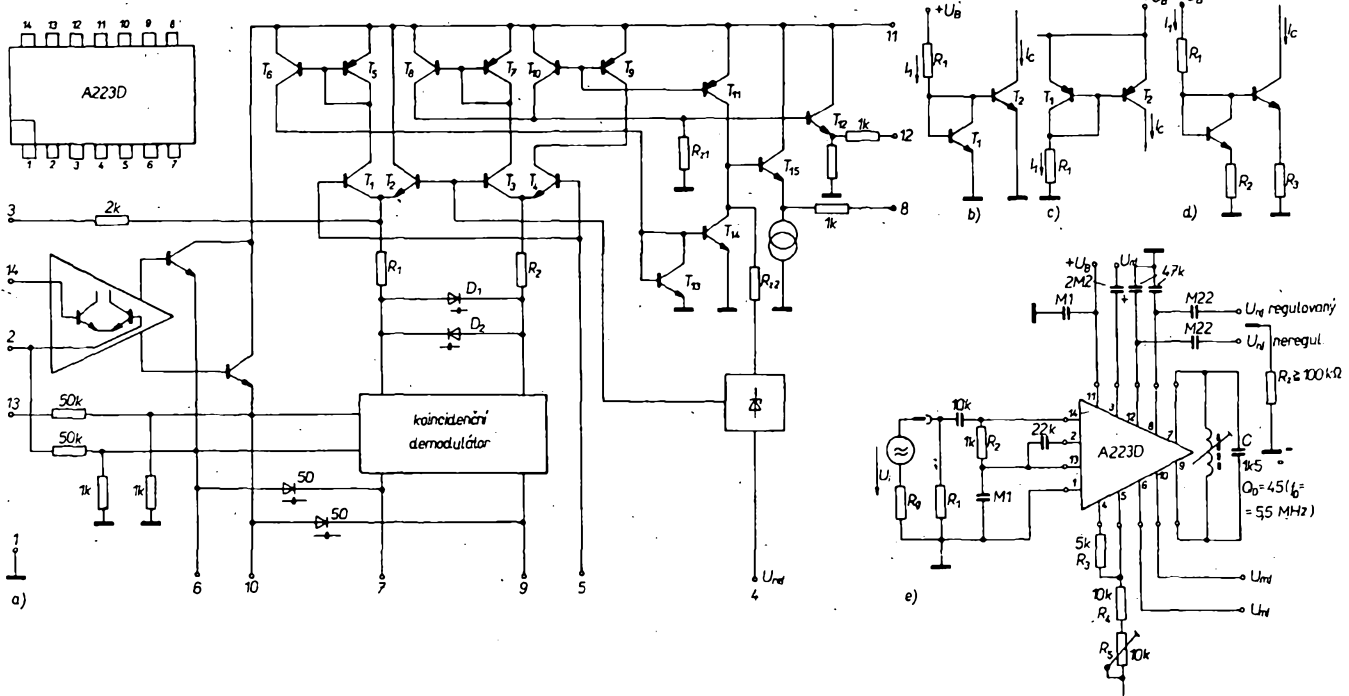
Nf zesilovač. Zpracování nf signálu se značně liší od zpracování v IO A220D. Za demodulátorem zapojená regulace hlasitosti nemá jako zařízení impendanci činný odpor, nýbrž tzv. proudové zrcadlo. Elektronická regulace hlasitosti je použita v obou rozdílových zesilovačích T_1 , T_2 a T_3 , T_4 , v nichž se dělí proud. Proudové zrcadlo se jen velmi málo liší od zdroje konstantního proudu. Jak vyplývá z obr. 39b, teče při napájecím napětí U_B a odporu R_1 proud přes tranzistor T_1 , zapojený jako dioda. Vzhledem k dobré

Tab. 11. Parametry A223D

Mezní údaje	
Napájecí napětí:	min. 10, max. 18 V.
Napětí na vývodu 5:	6 V.
Proud z referenčního zdroje:	5 mA.
Odpor mezi vývody 4, 5:	min. 1, max. 10 k Ω .
Odpor mezi vývody 13, 14:	1 k Ω .
Provozní kmitočet:	0 až 12 MHz.
Ztrátový výkon p/l 25 °C:	400 mW.
Tepelný odpor:	120 K/W.
Rozsah provozních teplot:	-25 až +70 °C.
Statické údaje při 25 °C, $U_B = 12\text{ V}$, $R_S = 10\text{ k}\Omega$	
Odběr ze zdroje:	min 9,5, typ. 13, max. 17,5 mA.
Stabilizované napětí U_4:	4,2, 4,5, 5,3 V.
Stejnosměrné napětí U_B:	3,4 V.
při $U_{VST} = Q_1 U_{12}$:	5,6 V.
Vnitřní odpor zdroje ref. napětí:	15 Ω .
Vstupní odpor na vývodech 8, 12:	2,1 k Ω .
Dynamické údaje při 25 °C, $U_B = 12\text{ V}$, $f = 5,5\text{ MHz}$, $\Delta f = \pm 50\text{ kHz}$, $f_m = 1\text{ kHz}$,	1,1 k Ω .
$m = 0,3$, $U_{VST} = 10\text{ mV}$, $Q_0 = 45$, $C_L = 1,5\text{ nF}$, $C_o = 47\text{ nF}$, $R_S = 10\text{ k}\Omega$	
Zisk nmf ($U_{VST} = 10\text{ }\mu\text{V}$):	68 dB.
Mf výstupní napětí U_6:	255 mV.
při $U_{VST} = 10\text{ mV}$, U_{10}:	255 mV.
Vstupní napětí pro omezení:	42, max. 60 μV .
Mf výstupní napětí U_8:	min 0,78, typ. 1,17 V.
při $U_{VST} = 10\text{ mV}$, U_{12}:	min. 0,65, typ. 1,02 V.
Regulace nf ($R_S = 10/3\text{ k}\Omega$) U_B:	min 20, typ. 27, max. 36 dB.
Regulace hlasitosti U_B:	min 70, typ. 101 dB ($R_S = 10/0\text{ k}\Omega$).
Max. změna nf napětí U_{12}:	0,12 dB ($R_S = 10/0\text{ k}\Omega$).
Zisk nf ($U_3 = 100\text{ mV}$, $f = 1\text{ kHz}$):	16 dB.
Potlačení AM ($U_{VST} = 500\text{ }\mu\text{V}$):	min 50, typ. 56 dB.
Činitel zkreslení při $Q_0 = 20$:	1,2 %.
$Q_0 = 45$:	2,7 %.
$Q_0 = 45$, $U_B = 60\text{ dB}$:	3 %.
Nízkomodulované napětí ($R_S = 0\text{ k}\Omega$):	typ 11, max. 100 μV .
Potlačení brumu na nf výstupech a₈:	38 dB.
při $f_m = 50\text{ Hz}$, $U_m = 300\text{ mV}$, $\Delta f = Q_0 f_{12}$:	27 dB.
Zbytkové mf napětí na nf výstupech bez demodifikace při $U_{VST} = 10\text{ }\mu\text{V}$, U_B:	40 mV.
U_{12}:	22 mV.

shodě parametrů sepnutých integrovaných tranzistorů teče tento proud, nezávisle na jeho velikosti, rovněž i tranzistorem T_2 . Proud je tedy proti zemi „zrcadlový“. Toto „zrcadlení“ proudu je možné vztáhnout i k napájecímu napětí, jak vyplývá z obr. 39c.

Protože T_2 pracuje do daného reálného výstupního odporu, bude se měnit při různém napětí kolektor-emitor jen poměr proudů v „zrcadle“. Tento vliv lze změnit na minimum použitím stejnosměrné záporné zpětné vazby podle obr. 39d. Poměrem průřezu



Obr. 39. Základní zapojení A223D (a), „proudové zrcadlo“ s tranzistory vodivosti n-p-n (b) a p-n-p (c), „proudové zrcadlo“ se zpětnou vazbou (d), měřicí obvod pro A223D (e)

přechodů emitor-báze tranzistorů T_1 , T_2 , nebo vzhodným návrhem odporu R_2 , R_3 v obr. 39d lze definovat pomer proudů v „zrcadle“. Těchto způsobů v zapojení je využito v A223D, takže na výstupu dostaváme nf signál, který je nezávislý na regulátoru hlasitosti. Oba tranzistory rozdílového zesilovače T_3 , T_4 pracují do „proudového zrcadla“. Součet obou zrcadlových proudů (vztaženo ke kladnému napájecímu napětí) je stejný a stejný je i úbytek na zatěžovacím odporu R_{11} . Pro oddělení od výstupu je použit emitorový sledovač T_{12} a odpor $1\text{ k}\Omega$, čímž je definována i výstupní impedance. Tranzistor T_1 rozdílového zesilovače pracuje do „proudového zrcadla“, tranzistor T_2 je připojen přímo na napájecí napětí, takže při regulaci teče do T_1 z proudového zrcadla větší nebo menší proud. Stejné poměry jsou i u T_4 , svázaného s proudovým zrcadlem tvořeným tranzistory T_9 a T_{11} . S touto technikou zapojení a opětovným zrcadlením demodulátorového proudu vzhledem k zápornému napájecímu napětí je realizován protitaktní proudový výstup, který je připojen k emitorovému sledovači se zdrojem konstantního proudu. Rovněž i zde je mezi emitorovým sledovačem a výstupem zapojen odpor $1\text{ k}\Omega$. Použití techniky proudových zrcadel umožňuje velký rozsah regulace nf signálu na výstupu (vývod 8). Rovněž při malém napájecím napětí (asi 8 V) dostaváme na výstupu velké nf napětí. Kromě toho je lepší i potlačení brumových napětí (vzhledem k A220D).

Zesilovač-omezovač, demodulátor a regulátor hlasitosti jsou napájeny z vnitřního stabilizátoru. Toto stabilizované napětí je jako referenční napětí vyvedeno na vývod 4.

A223D má 14vývodové pouzdro DIP a je ekvivalentem TBA120U.

Na obr. 49 je zapojení měřicího obvodu. Vstup A223D je přizpůsoben impedanci generátoru. Kondenzátory 47 nF na vývodech 8 a 12 tvoří spolu s výstupními odpory deemfázi s časovou konstantou $50\text{ }\mu\text{s}$. Mezni a provozní údaje A223D jsou uvedeny v tab. 11.

Vliv vnějších součástek na parametry IO je stejný jako u A220D.

Fázový posuv $\varphi = 90^\circ$ mezi oběma demodulovanými napětími vznikne při rezonančním kmitočtu

$$\omega_b = 2\pi f_0 = \frac{1}{\sqrt{L_1(C_1 + \frac{C_u}{2})}}.$$

Jakost fázovacího obvodu je

$$Q_p = \omega_b R_{p, rez} (C_1 + \frac{C_u}{2}),$$

kde $R_{p, rez}$ je paralelní kombinace ztrátového odporu čívky, vstupního odporu na vývodech 7 a 9 IO a vnějšího paralelního odporu R . Kondenzátor C_{k1} je vnitřní vazební kondenzátor.

Pro fázovou strmost platí při kmitočtu

$$S_0 = - \left(\frac{d\varphi}{df} \right) \Big|_0 = \frac{2Q_p}{f_0}.$$

Je-li nosná kmitočtově modulovaný signál stejná jako kmitočet f_0 , je činitel zkreslení

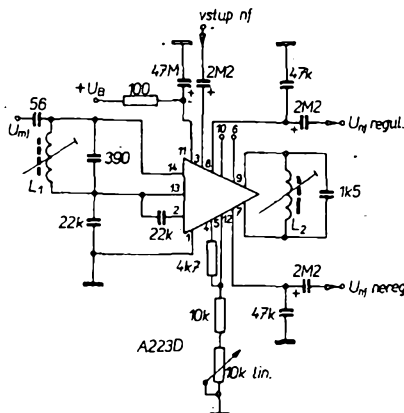
$$k_2 = 0,$$

$$k_3 = \frac{1}{3} \left(Q_p \frac{\Delta f}{f_0} \right)^2 = \frac{S_0^2}{12} \Delta f^2,$$

$$k_5 = \frac{1}{5} \left(Q_p \frac{f}{f_0} \right)^4 = \frac{S_0^4}{80} \Delta f^4$$

Z těchto vztahů lze určit jakost a odpor R .

Jouli požadavky na činitel zkreslení a nf výstupní napětí větší, musí se použít pro fázovací obvod pásmová propust s potřebnou



Obr. 40. Úplný mf zesilovač s A223D

vazbou mezi oběma obvody. Pásmovou propustí se zlepší linearita detekční křivky a zmenší činitel zkreslení. Zapojení s pásmovou propustí je na obr. 34b.

Na obr. 35b je zapojení mf zesilovače, u něhož nejsou dodatečný nf vstup a výstup využity. Oproti zapojení s A220D má toto zapojení následující výhody: lepší dynamické parametry, větší potlačení brumu a konstantní nf výstupní napětí.

Na obr. 40 je zapojení, které využívá všechny přednosti A223D. Přímé vyvedení vývodu 3 (nf vstup) a vývodu 12 (neregulovaný nf výstup) na diodový konektor je možné jen u televizních přijímačů s oddělenou sítí. U univerzálních TVP se musí použít oddělovací transformátor.

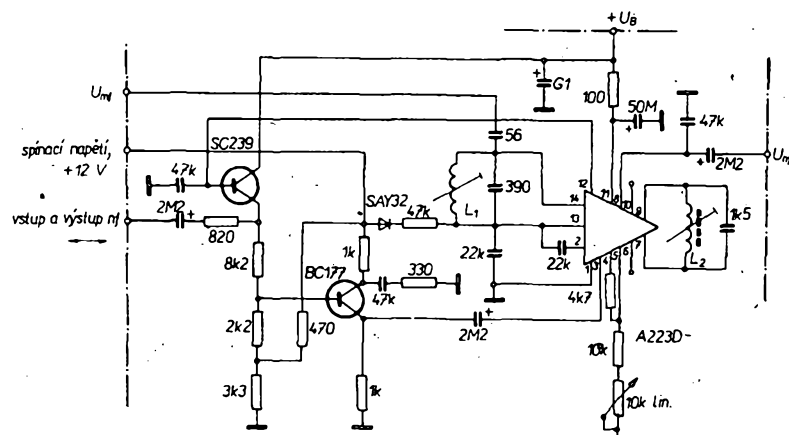
Aby bylo možno připojit normovaný výstup videomagnetofonu s A223D, je třeba použít pomocný obvod. Na obr. 41 je zapojení

s BC177 připojen. Ten je opatřen preemfází a ruší se tím vliv deemfáze na vývod 8. Přes diodu SAY32 a odpor $47\text{ k}\Omega$ je vytvořen z funkce mf zesilovač. Je-li videomagnetofon přepojen na základu, spínací napětí bude 0 V a dioda je uzavřena. Přes emitorový sledovač s SC239 je nf signál přiveden na výstupní konektor, který je používán i jako vstupní konektor. Elektronická regulace hlasitosti může být v tomto případě vypuštěna.

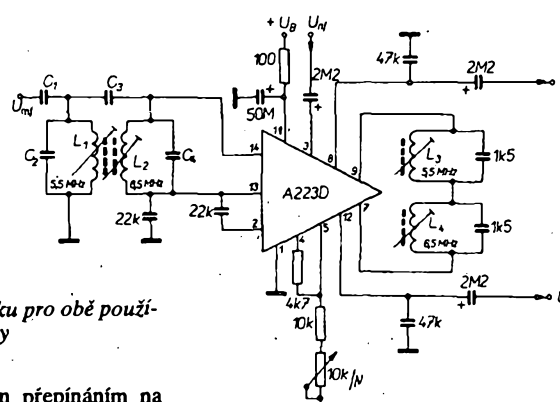
Na obr. 42 je zapojení dvounormového mf zesilovače zvuku. Pro zpracování signálů obou rozdílných kmitočtů (6,5 a 5,5 MHz) se musí na vstup A223D zapojit nadkriticky vázaná pásmová propust, u níž je jeden obvod naladěn na 5,5 MHz a druhý na 6,5 MHz. Fázovací obvody nutné pro demodulaci jsou zapojeny do série. Jakost obvodu laděného na 6,5 MHz musí být o 18 až 20 % větší než obvodu 5,5 MHz, abychom dosáhli stejných nf napětí při různých kmitočtech za předpokladu, že bude stejný zdvih. Je také možné místo ladícího kondenzátoru použít varikap a obvod na druhý kmitočet přelaďovat změnou ladícího napětí.

A223D je možné použít i v mf zesilovači přijímače FM s mf kmitočtem např. 455 kHz, nebo v telegrafii FM st proudy. Pak je však nutné mezi vývody 6, 7 a 9, 10 zapojit vnější kondenzátory. Blokování vývodů 2 a 13 je nutno přizpůsobit vstupnímu kmitočtu. Zajímavé je použítí A223D na kmitočtu 10,7 MHz. Typické naměřené údaje při $f_0 = 10,7\text{ MHz}$, $\Delta f = \pm 50\text{ kHz}$, $U_B = 12\text{ V}$, $Q_0 = 45$, $C = 560\text{ pF}$ jsou: $I_{load} = 1\text{ kA}$, $A_{U_{nf}} = 62\text{ dB}$, $U_{vz, am} = 70\text{ }\mu\text{V}$, $k = 0,55\%$, $U_d = 500\text{ mV}$, potlačení AM 55 dB při $U_{nf} = 500\text{ }\mu\text{V}$.

Potřebnou selektivitu lze získat obvodem LC nebo keramickým filtrem, který se zapojuje na vstup IO.

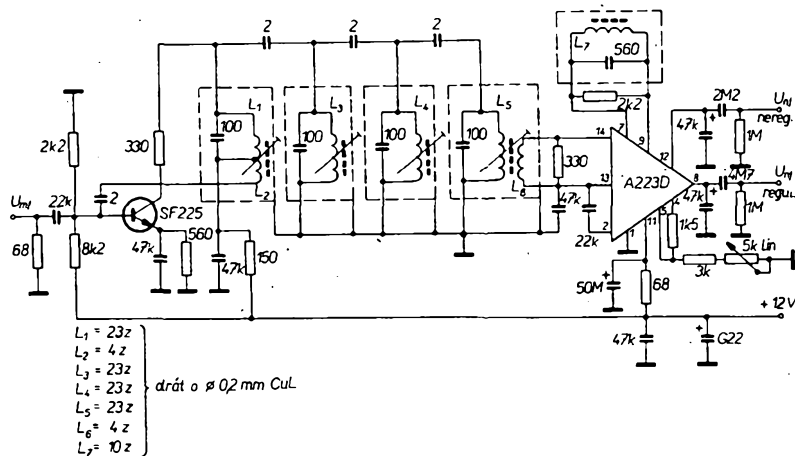


Obr. 41. Obvod pro připojení obrazového magnetofonu (videoskopu)



Obr. 42. Mf zesilovač zvuku pro obě používané normy

ní obvodu s normovaným přepínáním na videomagnetofon. Z videomagnetofonu je na konektor přiváděno spínací napětí +12 V, kterým bude oddělovací emitorový sledovač SC239 blokován a oddělovací zesilovač



a řadou pomocných funkcí. Za osmistupňovým mf zesilovačem je koincidenční detektor, z něhož jsou buzeny nf předzesilovač, obvod ADK a indikátor rozladení (0-metr). Vnitřní umlčovač šumu je řízen jednak z indikátoru rozladení a jednak napětím závislým na síle pole (vývod 15 IO, napětí se s rostoucí silou pole zmenšuje). Napětím z vývodu 14 (s rostoucí silou pole se napětí zvětšuje) je možno řídit přepínací mono-stereo v závislosti na síle pole. Na vývod 14 je možno připojit S-metr. A225D je opatřen i automatickým vypínačem ADK, který odpojuje ADK během ladění a po skončení ladění ho opět se zpožděním připojuje.

Zapojení a funkce

Na obr. 44a je blokové schéma A225D s principiálním připojením vnějších součástek. Mf signál je veden přes vývod 18 na vstup osmistupňového omezovacího zesilovače, jehož jednotlivé diferenciální stupně jsou vázány stejnosměrně. Proto musíme galvanicky propojit vývody 17 a 18. Při použití keramického filtru je nutno mezi tyto vývody připojit odpór, který u filtru soustředěné selektivity s obvody LC můžeme vypustit, neboť propojení je realizováno vazebním vinutím. Vnitřní stejnosměrná vazba musí být blokována kondenzátory připojenými k vývodům 16 a 17. Koincidenční detektor je buzen jednak signálem z omezovače (vývod 8 a 11), jednak signálem fázově posunutým na vývody 9 a 10. Kmitočtová modulace vytváří, podle posunu fáze na fázovacím obvodu, fázovou změnu řídícího napětí pro demodulátor, která je převedená na šírkově modulované impulsy na výstupu. Integraci těchto impulsů dostaneme na výstupu signál řízený touto modulací. Střední hodnota výstupního signálu určuje současně míru rozladení od

aby na vývodu 5 bylo napětí rovné přibližně $U_B/2$ (odpory R_5 a R_6 na obr. 44a).

Výstup indikátoru rozladení na vývodu 4 je zablokován kondenzátorem, aby bylo možno odfiltrovat zbytky nf signálu. Střední proud, odpovídající rozladení, je přiveden do obvodu, který kladný nebo záporný výstupní proud mění na proud jedné polarity. Tento proud vytváří řídící napětí vyvedené na vývod 13, což je vstup klopného Schmittova obvodu, který odpojuje nf výstup. Do tohoto klopného obvodu je možné přivést z vývodu 15 řídící napětí závislé na síle pole signálu. Tímto způsobem je možné konstruovat obvod šumové brány závislý jak na rozladení, tak i na síle pole. Vstup Schmittova klopného obvodu je zablokován kondenzátorem, který odfiltrovává zbytky střídavého signálu v řídícím napětí. Výstup Schmittova klopného obvodu je vyveden na vývod 6. Kondenzátor na vývodu 6 tvoří spolu s integrovaným odporem v IO časovou konstantu, takže nf signál je umlčován plynule a ne skokem, který by se projevil jako lupnutí. Připojime-li vývod 6 přes odpór větší než $1\text{ k}\Omega/1\text{ V}$ na napájecí napětí, je možné nastavit průběh spinání šumové brány. Pro $R = \infty$ je útlum asi 60 dB. Regulace průběhu umožňuje sledovat i signály vysílačů, které jsou pod nastavenou prahovou úrovni příjmu.

Dalším obvodem v A225D je obvod automatického vypínání ADK. Obvod reaguje na změny ladícího napětí, které jsou přes kondenzátor přivedeny na vývod 2. K odezvě dojde při změně ladícího napětí větší než 20 mV. Touto změnou je buzen rozdílový zesilovač, který svým rozdílovým výstupním proudem budí další stupeň, v němž se vytváří proud stejné polarity, kterým se nabíjí kondenzátor C_3 na vývodu 3. Časová konstanta R_3C_3 určuje dobu vypnutí ADK. K novému zapnutí obvodu ADK dojde po době $t = RC$.

me připojit indikátor síly pole signálu. Napětí na vývodu 14 se v IO invertuje a se strmějším průběhem je vyvedeno na vývod 15. Napětí na vývodu 15 je určeno v podstatě návrhem fázovacího obvodu a obvodovými kapacitami; se zvětšující se silou pole se toto napětí zmenšuje. Tohoto napětí je možné využít jako řídící napětí pro spínač mono-stereo v dekodéru.

Parametry

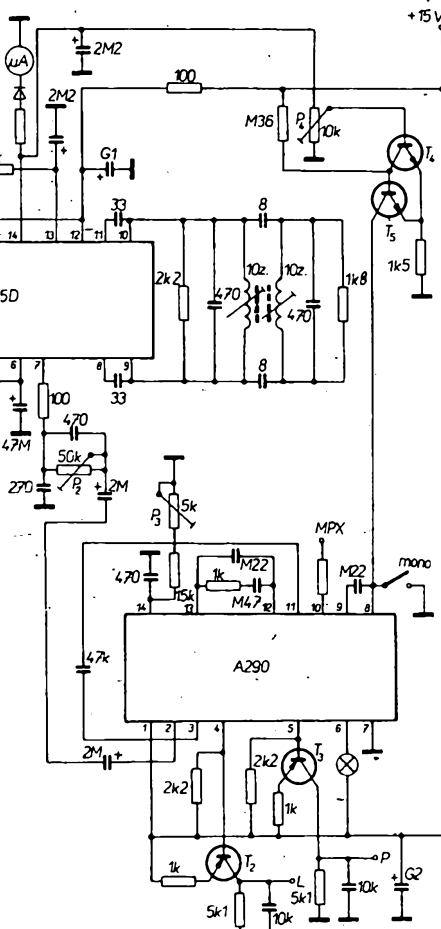
A225D je v pouzdře DIP-18, určen pro napájecí napětí 4 až 18 V a proto ho můžeme použít v přijímacích napájených ze sítě i z baterií. A225D je ekvivalentem TDA1047 fy Siemens. Jeho hlavní parametry jsou v tab. 12 a měřicí obvod na obr. 44b.

Příklad použití

Aplikační zapojení na obr. 45 je příkladem zapojení A225D ve stereofonním přijímači FM.

Vstupní signál je přiváděn ze vstupní jednotky VKV na bázi předzesilovače SF225, který je neutralizován, a který vyrovnává útlum filtru soustředěné selektivity. Kromě toho má tento tranzistor zesílení asi 14 dB mezi bází a vstupem IO. Filtr soustředěné selektivity je složen z osmi stejných laděných obvodů, přičemž na prvním je přidáván neutralizační vinutí a na osmém vazební vinutí. Fázovací obvod je zapojen jako pásmová propust, aby se dosáhlo minimálního zkreslení v celém rozsahu ADK. Při součástkách na obr. 45, které je možno ještě optimalizovat, bylo dosaženo zkreslení do 0,1 % při kmitočtovém zdvihu $\pm 50\text{ kHz}$.

V uvedeném zapojení byly využity všechny funkce, které jsou u A225D k dispozici.



Obr. 45. Mf zesilovač FM s A225D a dekodérem A290D

Zesilovač ADK se od napětí na vývodu 3 odpojuje oddělovacím stupněm (odpojuje zdroje proudu zesilovače ADK).

Na vývod 14 je vyvedeno ze součtového obvodu napětí závislé na síle pole signálu. Součtový obvod je buzen z fázovacího obvodu a z druhého, čtvrtého a šestého stupně mf zesilovače. Zatímco v první části je řídící napětí na vývodu 14 závislé na návrhu fázovacího obvodu a na kondenzátořech mezi vývody 8, 9 a 10, 11, je v druhé části závislé na vstupním napětí a má logaritmický průběh. Indikační zesilovač se přes emitorový sledovač připojí na vývod 14, kam může-

středního kmitočtu. Výstupní signál řídí zdroje proudu na nf výstupu, zesilovače ADK a indikátor rozladení. Tyto tři stupně pracují na principu zdrojů proudu pracujících proti sobě (proudové zrcadlo). Výstup z těchto zdrojů má charakter proudový a při středním kmitočtu je $I = 0$. Je-li na výstupu nf signál, začne integrovaným odporem v IO protékat proud, kolisající kolem nuly, který je úměrný nf napětí. Nf napětí je přes emitorový sledovač vyvedeno na vývod 7. Proud z výstupu 5 se mění o $1\text{ }\mu\text{A}$ při rozladení o 1 kHz . Tento proud je veden do ladícího obvodu vstupní jednotky VKV, která se dolaďuje. Výstupní signál zesilovače ADK je nutné oddělit od nf signálu. Pracovní bod zesilovače ADK musí být nastaven tak,

Rozsah indikátoru síly pole signálu překrývá čtyři dekády vstupního napětí vstupní jednotky VKV (0,1 μV až 1 mV). Dioda v sérii s měřicím přístrojem potlačuje strmý náběh napětí v oblasti začátku omezení.

Z vývodu 14 se oddešírá napětí pro ovládání Schmittova klopného obvodu a pro spínač mono-stereo v dekodéru. Práh se nastavuje potenciometrem P_4 . Obvod šumové brány (pracuje při rozladení) je závislý na fázovacím obvodu a nasazuje při rozladení +60 kHz.

Obvod pro ladění varicapů není na obr. 45 uveden, a proto nejsou uvedeny obvody související s ADK, neboť jejich realizace je závislá na zvolené koncepci ladění. ADK se vypíná automaticky nebo ručně uzemněním vývodu 2 IO. Nf signál je veden na stereofonní dekodér přes fázovací korekční obvod, který se nastaví minimální přeslechy. V kvalitnějších přijímačích je lepší místo tohoto fázovacího korekčního obvodu použít filtr MPX.

Integrovaný obvod A230, A231

Integrovaný obvod A230D, A231D je maticí RGB (červená-zelená-modrá) s obvodem zatemňovacích impulsnů. V tomto IO se ze signálu Y (jasový signál získaný v IO A270) a z barevných rozdílových signálů (R-Y), (B-Y), získávají signály barev R, G, B, které jsou přes koncové zesilovače přivedeny na katody obrazovky. Ze signálu (R-Y), (B-Y) se nejprve získá signál (G-Y) a sečtením těchto tří signálů se signálem Y se získávají signály R, G, B. V A230D, A231D je obvod zatemňování, který zatemňuje obrazovku během rádkových i snímkových zpětných běhu.

Pro celé zapojení je důležité dosáhnout optimální relativní i absolutní stability úrovni černé a shodnosti dynamických vlastností všech tří kanálů barvy. Změna úrovně černé

vede ke zkreslení barev a ke snížení kvality obrazu.

V celkové koncepci dekodéru SECAM je pamatovalo na to, aby v IO A270D (kličovanou regulací úrovně černé) a mezi A230 a A295D byla zajištěna dobrá stabilita úrovně černé.

Referenční napětí A230D je přes demodulační obvody přivedeno do matici.

V A230D, A231D jsou stejně tři kanály barev -R, -G, -B; abv se dosáhlo malého zkreslení i střídavého napěti, obvody mají dobrou teplotní kompenzaci, vyplývající z použití rozdílových zesilovačů.

Pro dosažení optimální teplotní stability je koncový stupeň obrazu i zatemňovací obvod zahrnut do celkové koncepce stabilizace.

Vnitřní schéma A230D a A231D je na obr. 46.

Dekódovací obvod. Obvod dekódování je diferenciální zesilovač se zdrojem konstantního proudu. Barevný rozdílový signál je nesymetricky veden na bázi jednoho tranzistoru rozdílového zesilovače, báze druhého je na úrovni černé. Úroveň černé se udržuje obvodem, který je shodný pro všechny tři kanály barev od vstupu až po matici. Není-li na vstupu přítomen rozdílový signál barev, ale jen stejnosměrná úroveň černé, bude tento obvod napájen pouze z referenčního zdroje. Barevné rozdílové signály se dekódovu-

jí takto: signály (F-Y) jsou vedeny na jednu z bází tranzistoru rozdílového zesilovače. Tranzistor je zesílen 2,5krát a obráti jejich fázi. Signál Y, přivedený z A270D, řídí zdroj konstantního proudu rozdílového zesilovače. Zesílení tohoto zdroje konstantního proudu od jeho vstupu na kolektorový odpór rozdílového zesilovače je 2,5. Na kolektorovém odporu se signál -(F-Y) sečte se signálem Y - (F-Y) - Y = F.

Zelený rozdílový signál se vytváří v dalším obvodu IO, v němž na odporech se ze signálu (R-Y), (B-Y) získá signál (G-Y) $(G-Y) = 0,15(R-Y) - 0,19(B-Y)$.

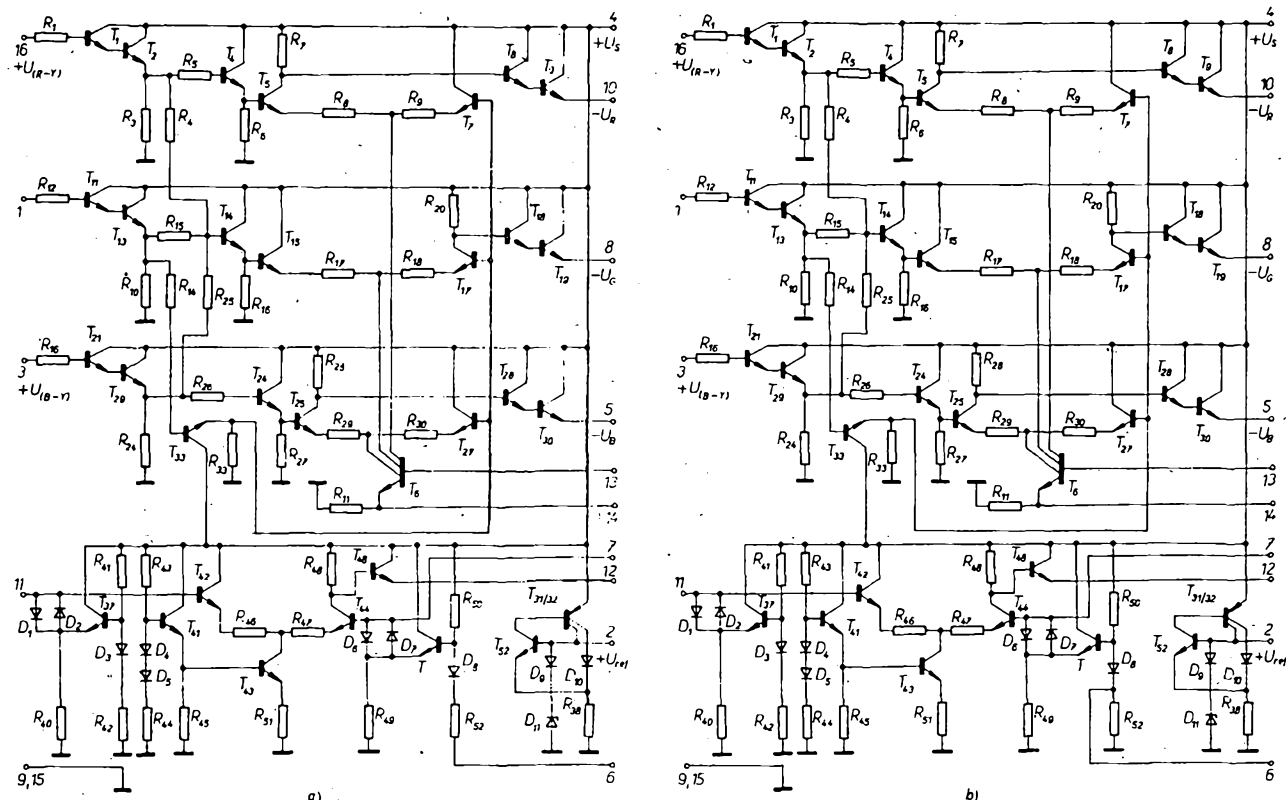
Signál (G-Y) se dekóduje stejně jako u ostatních dvou signálů. Tímto zapojením se při použití rozdílových zesilovačů dosáhne velmi dobré teplotní kompenzace.

Vstupní a výstupní zesilovače. Vstupní zesilovače rozdílových signálů barev oddělují matici od dekodéru barev a umožňují připojit úroveň černé. Vstupní zesilovač zelené barvy je využit pouze pro stejnosměrné napájení kanálu zelené barvy a pro stejnosměrné klíčování jednoho vstupu rozdílového zesilovače.

A230D, A231D téměř nezatěžují zdroj signálu, neboť vstupní zesilovače jsou zapojeny jako emitorové sledovače v Darlingtonově zapojení.

Signál Y je veden do bázi zdrojů konstantního proudu rozdílových zesilovačů. Ze společného odporu v emitorech vstupních zesilovačů signálu Y je veden zpětná vazba k A270D (kličovaná regulace úrovně černé). Výstupní stupně jsou rovněž emitorové sledovače v Darlingtonově zapojení, které zabranují zatěžování matici a umožňují snadno řídit koncové obrazové zesilovače v zapojení se společnou bází.

Zdroj referenčního napěti. Zdroj referenčního napěti napájí stejnosměrným napětím vstupy zesilovačů rozdílových signálů barev, tzn. slouží pro nastavení úrovně černé. V tomto zdroji je zapojen teplotně kompen-



Obr. 46. Vnitřní schéma zapojení A230D (a)
a A231D (b)

zovaný obvod, který zlepšuje vlastnosti IO při změně okolní teploty.

Zatemňovací obvod. Zatemňovací obvod umožnuje zatemňovat obrazovku při řádkovém a snímkovém zpětném běhu. Základem zatemňovacího obvodu je rozdílový zesilovač s teplotně kompenzovaným zdrojem referenčního napětí pro zdroj konstantního proudu. Změnou symetrie rozdílového zesilovače můžeme měnit pracovní bod koncových obrazových zesilovačů (regulačce jasu). Proud do bází tranzistorů rozdílového zesilovače je přiveden přes dva vnější odpory spojené s napájecím napětím. Do bází jsou rovněž přivedeny zatemňovací impulsy, které mohou být jak kladné, tak i záporné. Dvě antiparalelně zapojené diody ochraňují vstupy před přetížením, pracují jako omezovač, takže na výstupu obvodu je k dispozici signál konstantní úrovně, nutný pro koncové obrazové zesilovače. Zatemňování se realizuje tak, že napětí na bázích koncových obrazových zesilovačů je menší než napětí na emitorech, čímž se dosáhne zablokování těchto stupňů.

V tab. 13 jsou uvedeny parametry a na obr. 47 základní zapojení A230D, A231D. Rozdíl mezi A230D a A231D je v některých parametrech a ve vnitřním propojení – v A230D je vývod 6 spojen s druhým koncem odporu R_{S2} , kdežto v A231D je vývod 6 připojen mezi diodou D_8 a odporem R_{S2} , který je druhým koncem uzemněn.

Integrovaný obvod A240D

Integrovaný obvod A240D je obrazový mezifrekvenční zesilovač s detektorem, určený pro černobilé i barevné televizní přijímače. A240D je ekvivalentem TDA440 fy Telefunken. Velký stupeň integrace u tohoto IO umožnil zmenšit počet vnějších součástek na minimum. Integrovaný obvod, jehož vnitřní schéma je na obr. 48, je sestaven z těchto funkčních obvodů:

regulovaný mf zesilovač,
synchronní demodulátor,
obrazový předzesilovač a
klikovaný regulační zesilovač.

Sirokopásmový mf zesilovač je tvořen třemi rozdílovými zesilovači, z nichž první dva jsou regulovatelné. K regulaci zisku v rozdílových zesilovačích se využívají proměnné zpětné vazby, tvořené dvěma diodami, jejichž odpor závisí na velikosti regulačního proudu. Mezní regulační stav jsou na obr. 48a. Tomuto způsobu regulace je dávána u integrovaných obvodů přednost před regulací pracovního bodu, které se používalo při regulaci zisku u mf zesilovačů s diskrétními prvky. Vstupní signál z mf zesilovače, který je v celém rozsahu regulace konstantní, budi omezovač, na jehož výstupu je připojen detekční obvod na nosnou obrazu.

Demodulátor, který je zapojen jako multiplikativní směšovač, má lepší detekční vlastnosti, než modulátor s diodou. V principu zde dochází k násobení dvou signálů. Při

Tab. 13. Parametry A230, A231D

Mezní údaje	A230D		A231D	
	min.	max.	min.	max.
Napájecí napětí:				
Napětí na vstupu Y:	0	3,5	0	3,5 V.
Napětí na vstupu barev U_1 :	0	9	0	9 V.
U_3 :	0	9	0	9 V.
U_{16} :	0	9	0	9 V.
Proud na výstupu barev I_5 :			30	35 mA.
I_6 :			30	35 mA.
I_{10} :			30	35 mA.
Výstupní proud při zatemnění I_{12} :			15	15 mA.
Vstupní proud pro zatemnění I_7 :	-2	+2	-2	+2 mA.
I_{11} :	-2	+2	-2	+2 mA.
Zatěžovací proud ref. zdroje I_2 :	-2	+2	-2	+2 mA.
Zatěžovací proud zpětné vazby Y I_{14} :	-3	+3	-3	+3 mA.
Ztrátový výkon při 25 °C:			1,06	1,06 W.
Provozní teplota:	0	55	-10	55 °C.
Teploprůchodus:			130	130 °C.
Tepelný odpor:			70	70 K/W.
Statické údaje pro +25 °C, $U_B = 12 V$, $U_6 = 0,55 V$, $U_1, 3,16 = 6,9 V$, $U_{13} = 1,6 V$				
Odběr ze zdroje:	A230D		A231D	
Úroveň červé v barevných výstupech:	min. 7,6	max. 8,8	min. 7,6	typ. 8,1, max. 8,8 V.
Relativní odchylka úrovně červé:	max. 160		typ. -25, max. 160 mV.	
Úroveň červé zatemňovacího obvodu:	min. 8,3	max. 9,5	min. 8,3	typ. 8,9, max. 9,5 V.
Rozdílový vstupní proud barev:	min. 4,	max. 6 až 10	typ. 1,	typ. 6 µA.
Referenční napětí ($I_{ref} = -100 \mu A$):			typ. 6,9 V.	
Zesílení signálu Y při $\Delta U_{13} = 0,5 V$:	min. 2,2	max. 3	min. 2,3	typ. 3.
Dynamické údaje pro 25 °C, $U_B = 12 V$, $U_{13} = 2,1 V$, $U_{1,3,16} = 6,9 V$ (A230D, A231D)				
Vstupní impedance pro $U_{VST} = 0,1 V_{MV}, f = 1 \text{ MHz}$,	kanál Y: 34/5,4 kΩ/pF,		kanál barev: 200/5,5 kΩ/pF.	
Napěťové zesílení pro $U_{VST} = 0,3 V_{MV}, f = 1 \text{ kHz}$,	kanál Y: 2,7,	kanál barev: 2,6,		
Odchylka v zesílení,	kanál Y: <4 %,	kanál barev: 3 %,		
Kmitočtová závislost zesílení signálu Y při malém signálu $f = 3 \text{ MHz}$:				-0,04 dB.
signálu Y při malém signálu $f = 5 \text{ MHz}$:				-0,15 dB.
Potlačení CMR pro $U_{13} = 1,6 V$, $f = 1 \text{ kHz}$, $U_{VST} = 1 V$:				48 dB.
Přeslechy mezi kanály $f = 10 \text{ kHz}$, $U_{5,10} = 1 V (R-Y)$:	40 dB,	43 dB.		
(B-Y):				
Chyba v dekódování $\Delta U_{3,16} = 0,3 V$, $U_{13} = 2,1 V$:				5 %.
Nelineární zkreslení v modrém kanále při $U_5 = 8,2 V$, $U_2 = 6,9 V$,				
$U_B = 13 V$, $\Delta U_{5(1)} = -2,5 V$, $\Delta U_{5(2)} = -1 V$:				10 %.
Vyklikovací impuls při zatemnění $U_6 = 0,55 V$, $U_{ZAT} = 10 V$:				-3,9 V.
Doba nárůstu impulsu v kanálech barev při $U_{VST} = 1 V$, $t_D = 20 \text{ ns}$, $t_r = t_f = 80 \text{ ns}$:				80 ns.

multiplikativním směšováním je mf obrazový signál v kmitočtovém rozsahu 33,4 až 38,9 MHz násoben signálem obrazové nosné, získaným omezovačem. Nosnou obrazu získáme z obrazového mf signálu. Omezovač (T_{23}, T_{24}) má v kolektorech tranzistorů laděný obvod, naladený na nosnou obrazu (vývody 8, 9). Obnovená nosná je přes emitorové sledovače T_{40}, T_{41} převedena jako spínací napětí do demodulátoru T_{27} až T_{30} . Na druhý vstup multiplikativního směšovače T_{21}, T_{22} je z obrazového mf zesilovače přiveden obrazový mf signál. Při násobení obou signálů dostaneme na výstupu jen produkty směšování, nikoli vstupní signál, jak je to obvyklé

u diodového kruhového směšovače. Pro násobení signálů platí

$$\begin{aligned} U_1 \sin \omega t (U_2 \sin \omega t + U_3 \sin \Omega t) = \\ = U_1 U_2 \sin^2 \omega t + U_1 U_3 \sin \omega t \sin \Omega t = \\ = U_1 U_2 \left(\frac{1}{2} - \frac{1}{2} \cos 2\omega t \right) + \frac{1}{2} U_1 U_3 \cdot \\ \cdot [\cos(\omega - \Omega)t - \cos(\omega + \Omega)t], \end{aligned}$$

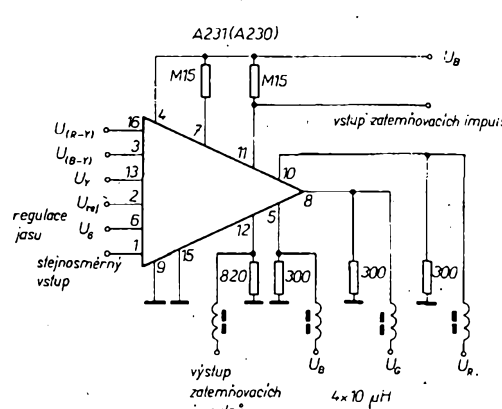
kde

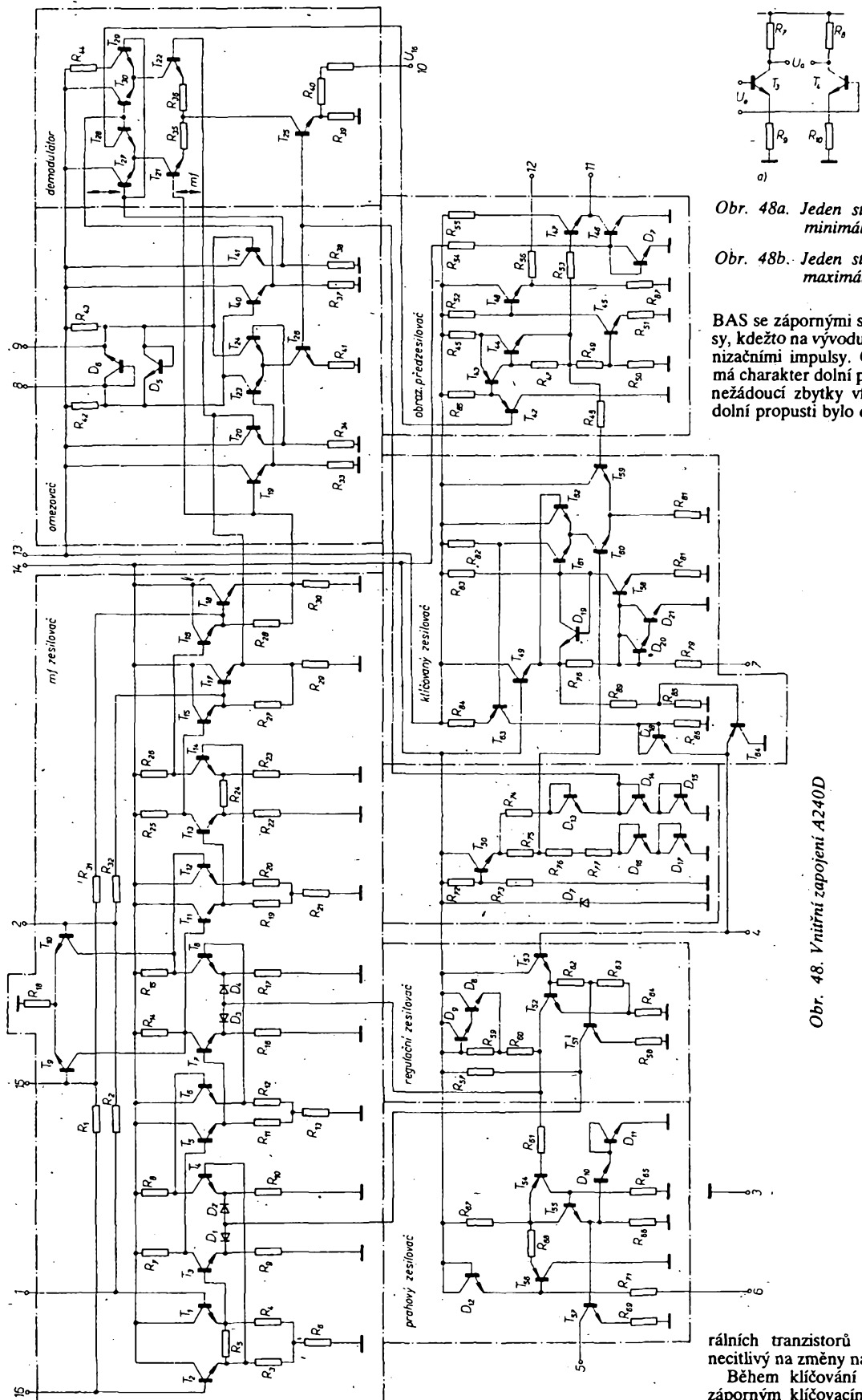
$U_1 \sin \omega t$ je regenerovaná nosná obrazu,
 $U_2 \sin \Omega t$ nosná obrazu v mf signálu,
 $U_3 \sin \Omega t$ signálny postranní pásem obrazové mf.

Ze vztahu vyplývá, že při multiplikativním směšování regenerované nosné s nosnou obrazu obsaženou v mf signálu vnikne stejnossměrná složka $U_1 U_2 / 2$ a smíseným obnovené nosné s postranními pásmi mf obrazu obrazový signál 1/2 [$U_1 U_3 \cos(\omega + \Omega)t$]. Další složky 1/2 ($U_1 U_2 \cos 2\omega t$) a

$$1/2 [U_1 U_3 \cos(\omega - \Omega)t]$$

jsou v pásmu dvojnásobku nosného kmitočtu, budou potlačeny v obrazovém předzesilovači, zapojeném jako dolní propust. Nosná by se tedy teoreticky neměla objevit na výstupu. Velké potlačení nosné zlepšuje stabilitu zapojení. V praxi

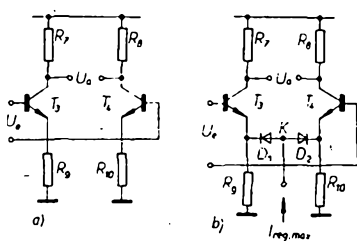




nemůžeme vyloučit malé zbytky nosné, které vznikají kapacitními přeslechy a malou nesymetrií multiplikátoru. Pro úplnost je třeba poznamenat, že obnovená nosná při silně přebuzeném demodulátoru (T_{27} až T_{30}) nemá

tvar sinusovky, nýbrž obdélníku s opakovacím kmitočtem ω , takže do rovnice je nutno dosadit Fourierův rozvoj. Při úplném výpočtu budou tedy na výstupu produkty směšování mf signálu s lichými harmonickými nosnými. Tyto produkty jsou však rovněž potlačeny v obrazovém předzesilovači.

Obrazový předzesilovač zesílí výstupní demodulovaný signál, který je vyveden na vývody 11 a 12-IO. Na výstupu 11 je signál



Obr. 48a. Jeden stupeň mf zasilovače při minimálním zesílení

Obr. 48b. Jeden stupeň mf zasilovače při maximálním zesílení

BAS se zápornými synchronizačními impulsy, kdežto na vývodu 12 s kladnými synchronizačními impulsy. Obrazový předzesilovač má charakter dolní propusti, která potlačuje nežádoucí zbytky v frekvenci. Charakteru dolní propusti bylo dosaženo použitím late-

Obr. 48. Vnitřní zapojení A240D

rálních tranzistorů p-n-p. Výstup 11 je nescitlivý na změny napájecího napětí.

Během klíčování klíčovacího zasilovače záporným klíčovacím impulsem na vývodu 7 ($U_7 = -1,5$ až 5 V) je napětí na výstupu 11 porovnáváno s napětím vnitřního stabilizátoru. Napětí na vývodu 11 je během klíčování klíčovacího zasilovače asi 2 V. Vytvořené regulační napětí je vedené na vývod 4 IO a v době mezi dvěma klíčovacími impulsy je „drženo“ obvodem s časovou konstantou, připojeným na vývod 4 (62 k Ω , 4,7 μ F).

Regulační zasilovač určuje regulační proud diodami v mf zasilovači; ten je nastaven tak, že se nejdříve reguluje druhý stupeň

mf zesilovače a pak první stupeň. Nakonec prahový zesilovač otevře tranzistor, jehož kolektor je vyveden na vývod 5. Z něho můžeme odebrat regulační proud 9 mA pro vstupní díl. Bod nasazení regulace můžeme řídit potenciometrem zapojeným mezi vývod 6 a zem.

Vnitřní stabilizátor napětí napájí všechny obvody v IO. Napětí je 6 V a je stabilizováno Zenerovou diodou, vyvedenou na vývod 14 a 3 (zem). Proud přiváděný na vývod 14 ze zdroje musí být 40 mA (nesmí být větší než 50 mA), jinak by se zničila Zenerova dioda a tím i celý integrovaný obvod. Proudem 40 mA je určen i odpor mezi vývody 13 a 14. Rovněž krátkodobé proudové špičky, jako např. vybití elektrolytického kondenzátoru, krátkodobý zkrat na napájecím vodiči apod. vedou ke zničení IO. Při měření je nutné vyloučit proudové špičky mezi vývody 13 a 14! Zapojení měřicího obvodu je na obr. 49, kde je doporučena deska s plošnými spoji. Zvláštností zapojení je indukční přívod „země“ k IO a dělený výstupní napětí pro přizpůsobení na kabel 50 Ω. Malá indukčnost asi 200 nH (feritová perla, navylečená na drát) zmenšuje rušivá napěti (při použití objímky) v oblasti malých vstupních napěti. Bez této indukčnosti se zhorší odstup mezi užitečným a rušivým signálem. (Při zapojení IO se tato indukčnost nemusí použít.)

Přizpůsobení výstupu dlečtem napětí předpokládá použití kabelu 50 Ω s co nejmenší kapacitou, jinak může dojít ke smyčkám a vzájemné vazbě výstupních signálů. Při měření proudu odebíraného ze zdroje I_{13} musíme tyto děliče odpojit.

Z toho, co bylo řečeno, vyplývá, že pro mf zesilovač s tímto IO (vzhledem k jeho velké-

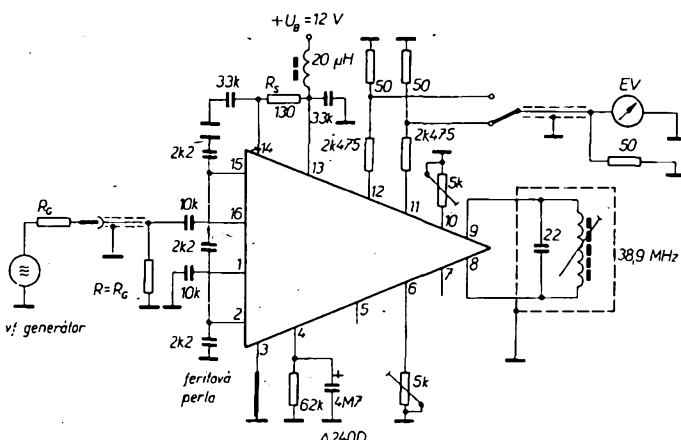
Tab. 14. Parametry A240D

Mezní údaje	
Napájecí napětí:	15 V.
Odebíraný proud:	50 mA.
Napětí na vývodu 5 při $U_{4,6} = 0$:	15 V.
Proud na obrazových výstupech $I_{11/3}, I_{12/3}$:	5 mA.
$ I < 1 \text{ až } 3 \text{ V.}$	30 mA.
Napětí na vývodu 10:	-1 až +3 V.
Amplituda klikovacího impulsu:	-1,5 až -5 V.
Ztrátový výkon při 25 °C:	700 mW.
Teplota přechodu:	125 °C.
Provozní teplota:	-10 až +55 °C.
Statické údaje při 25 °C, $U_B = 12 \text{ V}, R_s = 130 \Omega$	
Odebíraný proud: $I_{13}(U_{11} = 5,5 \text{ V})$:	21, max. 25 mA.
Stabilizované napětí ($I_{14} = 40 \text{ mA}$):	6, max. 6,4 V.
Ss napětí na obrazových výstupech U_{11}:	min. 4,8, typ. 5,5 V;
$\text{při } U_{\text{vst}} = 0, U_{11} = 5,5 \pm 0,1 \text{ V}, U_{12}:$	5,4, max. 7 V.
Změna výstup. napětí U_{11} ($U_B = \pm 10 \%$):	105 mV.
Dynamické údaje při 25 °C, $U_B = 12 \text{ V}, R_s = 130 \Omega, U_{11} = 5,5 \text{ V}, f_n = 38,9 \text{ MHz}, f_m = 15 \text{ kHz}, m_n = 0,82, U_{\text{vst}} = 20 \text{ mV}$	
Ss úroveň synchr. $m_n = 0, U_{11}:$	min. 1,8, typ. 2,1, max. 2,2 V.
Regul. proud pro vstup-díl I_5:	min. 3 mA.
AVC, ΔU_{mz}:	min. 50 dB.
Amplituda obrazového signálu $U_{11}:$	min. 2,6, typ. 3,2, max. 4,2 V.
$U_{12}:$	min. 2, typ. 3,1 V.
Mf napětí zvuku na obrazových výstupech při $U_{\text{vst}} = 0,63 \text{ mV}, f_n = 32,4 \text{ MHz}, m_{nz} = 0, f_z = 6,5 \text{ MHz}, U_{\text{mf0}}/U_{\text{mfz}}:$	
$U_{\text{mfz}}:$	30 dB.
$U_{\text{mfz12}}:$	30, max. 54 mV,
Minimální vstup. napětí ($U_{11} = 2,6 \text{ V}$):	30 mV.
Odstup mezi nosnou barvou a zvuku:	190, max. 350 μV.
Šířka obrazového kanálu:	42 dB.
Zbytky mf napětí na výstupech při $f = 38,9 \text{ MHz}, U_{11}:$	7, max. 7,6 dB.
$U_{12}^*:$	9 mV.
$f = 77,8 \text{ MHz}, U_{11}:$	4 mV.
$U_{12}^*:$	35 mV.
	13 mV.

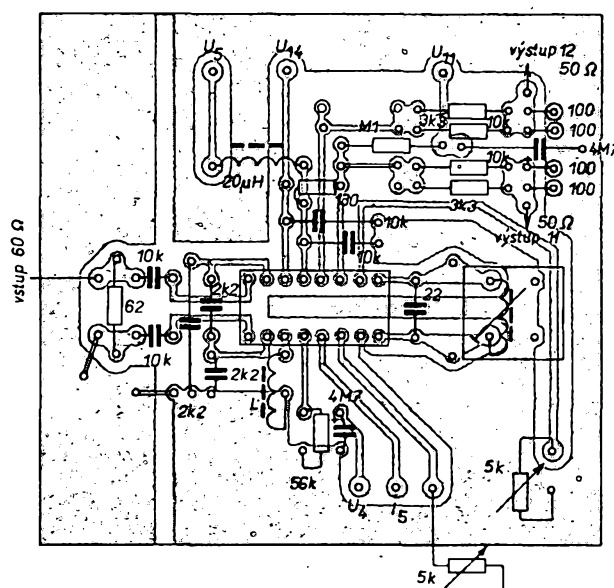
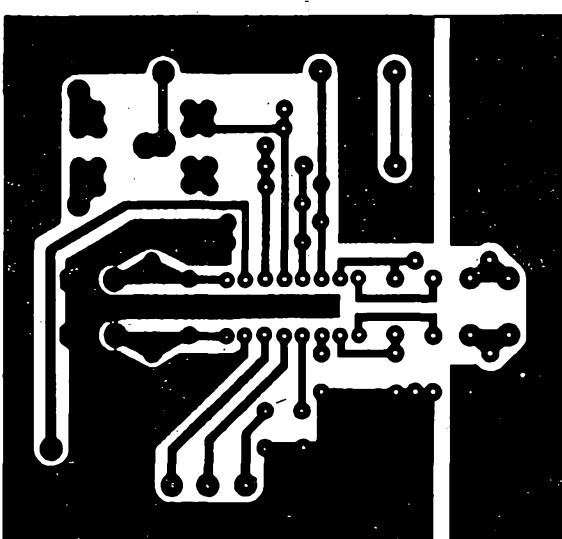
mu zesílení na malé ploše) je nutno navrhovat desku s plošnými spoji stejným způsobem, jako při návrhu desky pro vysoké kmitočty.

Parametry A240D jsou v tab. 14.

Při praktickém použití se mezi vstupní díl a A240D zapojuje předesilovač a filtr. Na výstup A240D se připojuje koncový obrazový zesilovač, u barevných TV přijímačů dekodér barev a mf zesilovač zvuku. A240D je používán v nových černobílých i barevných TV přijímačích TESLA Orava. Zapojení s A240D bylo použito i v přijímači Chromat 1060 (viz Radio, Fernsehen, Elektronik č. 9/1977) v NDR.



Obr. 49. Měřicí obvod pro A240D a doporučená deska s plošnými spoji (O216)



Integrovaný obvod A244D

Integrovaný obvod A244D je určen pro přijímače AM do kmitočtu 30 MHz. Mf signál se demoduluje germaniovou detekční diodou. A244D je v pouzdře DIP-16, provozní napětí je 4,5 až 15 V, IO je ekvivalentem TCA440 fy Valvo. S A244 můžeme splnit požadavky kladené na přijímače AM nejvyšších cenových skupin. Oproti řešení s diskrétními prvky je možno dosáhnout jednoduše lepších parametrů. Hlavními přednostmi A244D jsou:

regulovatelný vf předzesilovač s velkým vstupním odporem, multiplikativní směšovač, čtyřstupňový regulovatelný mf zesilovač, výstup pro indikátor síly pole, různé způsoby zapojení (např. oddělená regulace vf předzesilovače, vnější oscilátor).

Schéma A244D s principiálním připojením vnějších součástek a vnitřní schéma IO jsou na obr. 50.

Na obr. 51 je zapojení měřicího obvodu pro A244D. Toto zapojení je navrženo tak, aby bylo dosaženo obvyklých parametrů. Regulace vf předzesilovače (vývod 3) je spojena s výstupem pro indikátor síly pole (vývod 10). Jako mf filtr je použit jednoduchý laděný obvod, který je navržen tak, aby svými přenosovými parametry odpovídalo filtru soustředné selektivity. Přenos napětí mezi vývodem 15 a 12 je -18 dB, takže je dosaženo dobrých přenosových vlastností v mf i vf části při zachování dobré citlivosti. Dosažené parametry pro zapojení podle obr. 51 jsou v tab. 15. V tabulce jsou i další parametry potřebné pro návrh zapojení s tímto IO. S A244D je možno zpracovávat vstupní signály v rozsahu 10 µV až 1,5 V, tj. asi 103 dB.

Tab. 15. Parametry A244D

Mezní údaje	
Napajecí napětí:	4,5 až 15 V.
Vstupní napětí:	max. 2 V.
Rozsah provozních teplot:	-10 až +70 °C.
Jmenovité údaje při 25 ± 5 °C, $U_B = 9 V$, $f_{vf} = 1 \text{ MHz}$, $f_{mf} = 455 \text{ kHz}$, $f_m = 1 \text{ kHz}$, $m = 0,8$	
Vf část	
Vstupní odpor pro $U_3 = 0 \text{ V}$:	3,4 kΩ, $U_3 = 0,4 \text{ V}$: 4,6 kΩ.
Výstupní vodivost směšovače:	2 µS.
Výstupní kapacita směšovače:	4,6 pF.
Strmost při $U_3 = 0 \text{ V}$, $U_{osc} = 1 \text{ V}$:	30 ms.
Mf část	
Nasazení AVC při U_{yst} :	130 µV.
Rozsah regulace AVC pro ΔU_{yt} = 10 dB:	60 dB.
Maximální vstupní napětí při $U_9 = 0 \text{ V}$:	2,5 kΩ, $U_9 = 0,4 \text{ V}$: 3 kΩ.
Výstupní vodivost:	16,6 µS.
Výstupní kapacita:	9 pF.
Celý přijímač	
Odebraný proud ($U_{yst} = 0$, $U_B = 4,5 \text{ V}$):	8,5 mA, $U_B = 9 \text{ V}$: 11,4, max. 16 mA, $U_B = 15 \text{ V}$: 13,9 mA.
Nasazení AVC při U_{yst} :	8 µV.
Rozsah regulace pro ΔU_{yt} = 10 dB:	90 dB.
Odstup signál-šum pro $U_{yst} = 20 \mu\text{V}$:	min. 24, typ. 31 dB.
Výstupní napětí nf pro $U_{yst} = 20 \mu\text{V}$:	min. 60, typ. 140 mV, $U_{yst} = 500 \mu\text{V}$: min. 100, typ. 330, max. 560 mV.
Činitel zkreslení pro $U_{yst} = 30 \text{ mV}$:	2,8, max. 8 %.
$U_{yst} = 500 \text{ mV}$: 4,5, max. 10 %.	
Vstupní napětí pro $s/\delta = 20 \text{ dB}$, $R_G = 30 \Omega$,	12,4 µV.
$m = 0,3$:	1,5 V.
Vstupní napětí pro $k = 10 \%$:	

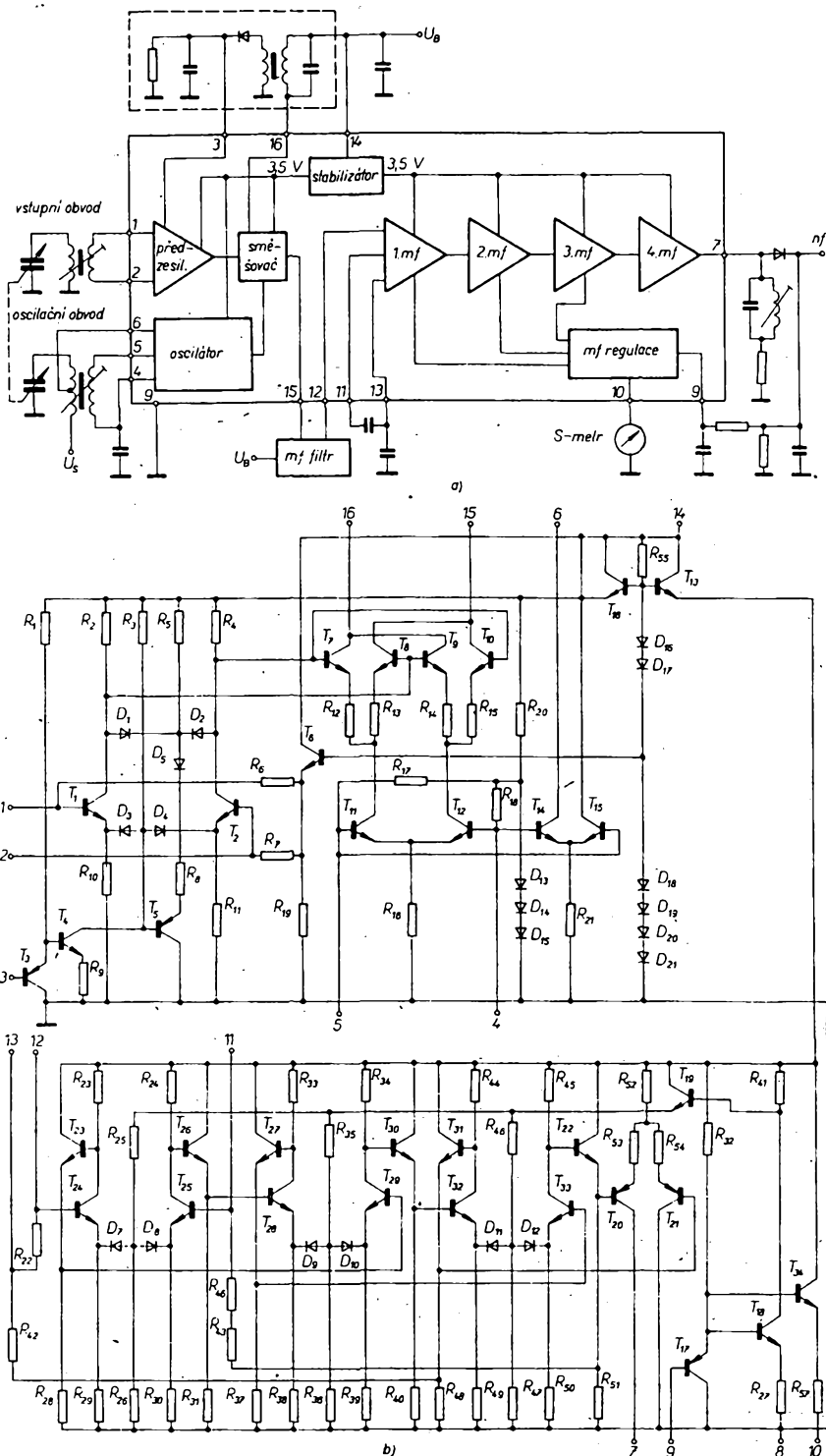
U přijímače osazeného tímto IO je možno dosáhnout vynikajících parametrů, zejména jsou-li využity následující vlastnosti:
– velký vstupní odpor, který je větší než u zapojení s diskrétními prvky (umožňuje zvětšit provozní činitel jakosti vstupního obvodu),

- symetrický směšovač (je dosaženo velkého potlačení mf kmitočtu),
- velký odstup signál-šum (při vstupním napětí větším než 1 mV je 60 dB),
- počátek regulace AVC při malém napětí a její velký rozsah zaručují konstantní výstupní napětí v širokém rozsahu vstupních napětí, což je výhodné zejména v autopřijímačích,
- vnitřní stabilizátor (umožňuje používat napájecí napětí 4,5 až 15 V a při použití

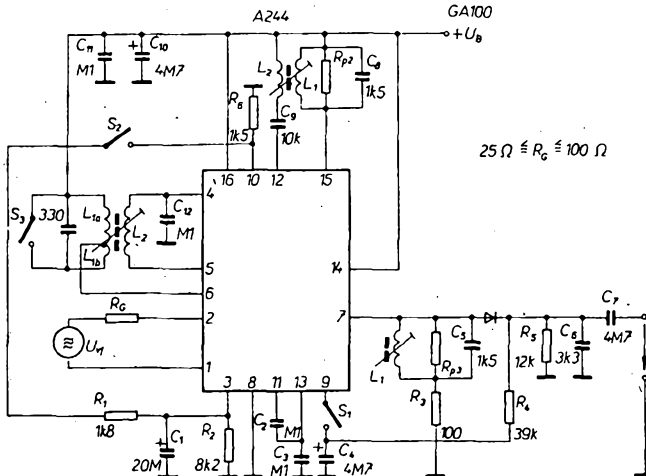
v přijímači napájeném z baterií dostaneme konstantní parametry),

– na vývodech vyvedené signály (výstup směšovače, mf vstup a výstup, dva regulační okruhy) dovolují rozsáhlé úpravy vnějších obvodů, tzn. můžeme mnohé úlohy z oblasti příjmu realizovat při zachování jakosti obvodů s A244D.

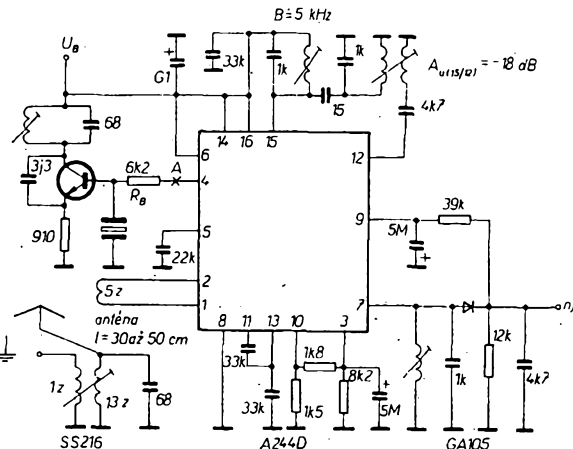
Uživatel tohoto IO není vázán jen na jeho hlavní funkci, nýbrž může jeho parametry zlepšit použitím regulačního vnějšího zesilovače, aby bylo dosaženo konstantních výstupních veličin, zejména při použití IO jako aktivního demodulátoru při přijmu telegrafního signálu nebo signálu s jedním postranním pásmem. Dále lze vlastnosti zapojení s A244D zlepšit použitím vnějšího oscilátoru (při požadavku velké stability oscilačního kmitočtu).



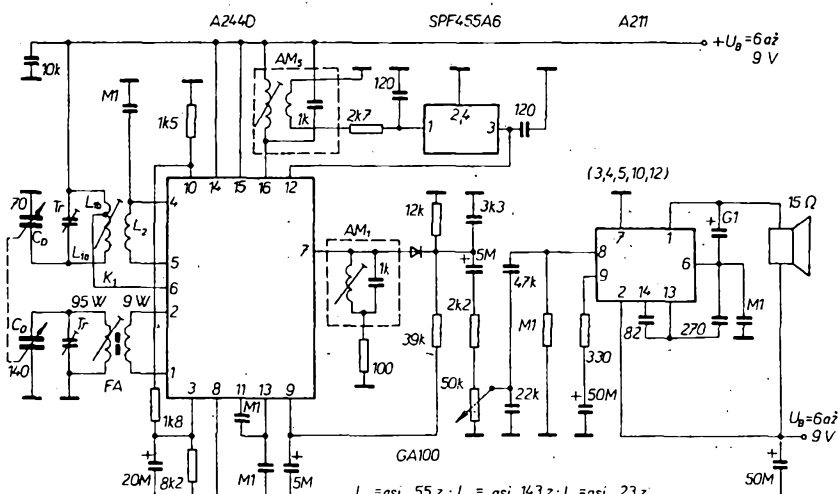
Obr. 50. Blokové a vnitřní schéma A244D



Obr. 51. Měřicí obvod pro A244D



Obr. 53. Přijímač pro signály v pásmu 27 MHz



Obr. 52. Jednoduchý přijímač s A244D a A211D

Problémy, které mohou vzniknout při zapojení na desce s plošnými spoji i přes velké zesílení a směšování, jsou zanedbatelné, takže ve většině případů není nutno modul s A244D stínit. Musíme pouze dbát na to, aby „prostорově“ byla oddělena feritová anténa od oscilační čívky.

Na obr. 52 je zapojení jednoduchého přijímače (s A244D a A211D), který vykazuje dobré vlastnosti. Citlivost je silně závislá na efektivní výšce použité feritové antény. Selektivita s jedním laděným obvodem a piezokeramickým filtrem je pro běžné účely vyhovující. Citlivost přijímače při $f = 1 \text{ MHz}$ a $m = 0,3$ je $800 \mu\text{V}/\text{m}$ pro poměr signál-šum 20 dB a $550 \mu\text{V}/\text{m}$ pro $P_{\text{vys}} = 50 \text{ mW}$. Praktická zkouška tohoto přijímače ukázala, že i v místě, v němž je silný místní vysílač, byl jeho signál přijímán nezkršleně.

Na obr. 53 je zapojení přijímače pro dálkové ovládání modelů na kmotru 27,12 MHz, který je velmi spolehlivý a který má dobré přijímové vlastnosti a malý počet vnějších součástek. Při použití vnějšího oscilátoru je jeho stabilita závislá na použitém krystalu. Pracovní bod tranzistoru a oscilační napětí 150 mV v bodech A se nastaví odporem R_B . Provoz s vnitřním oscilátorem je rovněž možný, avšak návrh obvodových prvků je kritický. Selektivita, která je v daném zapojení získána pásmovou propustí, může být rovněž měněna. Při tom je však mít na paměti, že útlum mezi-vývody 15 a 12 smí být jen 18 dB , aby bylo dosaženo optimálních pracovních podmínek, na nichž závisí jednak citlivost a jednak regulační vlastnosti.

Protože IO má na kmotru 27 MHz stejný šum jako přijímač s diskrétními prvky, bude

vývod 4 (násobení kmotru f_{m} stejnosměrným napětím). Laděné obvody jsou navinuty na feritových hrnečcích, aby bylo dosaženo co největší selektivity. Vzhledem k velkému zesílení mezi vývody 1, 2 a 7 (114 dB) a malému vstupnímu signálu je výstupní šum relativně velký, takže přímé měření kmotru je nepřesné a pro porovnání s druhým kmotrem je nutné použít osciloskop. Dosažená stabilita je 10^{-9} , šířka pásmá 2 kHz, potlačení kmotru dlouhovlnného vysílače 185 kHz je 75 dB, citlivost 1,5 μV . Uvedený přijímač je po úpravách laděných obvodů možno použít i pro kmotro 50 kHz (časový signál OMA).

A244 je možné použít i v krátkovlnném přijímači s dvojím směšováním jako druhý mf zesilovač. První mf kmotet 1,6 MHz zaručuje dobrou selektivitu a velké potlačení zrcadel. Tento obvod doplněný demodulátorem CW a SSB je vhodný do komunikačních přijímačů.

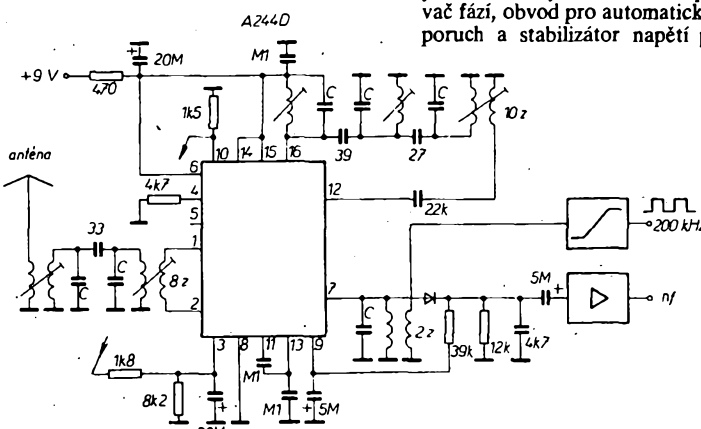
S krystalovým oscilátorem a aktivním demodulátorem můžeme vytvořit přijímač signálů až do 30 MHz.

A244D můžeme použít také jako měřič síly pole signálu. Musíme však definovat vstupní obvod.

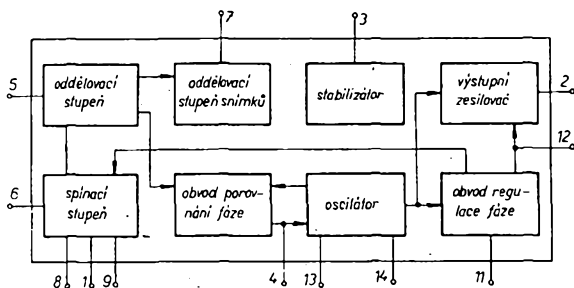
Tento IO je použit v přijímači Toccata, Carat S i v nových přijímačích TESLA Bratislava.

Integrovaný obvod A250D

Integrovaný obvod A250D je určen pro oddělení impulsů a rádkovou synchronizaci v televizních přijímačích s tranzistorem v rádkovém rozkladu. Kromě regulovaného rádkového oscilátoru a oddělovacího stupně s vylíčováním rušením jsou v tomto obvodu ještě snímkový oddělovací stupeň, porovnávač fází, obvod pro automatické vylíčování poruch a stabilizátor napětí pro napájení



Obr. 54. Přímozesilující přijímač pro signály o kmotru 200 kHz

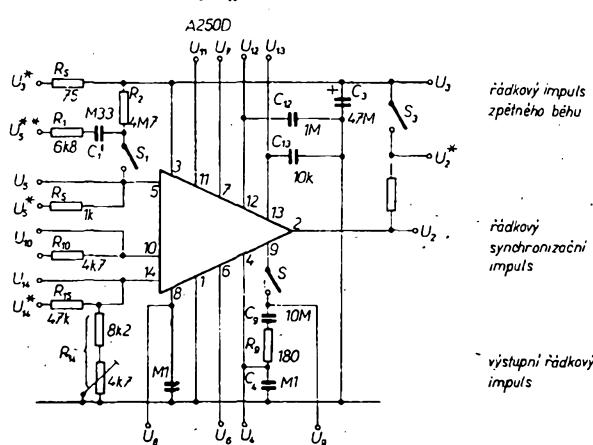


Obr. 55. Blokové schéma a základní zapojení A250D

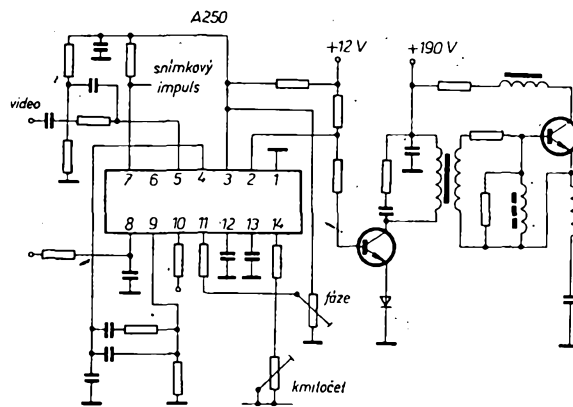
celého obvodu. Kromě rádkových impulsů dodává ještě snímkové synchronizační impulsy pro řízení snímkového oscilátoru. Porovnávač fáze je přepínatelný při připojeném obrazovém magnetofonu. A250D je ekvivalentem TBA950 fy ITT.

Na obr. 55 je blokové schéma A250D s principiálním připojením vnějších součástek. Úplný televizní signál z obrazového zesilovače televizního přijímače je přes obvody R/C přiveden na vývod 5, z kterého jsou odděleny synchronizační impulsy, poruchové signály a šumy derivačními a integračními obvody. Integraci a omezení se ze směsi synchronizačních impulsů (vývod 6) získá snímkový synchronizační impuls. V porovnávači fáze se rádkový synchronizační impuls porovnává s „pílovým“ oscilátoru a získané regulační napětí je vystříleno kondenzátorem na vývod 4. Tímto regulačním napětím se řídí kmitočet oscilátoru. Strmost obvodu pro porovnání fáze ovlivňuje záhytný a přidržovací rozsah a ten omezuje rozsah synchronizace na ± 800 Hz. Ve spinači se při synchronizaci mezi synchronizačními rádkovými impulsy a impulsom zpětného běhu přepíná časová konstanta filtráčního článku na vývod 4, takže během synchronizace se přidržovací rozsah užívá na 50 Hz a tím se zvětší odolnost proti poruchám. Při připojeném dekodéru SECAM nebo PAL je nutno toto přepínání blokovat kladným impulsem přivedeným na vývod 8. Rádkový oscilátor je zapojen jako generátor „píly“ se dvěma zdroji konstantního proudu, kdy jeden kondenzátor určující kmitočet se nabíjí (vývod 13) a druhý vybíjí, takže napětí pilovitého průběhu má nelineární průběh jak při svém zvětšování, tak při zmenšování. Doba nabíjení a vybíjení je určena odporem na vývodu 14. Pro kmitočet oscilátoru platí

$$f_{osc} = \frac{K}{R_{14}C_{13}}$$



Obr. 56. Měřicí obvod pro A250D



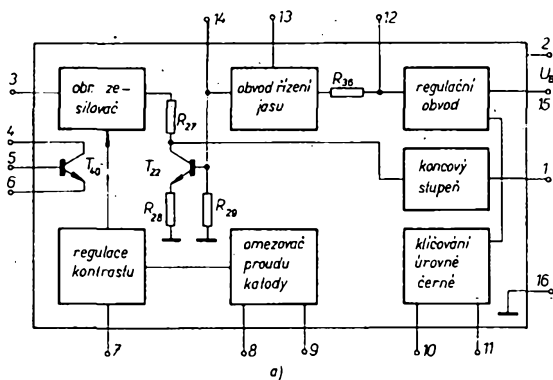
Tab. 16. Parametry A250D

Mezní údaje

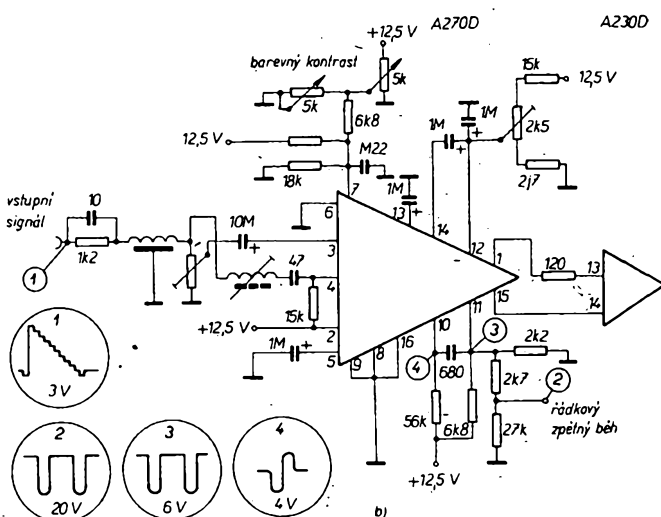
Napájecí napětí:	11 V.
Odebíraný proud:	50 mA.
Napětí na vývodu 5:	-1 až -6 V.
Vstupní proud na vývodu 5:	2 mA.
Vstupní napětí na vývodu 10:	-5 V.
Proud rádkového zpětného běhu:	0,5 až 5 mA.
Přepínací proud na vývodu 8:	2 až 5 mA.
Teplota přechodu:	125 °C.
Provozní teplota:	-10 až +55 °C.
Statické údaje při 25-5 °C, $U_B = 12$ V, $R_t = 75 \Omega$, $U_{S,10} = 0$ V, $I_{11} = 0$, S_1, S_3 nejsou sepnuty	min. 50 mA.
Odebíraný proud na vývodu 3 ($U_{10} = 0,9$ V):	max. 50 mA.
Amplituda snímkového synchronizačního impulu ($U_5 = 0,9$ V):	min. 8 V.
Zbytkové napětí na vývodu 2 ($U_{13} = 0$, $I_2 = 20$ mA):	max. 550 mV.
Kmitočet nesynchron. oscilátoru $C_{13}R_{14} = 105 \mu s$, S_3 sepnut:	14 062 až 17 188 Hz.
Strmost nastavení kmitočtu $U_{14} = 0$ až U_3 , S_3 sepnut:	min. 620 Hz/V.
Teplotní činitel oscilátoru (15 až 55 °C):	-320 až $+80 \cdot 10^{-6}$ /K.
Dynamické údaje při 25-5 °C, $U_B = 12$ V, $R_t = 75 \Omega$, $U_{10} = 0$, $I_{11} = 0$, $U_{14} = 0$ až U_3 , $f_0 = 15 625$ Hz, $U_{13,5} = 1$ V _m , S_1, S_2, S_3 sepnuty	Perioda rádkového synchr. imp.: 23 až 30 μs .
Perioda snímkového synchr. imp.: 150 až 400 μs .	Perioda rádkového synchr. imp.: 23 až 30 μs .
Fázový posuv mezi rádkovým impulsem synchronizačním a zpětného běhu při $U_{10} = 10$ V, $t_{10} = 12 \mu s$, $U_{11} = 0$ V:	max. 3 μs .
$U_{11} = U_3$:	min. 6 μs .
Rozsah dření + f_0 :	625 Hz,
S_2 otevřen, $-f_0$:	625 až 1000 Hz.

A270D zesiluje jasový signál Y, řídí nastavení kontrastu (lineární regulace zesílení), nastavuje jas nebo ovládá nastavení jasu ve spojitosti s A230D, A231D (klíčováním úrovně černé) nezávisle na obsahu obrazu, na nastavení kontrastu a změnách teploty a omezuje katodový proud obrazovky. Ve spinači je samostatný spinační tranzistor, který při přechodu do černobílého k barevnému příjmu odpojuje blokování nosné barvy.

Blokové schéma A270D je na obr. 57a. Na vývod 3 je přes kondenzátor přiveden obrazový signál. V obvodu obrazového zesilovače se zesílí signál Y v závislosti na napětí pro regulaci kontrastu, které je přivedeno na vývod 7. Kruhové zapojení dvou rozdílových zesilovačů v obvodu obrazového zesilovače brání tomu, aby změna zesílení (regulace kontrastu) způsobila posuv střední úrovně signálu na odporu R_{27} , a tím i změnu jasu. Lineární závislost mezi změnou napětí pro regulaci kontrastu a zesílením obrazového signálu je řízena dvouemitorovým tranzistorem v obvodu regulace kontrastu, který vyhodnocuje změny kolektorového proudu rozdílového zesilovače na vývodu 7 a přes



Obr. 57. Integrovaný obvod A270D, blokové schéma (a) a praktické zapojení s průběhy napětí (b)



Tab. 17. Parametry A270D

Mezní údaje	
Napájecí napětí:	
Napětí kolektor-emitor T_{40} :	15,5 V.
Napětí kolektor-substrát T_{40} :	13,2 V.
Napětí emitor-báze T_{40} :	15,5 V.
Kolektorový proud T_{40} :	5 V.
Proud báze T_{40} :	10 mA.
Ztrátový výkon T_{40} :	2 mA.
Napětí na vývodu 8:	20 mW.
Napětí na vývodu 9:	2 až +4 V.
Napětí na vývodu 10:	-2 až +4 V.
Napětí na vývodu 11:	-5 až +6 V.
Napětí na vývodu 15 ($R_{15,16} = 5,6 \text{ k}\Omega$):	-5 až +6 V.
Napětí signálu na vývodu 3 ($U_2 = 12 \text{ V}$):	0 až +5 V.
($U_2 = 15 \text{ V}$):	2 V. 2 V.
Výstupní proud:	20 mA.
Ztrátový výkon při 25 °C:	700 mW.
Provozní teplota:	-10 až +55 °C.
Jmenovité údaje při 25 °C, $U_B = 12 \text{ V}$, $U_9 = 2 \text{ V}$, $U_7 = 3,9 \text{ V}$, $U_{10} = 1 \text{ V}$, $U_{11} = 7 \text{ V}$	
$f_{11} = 15 \text{ kHz}$, $t_{p11} = 12 \mu\text{s}$	
Odběr proudu ($U_{12} = 1,2 \text{ V}$, $I_3 = I_8 = 0$):	28 až 36 mA.
Napěťové zesílení ($U_7 = 3,2 \text{ V}$, $U_9 = 1,8 \text{ V}$, $\Delta U_3 = \pm 3,2 \text{ na } 3,6 \text{ V}$):	min 2, typ 2,4, max 2,8.
Saturační napětí T_{40} ($I_5 = 0,2 \text{ mA}$, $I_4 = 0,8 \text{ mA}$):	57 až 120 mV.
Rozsah řízení černé ($I_3 = I_8 = 0$, $U_{12} = 12 \text{ V}$):	0,4 až 0,5 V.
($U_{12} = 4,2 \text{ V}$):	min. 3, typ. 3,5 V.
Odcylka úrovni černé ($I_8 = 0$, $U_{12} = 2 \text{ V}$, $U_3 z 2,8 \text{ na } 3,6 \text{ V}$):	7,9 až 20 mV.
Šířka pásma ($I_8 = 0$, $U_7 = 3,2 \text{ V}$, $U_{vst} = 400 \text{ mV}$, $A_u = -3 \text{ dB}$):	mln. 6,5 MHz.
$A_u = -4 \text{ dB}$:	mln. 7,5 MHz.
Nelinearity výstupního signálu ($I_8 = 0$, $U_{vst} = 0,8 \text{ V}$, $\Delta U_3 z 3,2 \text{ na } 3,6 \text{ V}$ a $U_3 z 2,8 \text{ na } 3,2 \text{ V}$):	0,6 až 5 %.
$U_{7/1} = 3,2 \text{ V}$, $U_{7/2} = 2,45 \text{ V}$, $U_{7/3} = 1,7 \text{ V}$, skok $U_3 z 3,2 \text{ na } 4 \text{ V}$:	2,2 až 10 %.
Rozsah regulace kontrastu ($I_8 = 0$, $U_7 = 1,2 \text{ V}$, $U_{7/2} = 3,2 \text{ V}$, skok $U_3 z 3,2 \text{ na } 4 \text{ V}$)	20 až 33 dB.
Výstupní napětí pro omezení proudu katody ($U_7 = 3,2 \text{ V}$, $U_8 = 2,1 \text{ V}$, skok $U_3 z 3,2 \text{ na } 4 \text{ V}$):	16 až 160 mV.

emitorové sledovače řídí rozdílový zesilovač obrazu. Od výstupu obrazového zesilovače přes odpor R_{27} až po výstupní stupeň se signál Y již nezesiluje. Výstupní zesilovač tvoří dva emitorové sledovače, které zajíšťují malou výstupní impedanci IO.

Jas se ovládá tranzistorem T_{22} . Regulační napětí, které se přivádí na vývod 12, řídí dvojici rozdílových zesilovačů v Darlingtonovém zapojení, z jejichž výstupu se nastavuje na bázi T_{22} požadovaný pracovní bod a tím na kolektoru tohoto tranzistoru požadovaná úroveň signálu. Ke druhému výstupu tohoto rozdílového zesilovače na vývodu 13 není přivedeno žádné stejnosměrné napětí, nýbrž okamžitá úroveň obrazového signálu po dobu úrovni černé, která je zapamatována kondenzátorem připojeným na vývod 13. Změnil se při určitém nastavení jasu úroveň černé, pak se tranzistorem T_{22} posune pracovní bod výstupního zesilovače, takže úroveň černé bude mít velikost, která odpovídá nastavení na vývodu 12. Tento způsob regulačce se nazývá klíčováním úrovni černé,

neboť úroveň černé je konstantní a regulačce kontrastu vytváří pouze změnu amplitudy výstupního signálu vztázenou k této úrovni černé. Napětí na paměťovém kondenzátoru na vývodu 13 se porovnává během každého zpětného běhu rádeček s úrovni černé v zesilo-



vačí impulsů, který je v obvodu klíčování úrovni černé, na jehož výstupy (vývody 10, 11) jsou přivedeny rádkové impulsy zpětného běhu. Na výstupu impulsního zesilovače vznikají během úrovni černé klíčovací impulsy, které řídí dva antiparalelně zapojené tranzistory v klíčovacím obvodu. Přes vývod 15 je do kolektoru nebo emitoru těchto tranzistorů po dobu úrovni černé přiváděno napětí úměrné úrovni černé a paměťový kondenzátor se buď dobije nebo vybijí, liši-li se napětí na něm od úrovni černé.

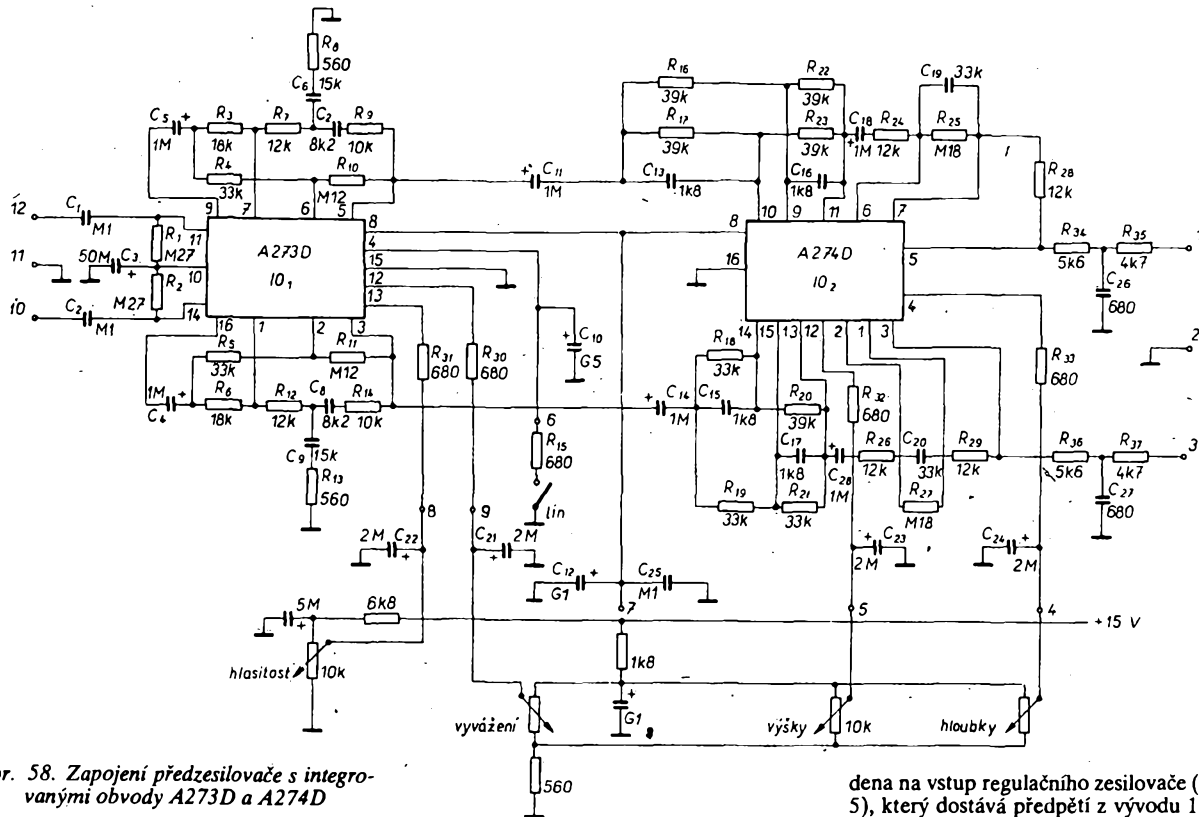
Proud katodami se omezuje připojováním rozdílového zesilovače v obvodu omezení proudu paprsků, tím se zmenší napětí pro regulaci kontrastu na vývodu 7 i zesílení obrazového zesilovače. Při regulačovaní úrovni černé to odpovídá omezení úrovni černé, tj. omezení katodového proudu obrazovky. Parametry A270D jsou v tab. 17. Praktické zapojení je na obr. 57b.

Integrované obvody A273, A274

Integrované obvody A273D a A274D jsou elektronické „potenciometry“, určené pro zařízení Hi-Fi. A273 je elektronický regulátor hlasitosti a vývážení, vybavený obvodem pro připojování fyziologické regulace hlasitosti. A274D je elektronický regulátor basu a výšek. Použití těchto IO kromě snížení počtu pasivních součástek, větší spolehlivost, lepší ekonomie při sériovém výrobě přináší ještě řadu dalších výhod, které lze jen těžko realizovat s diskrétními prvky. Mezi tyto výhody patří zejména regulace hlasitosti,

Tab. 18. Parametry A273D

Mezní údaje	
Napájecí napětí:	
Řidící napětí U_{12}, U_{13} :	18 V.
U_4 :	12 V.
Zatěžovací odpor:	3 V.
Rozsah pracovních teplot:	4,7 kΩ.
U_{vst} ($U_{vst} = 1 \text{ V}$, $f = 1 \text{ kHz}$):	-25 až +70 °C.
Jmenovité údaje při $U_B = 15 \pm 1,5 \text{ V}$	
Odběr proudu $U_{12} = U_{13} = 6 \text{ V}$:	max. 40 mA.
Činnitelský zkrácení ($U_{vst} = 1 \text{ V}$, $f = 1 \text{ kHz}$):	max. 0,5 %.
Plesechy ($U_{vst} = 1 \text{ V}$, $f = 1 \text{ kHz}$):	min. 58 dB.
Odstop cizích napětí ($U_{vst} = 100 \text{ mV}$):	min. 50 dB.
$U_{vst} = 50 \text{ mV}$, $f = 1 \text{ kHz}$:	min. 17 dB.
Zesílení ($U_{vst} = 100 \text{ mV}$, $f = 1 \text{ kHz}$, $U_{13} = 9 \text{ V}$):	min. 4 dB.
Souběh ($U_{vst} = 1 \text{ V}$, $f = 1 \text{ kHz}$, $A_u = 60 \text{ dB}$):	+6 až -6 dB.
Rozsah vývážení ($U_{vst} = 100 \text{ mV}$, $f = 1 \text{ kHz}$, $A_u = 0 \pm 2 \text{ dB}$):	+6 až -6 dB.



Obr. 58. Zapojení předzesilovače s integrovanými obvody A273D a A274D

vyvážení výšek a basů stejnosměrným napětím a odpojitelná fyziologická regulace hlasitosti. Pro regulaci potřebujeme i u kvadrofonního zařízení jen jednoduché potenciometry s lineárním průběhem, jejichž přívody se nemusí stínit. Rovněž dálkové ovládání této IO je velmi snadné. Nejsou žádné problémy se souběhem potenciometrů u vícekanálových zesilovačů.

A273D je ekvivalent TCA730 a A274 ekvivalent TCA740 fy Valvo.

Parametry IO jsou v tab. 18 a 19 a jejich základní aplikace na obr. 58. Kmitočtová korekce a její funkce byly popsány v AR B4/77.

Integrovaný obvod A281D

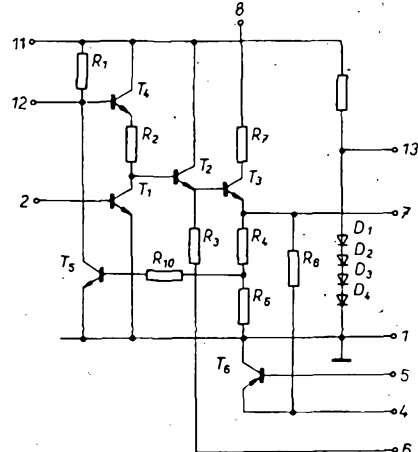
Integrovaný obvod A281D je řízený mf zesilovač AM-FM v pouzdře DIP-14, určený pro napájecí napětí 4,5 až 11 V. Tento obvod, který může nahradit diskrétní mf zesilovač, je navržen pro použití v přijíma-

čích nižší cenové skupiny a v jednoduchých radiostanicích.

Vnitřní zapojení A281D je na obr. 59a, IO je složen z těchto obvodů: vstupního zesilovače T_1 s regulací proudu a emitorového sledovače T_2 , koncového stupně T_3 s otevřeným kolektorem, obvodu pro regulaci pracovního bodu transistorů T_2 , T_3 (T_4 , T_5), případně k vyrovnaní změn způsobených změnou U_B nebo I_C transistoru T_1 , regulačního zesilovače p-n-p T_6 , stabilizátoru napájecího napětí, který je veden na vývod 13.

Na obr. 59b je zapojení měřicího obvodu s vnějšími součástkami. Měřicí obvod slouží ke kontrole parametrů A281D na kmitočtech 455 kHz a 10,7 MHz. Na výstupu IO je poměrový detektor FM a s ním v sérii detektor AM. Stejnosměrná složka z demodulátoru AM je přes filtr $RC(15 \text{ k}\Omega, 25 \mu\text{F})$, který určuje časovou konstantu AVC, přive-

dena na vstup regulačního zesilovače (vývod 5), který dostává předpětí z vývodu 13 přes odporník $150 \text{ k}\Omega$. Je nutno dbát na to, aby vazba mezi primární a sekundární stranou filtru detektora AM byla těsná, neboť jinak při velkých vstupních signálech může A281D



Tab. 19. Parametry A274D

Mezní údaje	
Napájecí napětí:	18 V.
Řidící napětí U_{12} :	12 V.
Provozní teplota:	-25 až +70 °C.
Jmenovité údaje při $U_B = 15 \pm 1,5 \text{ V}$ a 25°C	
Odběr proudu ($U_4 = U_{12} = 5,5 \text{ V}$):	max. 40 mA.
Činitel zkreslení ($U_{VST} = U_{VYST} = 1 \text{ V}, f = 2 \text{ kHz}$):	max. 0,4 %.
Přeslechy ($U_{VST} = U_{VYST} = 1 \text{ V}, f = 1 \text{ kHz}$):	min. 58 dB.
Odstup cizích napětí ($U_{VST} = 100 \text{ mV}$, pracovní $f = 1 \text{ kHz}$):	min. 54 dB.
Maximální zdůraznění ($U_{VST} = 100 \text{ mV}$, $U_4 = U_{12} = 10 \text{ V}$):	15 dB.
Maximální potlačení ($U_{VST} = 100 \text{ mV}$, $U_4 = U_{12} = 1 \text{ V}$):	15 dB.
Souběh ($U_{VST} = 100 \text{ mV}, f = 1 \text{ kHz}, A_u = 0 \text{ dB}$):	2 dB.

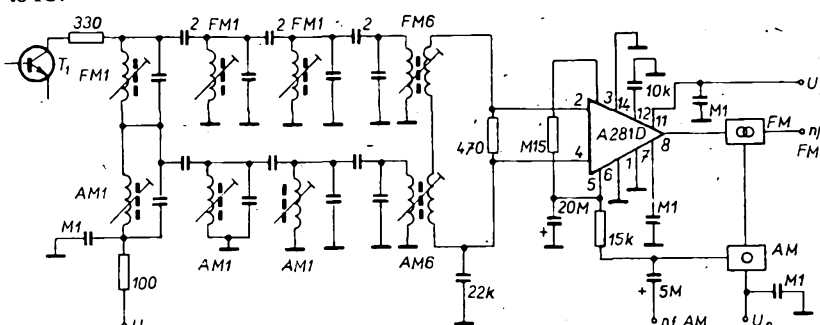
Obr. 59. Vnitřní zapojení A281D (a) a měřicí obvod (b)

Tab. 20. Parametry A281D

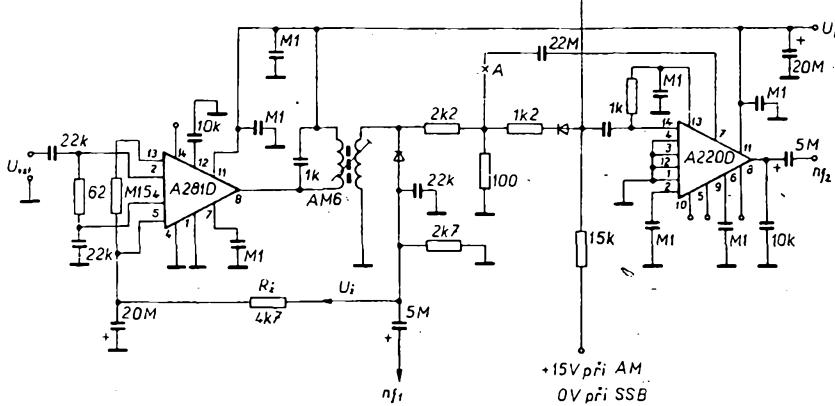
Mezní údaje	
Napájecí napětí:	11 V.
Napětí na vývodu 2:	-4 až +0,5 V.
Napětí na vývodu 5:	-0,5 až 4 V.
Proud vývodem 2:	2 mA.
Proud vývodem 5:	min. 2 mA.
Proud vývodem 13:	3 mA.
Provozní teplota:	-10 až +70 °C.
Statické údaje při $U_B = 9$ V, $f_m = 1$ kHz	
Celkový odběr proudu:	6,4 až 9 mA.
Stabilizované napětí U_{13} :	2,9 V.
Výstupní proud I_{out} :	2 mA.
Regulační proud I_S při $U_S = -110$ mV:	23 až 30 μ A.
Dynamické údaje při $f = 455$ kHz, $f_m = 1$ kHz, $m = 0,8$, $\Delta f = 25$ kHz	
Napěťový zisk při $U_{\text{vst}} = 10$ μ V, $U_R = 0$:	65 dB.
Napěťový zisk při $U_{\text{vst}} = 5$ μ V:	96 dB.
Rozsah regulace AVC:	70 dB.
Minimální regulační napětí:	7,3 μ V.
Nf výstupní napětí při $U_{\text{vst}} = 15$ μ V:	240 mV.
$U_{\text{vst}} = 15$ mV:	510 mV.
Řidicí napětí při $U_{\text{vst}} = 15$ μ V:	380 mV.
Max. vstupní napětí při $k = 10\%$:	19 mV.
Činitel zkreslení při $U_{\text{vst}} = 15$ mV:	7,2 až 10 %.
Vstupní impedance při	
$U_{\text{vst}} = 200$ μ V, $f = 10,7$ MHz, $f_m = 1$ kHz,	
$\Delta f = 75$ kHz:	$R_{\text{vst}} = 2,1$ k Ω ,
	$C_{\text{vst}} = 59$ pF.
Výkonový zisk při $U_{\text{vst}} = 25$ μ V:	62 až 65 dB.
Napěťový zisk při $U_{\text{vst}} = 50$ μ V:	88 dB.
Nf výstupní napětí při $U_{\text{vst}} = 50$ mV:	820 mV.
Vstupní napětí pro omezení:	200 μ V.
Potlačení AM při $m = 0,3$:	55 dB.
Vstupní impedance při $U_{\text{vst}} = 1$ mV, $R_{\text{vst}} = 160$ Ω ,	
$C_{\text{vst}} = 100$ pF.	

začít vlivem nedokonalé regulace AVC omezovat. Vstupní zesilovač A281D je zapojen tak, že je možné nesymetrické napájení z výgenerátoru.

Parametry A281D jsou v tab. 20. Při použití dvoutranzistorového zesilovače dosáhneme obvykle horších vlastností než s tímto IO.



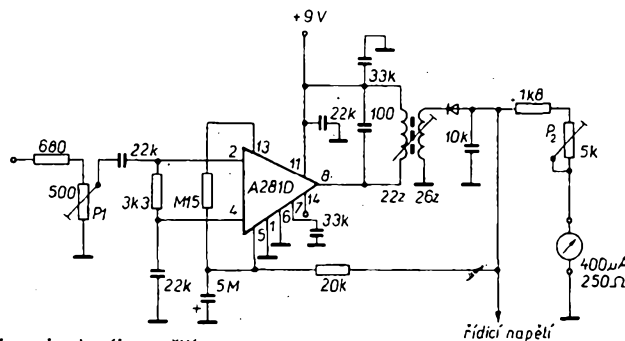
Obr. 60. Mf zesilovač AM-FM s A281D a čtyřobvodovým filtrem



Obr. 61. Mf zesilovač s aktivním demodulátorem pro SSB, CW a AM

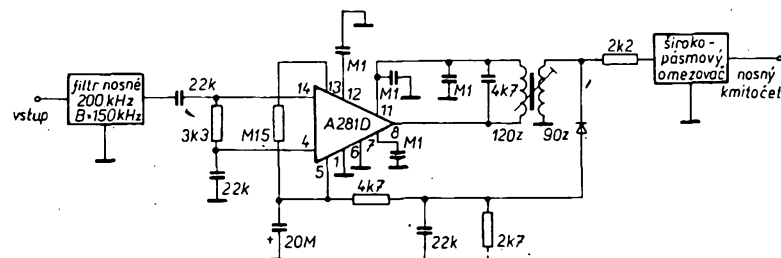
Tab. 21. Srovnání parametrů diskrétně řešeného mf zesilovače s mf zesilovačem s A281D

AM provoz, $f_m = 1$ kHz, $m = 0,3$	A281D + SF225	3 × SF225	přij. R11
U_{reg} [μ V]	3	24	80
Rozsah regulace [dB]	62	48	49
U_{hf} [mV]	140	60	60
S_9 kHz [dB]	50	43	43
U_{sf} [μ V]	3	11,5	27
FM provoz, $f_m = 1$ kHz, $\Delta f = 25$ kHz, $m = 0,3$, $s/\tilde{s} = 26$ dB			
Vstupní napětí pro omezení [μ V]:	28	130	70
U_{nf} [mV]	280	60	70
Potlačení AM [dB]	57	55	48
S_{300} kHz [dB]	50	34	34



Obr. 62. Indikátor síly pole signálu v přijímači FM

GA100



Obr. 63. Zapojení A281D v obvodu obnovení nosné

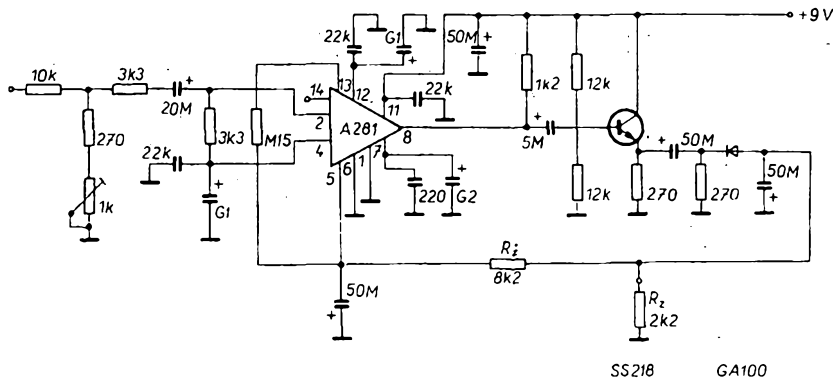
GA100

Na obr. 60 je zapojení mf zesilovače AM-FM, u něhož je směšovač AM s SF225 použit jako první mf zesilovač FM. Je-li zisk „z báze“ tranzistoru SF225 na vstup IO při FM 20 dB a 10 dB při AM, obdržíme parametry uvedené v tab. 21. Pro srovnání jsou v dalších sloupcích tabulky uvedeny parametry běžného mf zesilovače s křemíkovými tranzistory (všechny údaje platí ze vstupu směšovače). Z tab. 21 je zřejmé, že při použití A281D se dosáhne podstatně lepších parametrů, než při použití diskrétních součástek. Je to zejména zlepšení rozsahu regulace AVC a zvětšení citlivosti na FM. S běžnou vstupní notkou VKV se pohybuje omezení na hranici citlivosti pro omezení (1,7 μ V pro $s/\tilde{s} = 26$ dB), což je pro přijímače nižší cenové skupiny výborný parametr. Při příjmu AM je důležitým parametrem rozsah regulace AVC a to zejména u autopřijímačů.

Vzhledem ke srovnatelné ekonomii řešení s porovnáním s diskrétními součástkami je použití tohoto IO velmi výhodné, neboť se zlepší i celkové parametry přijímače.

Na obr. 61 je zapojení mf zesilovače AM pro provoz SSB, CW s aktivním demodulátorem. A281D je zde použit jako mf zesilovač AM a pro demodulaci (po opětném získání nosného kmitočtu v omezovači) je využit demodulátor A220D. Regulace nasazuje při 10 až 20 μ V a mohou být zpracovány úrovně až 25 mV při malém činiteli šumu.

Na obr. 62 je indikátor síly pole a obvod pro řízení vedlejších funkcí v přijímači FM. A281D je připojen paralelně k mf zesilovači



Obr. 64. Logaritmický indikátor nf úrovni

FM a pracuje jako logaritmický detektor úrovni výstupního napětí z jednotky VKV na kmitočtu 10,7 MHz. Na indikátor lze sledovat úroveň vstupního napětí v rozsahu 60 dB (i větším).

Na obr. 63 je A281D v obvodu obnovení nosného kmitočtu v přijimačích krátkých vln. Aby se zvětšila dynamika obnovení nosné při jejím opětovném získávání, používá se na výstupu omezovač s A281D. Vliv filtru, který se zmenší vlivem omezení, se dá zdůraznit využitím regulačního obvodu v A281D.

Na obr. 64 je zapojení logaritmického indikátoru úrovni nf. A281D je použit jako regulovalný zesilovač nf, na jehož výstup je připojen pro přizpůsobení k detekční diodě emitorový sledovač. Rozsah indikace obvodu na obr. 64 je asi 55 dB.

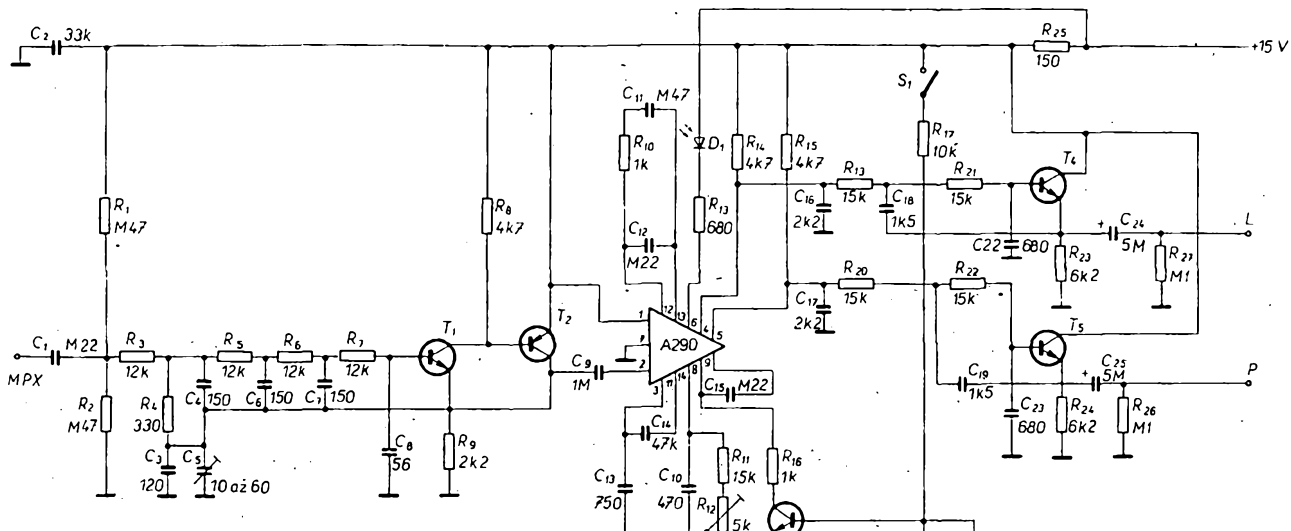
Kromě uvedených příkladů je možné A281D využít i v širokopásmovém zesilovači soustavy PCM až asi do 30 kanálů, jako selektivního zesilovače s přímým zesílením v radiostanicích, jako regulačního zesilovače v měřicích generátorech i jako přijimače v modulovaném světla (tzv. světelné schránky) apod. A281 je ekvivalentem TAA981.

Integrovaný obvod A290D

Integrovaný obvod A290D je stereofonní dekódér pracující na principu časového multiplexu, něhož je pomocná nosná 38 kHz získána dělením oscilačního kmitočtu a držena smyčkou PLL. Vzhledem k dobrým parametry je možno tento obvod použít i v hi-fi přijimačích. A290D je ekvivalentem IO MC1310 fý Motorola. Jeho hlavní výhodou je bezcívkové provedení dekódéru, minimum vnějších součástek, jen jeden nastav-

Tab. 22. Parametry A290D

Mezní údaje	
Napájecí napětí:	8 až 15 V.
Proud indik. žárovky:	75 mA.
Amplituda vstupního napětí:	2,8 V.
Provozní teplota:	0 až 70 °C.
Jmenovité údaje při 25 °C, $U_B = 15 V$, $f = 1 kHz$, $\Delta f = \pm 100 Hz$, $f_p = 19 kHz$, $U_p = 100 mV$, $U_{VST MPX} = 2,8 V$	
Odběr proudu při $U_{VST} = 0$:	12,5 až 26 mA.
Vyvážení mono při $U_{VST} = 2,8 V$:	0,3 až 1,6 dB.
Prah sepnutí stereo při $f_p = 19 kHz$:	15,7 až 22 mV.
Přeslechy při $U_{VST MPX} = 2,8 V$, $f_p = 19 kHz$, $U_p = 100 mV$:	30 až 40,5 dB.
Vstupní odpor při $U_{VST} = 2,8 V$:	20 až 60 kΩ.
Práh vypnutí stereo:	7,9 mV.
Činitele zkreslení při mono vlevo:	0,46 %,
vpravo:	0,22 %,
stereo vlevo:	0,27 %,
vpravo:	0,29 %,
Zesílení při mono:	-5,8 dB,
stereo:	-5,8 dB,
Potlačení pilotního signálu při $U_{VST} = 100 mV$, $f_p = 19 kHz$:	19 dB.
Potlačení postranních pásem:	22,7 dB.
Potlačení 19 kHz:	33,6 dB.
38 kHz:	37,3 dB.,
67 kHz:	75,1 dB.,
114 kHz:	57,1 dB.
Saturační napětí budiče žárovky při $U_{VST} = 100 mV$, $f_p = 19 kHz$:	1,4 V.
Hystereze indik. žárovky:	5,9 dB.
Přídružný rozsah pilotního kmitočtu při $U_{VST} = 100 mV$:	$f_{ph} = 20,5 kHz$, $f_{pd} = 18,25 kHz$.
Zatěžovací odpor při $U_B = 8 V$:	2,7 kΩ.
$U_B = 10 V$:	4,3 kΩ.
$U_B = 12 V$:	6,2 kΩ.
$U_B = 15 V$:	7,5 kΩ.

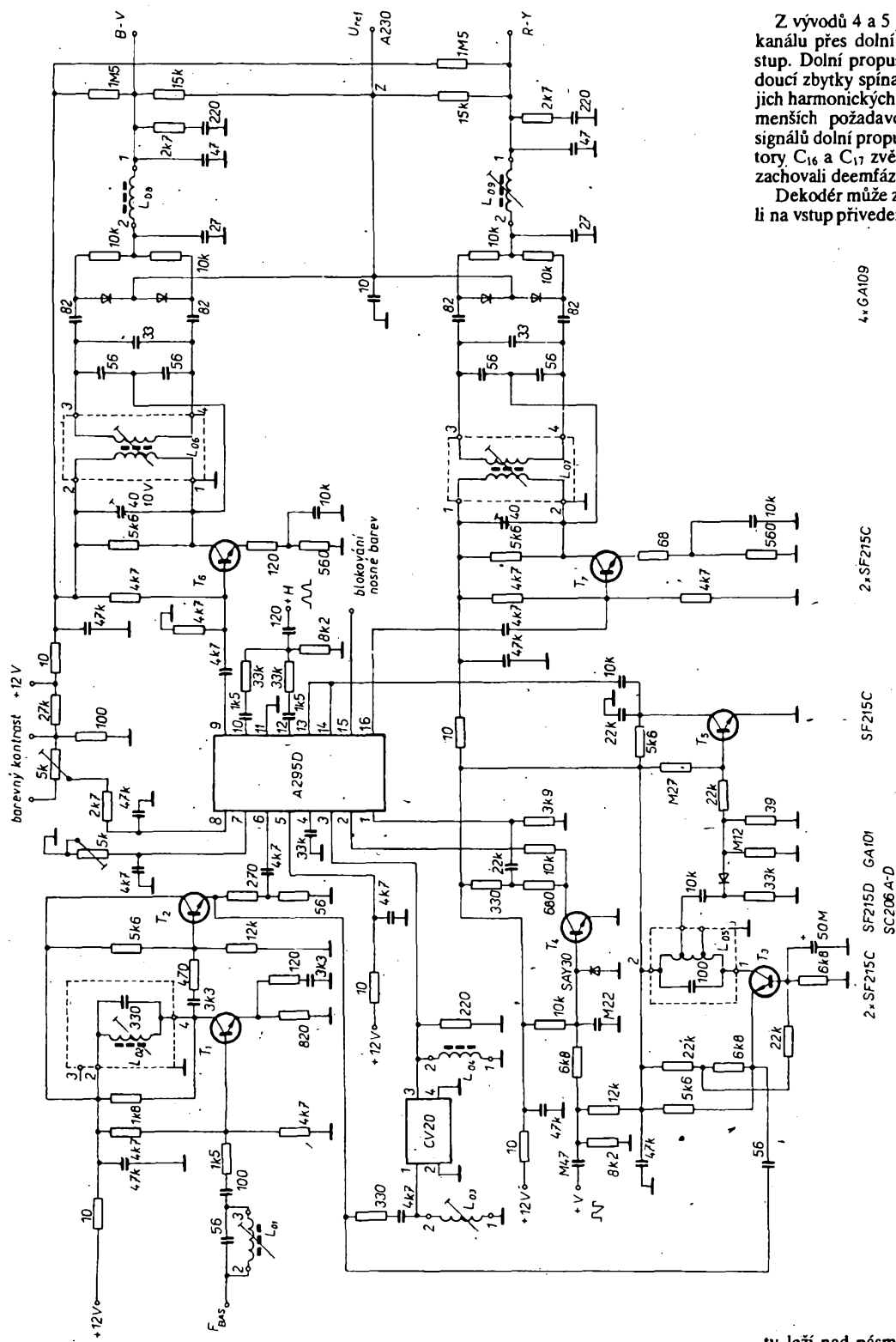


Obr. 65. Zapojení stereofonního dekódéru A290D s pomocnými obvody

vací prvek, stejný činitel zesílení a stejná výstupní impedance jak při provozu stereo, tak i mono.

A290D je v pouzdře DIP-14. Jeho parametry jsou v tab. 22.

Na obr. 65 je zapojení stereofonního dekódéru s pomocnými obvody. Jeho stavba není kritická na rozumění součástek. Jediným nastavovacím prvkem dekódéru (IO_1) je potenciometr R_{12} , kterým si při nepripojeném vstupním signálu nastavíme na vývodu 10 IO kmitočet 19 kHz. Potenciometr R_{12} vzhledem k dlouhodobé stabilitě by měl být vrstevový. Nemáme-li k dispozici měřicí kmitočtu, můžeme použít i tónový generátor (vstupní signál 20 mV, 19 kHz) a osciloskop, nebo přijímač nalaďený na stanici, která vysílá stereo. V tomto posledním případě



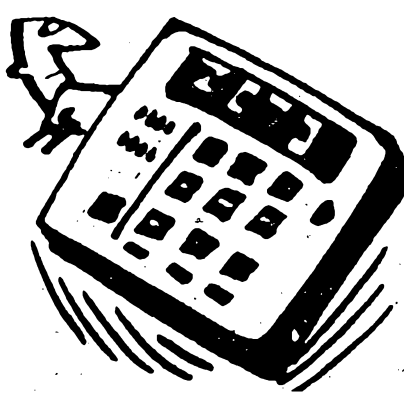
Z vývodů 4 a 5 je signál pravého a levého kanálu přes dolní propust přiveden na výstup. Dolní propust potlačuje jednak nezádoucí zbytky spínacího signálu 38 kHz a jejich harmonických a jednak pilotní signál. Při menších požadavcích na potlačení těchto signálů dolní propust vypustíme a kondenzátory C_{16} a C_{17} zvětšíme na 10 nF, abychom zachovali deefmázi 50 μ s.

Dekodér může zhoršit své vlastnosti, jsou-li na vstup přivedeny signály; jejichž kmitoč-

Obr. 66. Zapojení dekodéru SECAM

musíme mít možnost signál MPX reguloval - nastavíme ho na 120 mV. Poté otáčíme potenciometrem tak dlouho, dokud se nerozsvítí svítivá dioda D_1 . V praktickém provozu je signál MPX v rozsahu 120 až 700 mV. Větší napětí je nutno vyloučit, neboť jinak by byl signál omezován a zvětšovalo by se zkreslení. Při malém signálu MPX je přídřžný rozsah smyčky PLL nedostatečný a z dekodéru dostáváme jen signál mono. Rovněž při nepřítomnosti pilotního signálu je přenesen jen signál mono. Přepínání mono-stereo můžeme realizovat ručně spínačem S_1 , nebo automaticky v závislosti na síle pole signálu, přivedeme-li na bázi T_3 potřebné řídící napětí.

ty leží nad pásmem kmitočtů signálu MPX (nad 53 kHz). Zejména při příjmu stereo se může kvalita příjmu zhoršit „cvrlikáním“ nebo podobnými jevy. Abychom tyto jevy vyloučili, je na vstup dekodéru připojena dolní propust s mezním kmitočtem asi 60 kHz. S tímto obvodem se zlepší i poměr signál-šum. Filtr je rovněž bezcívkový, takže ho nemusíme nastavovat. Dosažitelná strmost je 65 dB. Mezi pilotním signálem a pomocnou nosnou v signálu MPX dochází na filtru k malému fázovému posuvu a tím ke zhoršení přeslechů. Obvod lze jemně nastavit kondenzátorem C_5 - volíme kompromis mezi přeslechy a strmostí filtru.



Integrovaný obvod A295D

Integrovaný obvod A295D je dekódér signálu SECAM, který v barevném televizním přijímači z úplného barevného signálu vybírá signál chrominiscenční, mění sekvenční informaci a blokuje kanály barev při černobílém vysílání.

Na obr. 66 je zapojení dekódéru SECAM. Signál F_{BAS} je přes zesilovač (T_1, T_2) v deemfáze veden na vstup 6 ($U_{6\max} = 1,5 \text{ V}$) a přes zpožďovací linku CV 20 na vstup 3 ($U_{3\max} = 1,5 \text{ V}$). Z obvodu v deemfáze je signál veden i do obvodu identifikace barev T_3 . Do tohoto obvodu je přiveden snímkový impuls. Snímkový impuls je přes zesilovač veden i na vývod 1 (vypnutí kanálu barev, U_1 asi 2 V), na vývod 2 (vykličování nosné barev během doby snímkového vykličování, U_2 asi 2 V). Na vývod 4 je pripojen blokovací kondenzátor, který zmenšuje přeslechy. Na vývod 5 je pripojeno napájecí napětí. Jeho maximální velikost 1,5 V je dáná maximálním ztrátovým výkonem pro teplotu okolo 25°C . Při vyšší teplotě okolo 25°C musíme toto napětí zmenšit. Maximální odebíraný proud je asi 48 mA. Při zvyšování teploty se tento proud zmenší asi o 0,5 mA na 10°C . Potenciometrem na vývodu 7 nastavujeme správný poměr mezi rozdílovými signály barev v matici. Potenciometrem na vývodu 8 nastavujeme správný poměr mezi barevným kontrastem a signálem Y ($U_B = 0 \text{ až } 2,7 \text{ V}$). Na vývodech 10 a 12 je přiveden přes obvody RC záporný impuls zpětného běhu řádků, kterým řídíme překlápení klopného obvodu ($U_{10,12} = -2 \text{ V, max. } +4 \text{ V}$). Na vývod 13 je přiveden ze zesilovače identifikace přes T_5 kladný identifikační impuls pro fázovou synchronizaci klopného obvodu. Tento impuls je využit pro ovládání obvodu zapnutí barev (vývod 14), $U_{13,14} = 2 \text{ V}$. Spínací napětí na vývodu 15 (U_{15} je 5,2 V při barev a 0 V při černobílém vysílání) řídí obvod blokování barev v zesilovači Y. Napětum z vývodů 9 a 16 (0 až 2 V) jsou buzeny tranzistory T_6, T_7 , které mají v kolektorech pripojeny fázové diskriminátory. Na výstupu diskriminátoru jsou obvody pro deemfázi obrazových signálů R-Y a B-Y.

Mezní údaje A295D jsou v tab. 23.

Tab. 23. Parametry A295D

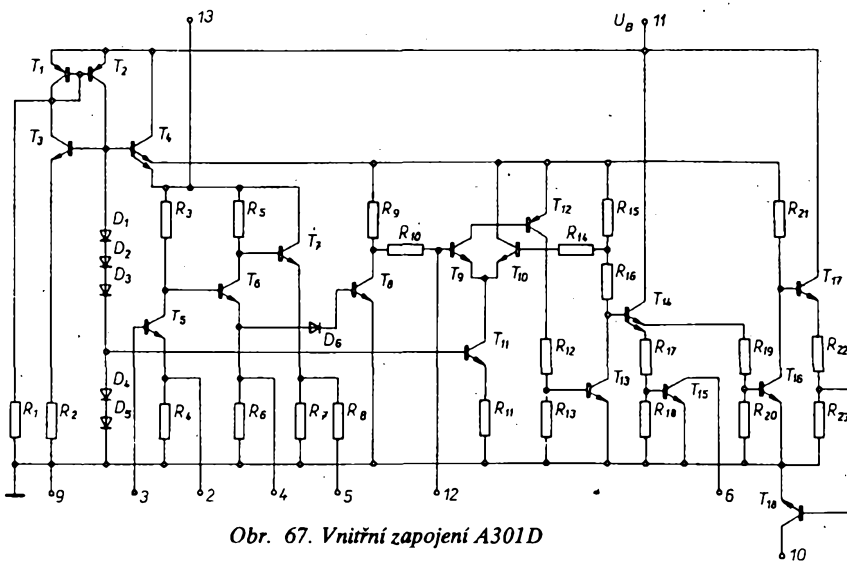
Mezní údaje	
Napájecí napětí:	15 V.
Vstupní napětí U_3 :	1,5 V.
U_B :	1,5 V.
Automatické zapnutí a vypnutí kanálu barev:	$U_1, U_{14} = -4 \text{ až } +4 \text{ V}$.
Vypnutí kanálu barev:	$U_2 = -4 \text{ až } +4 \text{ V}$.
Nastavení kontrastu barev:	$U_8 = 0 \text{ až } 4 \text{ V}$.
	$U_9 = 0 \text{ až } 3 \text{ mA}$.
Přepnutí klopného obvodu:	$U_{12}, U_{10} = -4 \text{ až } +4 \text{ V}$.
při $t \geq 15 \mu\text{s}$:	$U_{12}, U_{10} = -4 \text{ až } +6 \text{ V}$.
Synchronizace:	$U_{13} = -4 \text{ až } +4 \text{ V}$.
Pripojení uzávěry barev:	$U_5 = 0 \text{ až } 2,5 \text{ mA}$.
Ztrátový výkon:	1 W.
Zatěžovací odpory na výstupu:	$R_{9,11} = \text{min. } 6 \text{ k}\Omega$, $R_{16,11} = \text{min. } 6 \text{ k}\Omega$.
Provozní teplota:	-10 až +55 °C.

Integrovaný obvod A301D

Integrovaný obvod A301D je budící obvod určený pro šerbinový iniciátor, fotobuňku a jiné bezkontaktní spínače. A301D je sestaven z třistupňového zesilovače, prahového spínače, koncového stupně a stabilizátora napětí, který stabilizuje napětí v rozsahu 4,75 až 27 V.

Tab. 24. Parametry A301D

Mezní údaje	
Napájecí napětí:	4,75 až 27 V.
Výstupní napětí:	0 až 27 V.
Výstupní proud:	0 až 50 mA.
Výstupní proud vývodem 13:	0 až 1 mA.
Provozní teplota:	-25 až +70 °C.
Jmenovité údaje při 25 °C	
Odběr ze zdroje při $U_B = 27 \text{ V}$:	11,6, max. 18,5 mA (S_1 sepnut).
Výstupní napětí na Q, \bar{Q} (S_1 sepnut) při	
$U_B = 4,75 \text{ V}, I_{OL} = 16 \text{ mA}$:	95, max. 350 mV,
$U_B = 4,75 \text{ V}, I_{OL} = 50 \text{ mA}$:	350, max. 1,15 V.
Stabilizované napětí U_{13} ($U_B = 4,75 \text{ V}, I_{13} = 1 \text{ mA}$):	2,9 V.
Výstupní proud ve stavu H na Q, \bar{Q} při	
$U_B = 4,75 \text{ V}, U_{OH} = 27 \text{ V}, R_3 = 520 \Omega$:	20 µA.
Maximální kapacita na vývodu 13:	47 nF.
Maximální spínací kmítotřeba při $U_B = 5 \text{ V}, C_{12} = 1,5 \text{ nF}$	10 kHz,
$R_{3/5} = 6 \text{ k}\Omega$:	20 kHz.
$R_{3/5} = 2,7 \text{ k}\Omega$:	



Obr. 67. Vnitřní zapojení A301D

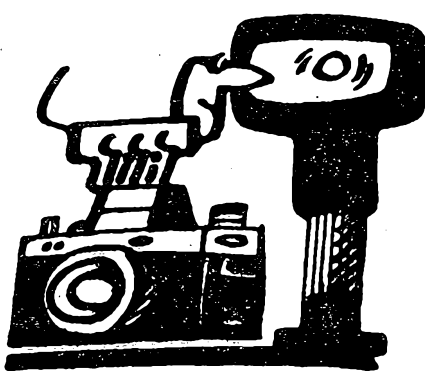
Vnitřní schéma A301D je na obr. 67. Stabilizátor tvoří tranzistory T_1 až T_4 , odpory R_1, R_2 a diody D_1 až D_5 . Zdrojem referenčního napětí jsou diody D_1 až D_5 , zapojené do série v propustném směru. Spolehlivý náběh obou zdrojů konstantního proudu je zajištěn odporem R_1 . První zdroj konstantního proudu D_1 až D_5 , T_3, R_2 je zrcadlovým obrazem druhého zdroje konstantního proudu T_1, T_2 . Proud odporem R_1 a kolektorový proud T_3 jsou vstupními proudy pro tento zrcadlový zdroj konstantního proudu. Při dostatečně velkém zosolení se kolektorový proud T_2 přibližně rovná proudu vstupnímu. Kolektorový proud T_2 protéká zdrojem referenčního napětí D_1 až D_5 a je proudem báze tranzistoru T_3, T_4 .

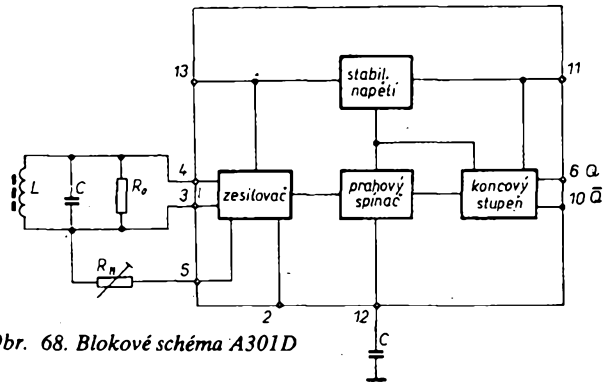
Stabilizované vnitřní napětí je asi 2,9 V. Toto napětí musí být tak malé, aby IO mohl pracovat i při nejménším napájecím napětí 4,75 V. Stabilizované napětí je vyděleno na vývod 13. Odebíraný proud nesmí být větší než 1 mA.

Třistupňový zesilovač tvoří tranzistory T_5 až T_7 a odpory R_3 až R_8 . Při zapojení jako „čidlový“ zesilovač (fotočidlo) je jeho napěťové zosolení asi 20 až 40. Emitory jednotlivých tranzistorů zesilovače jsou vyvedeny z pouzdra, takže zesilovač může pracovat i v jiných obvodech, než je strhávaný oscilátor, pro který byl původně určen.

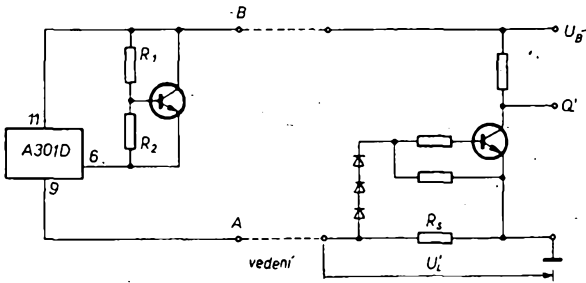
Spínací prahové hodnoty tvoří integrační stupeň D_6, T_8, R_9, R_{10} a hradlo T_9 až T_{11}, R_{11} až R_{16} . Integrační stupeň se uplatní zejména tehdy, když zesilovač je zapojen jako strhávaný oscilátor. V hradle jsou použity komplementární tranzistory. V počátečním stavu je tranzistor T_8 uzavřen a jsou otevřeny tranzistory T_9, T_{12}, T_{13} . Obráceného stavu se dosáhne, přivede-li se na vývod 12 úroveň log. 0, nebo napětí přes T_8 . Práh sepnutí je určen tranzistorem T_{13} a odpory R_{15}, R_{16} . Aby se zabránilo „kmitání“ při překlápení, má hradlo velkou hysterese, která je asi $(U_u - U_l) = 1,09 \text{ V}$ při $U_H = 2,68 \text{ V}$ a $U_L = 1,59 \text{ V}$.

Koncový stupeň tvoří tranzistory T_{14} až T_{18} a odpory R_{17} až R_{23} . Dvojemitorový tranzistor T_{14} (buzený hradlem) je spojen jednak s koncovým tranzistorem T_{15} a jednak s invertujícím tranzistorem T_{16} , do jehož kolektoru je přes emitorový sledovač T_{17} připojen druhý koncový tranzistor T_{18} . Toto zapojení umožňuje získat jak neinvertované (vývod 6), tak i invertované (vývod 10) výstupní napětí (Q a \bar{Q}). Kolektory tranzistorů T_{14} a T_{17} nejsou napájeny z vnitřního stabilizovaného zdroje napětí, takže vykonává ztráta tranzistoru T_4 je malá. Odpor R_{18}, R_{23} zvětšuje odolnost koncových tranzistorů proti průrazu. Pro hradlo a koncový stupeň platí tato pravidelnostní tabulka:





Obr. 68. Blokové schéma A301D



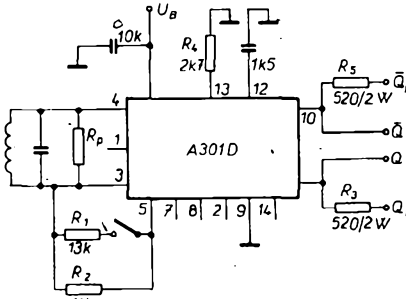
Obr. 71. Přenos signálu po rozvodu napájecího napětí

Vstup vývod 12	Výstup vývod 6 (Q)	Výstup vývod 10 (\bar{Q})
H	H	L
L	L	H

Na obr. 68a je blokové schéma s vnějšími součástkami. Třístupňový zesilovač je zapojen jako strhávaný oscilátor. Mezi vývody 3, 4 je připojen vnější oscilační obvod LC indukčního vysílače a mezi vývody 3, 5 je zapojen odpor R_M kladně zpětné vazby, jímž se nastavuje oscilátor. Při přiblížení kovového předmětu do cívky oscilátor kmitá na rezonančním kmitočtu. Je-li oscilační kmitočet 100 kHz, $R_0 = 20 \text{ k}\Omega$ a $R_M = 6 \text{ k}\Omega$, bude maximální opakovací kmitočet 10 kHz. Tranzistor T_8 (obr. 67) bude sepnut, bude-li oscilátor kmitat s amplitudou rovnou 2,95 V $- U_{CE(s)}$. Napětí na kolektoru se integruje na vnitřním odporu a kondenzátoru $C = 10 \text{ nF}$, připojeném na vývod 12. Napětí na vstupu hradla (T_9) 750 mV je pod úrovní L. Na výstupu Q je signál L. Dojde-li ke strhávání oscilací, zavírá se tranzistor T_8 , napětí na vstupu hradla se zvětší na úroveň H a napětí na výstupu O bude mít rovněž úroveň H.

Oscilátor	Vstup hradla vývod 12	Výstup vývod 6 (Q)	Výstup vývod 10 (\bar{Q})
kmitá nekmitá	L H	L H	H L

V tab. 24 jsou uvedeny parametry A301D, které platí pro měřicí obvod na obr. 69. Odpor zpětné vazby R_M lze spínačem S_1 rozdělit, takže při přiblížení kovového předmětu lze nastavit stav, kdy oscilátor bude nebo nebude kmitat. Na výstupy Q a \bar{Q} jsou připojeny omezovací odpory, které slouží pro zjištění průrazného napětí koncových tranzistorů. Odpor R_4 na vývodu 13 je náhradní zatěžovací odpor pro kontrolu vnitřního stabilizátoru napětí. Při měření musí být na vývodu 13 kondenzátor 47 nF. Vnitřní odpor stabilizátoru je asi 8 až 15 Ω . Maximální



Obr. 70. Měřič zkratu vinutí

ní zatěžovací kapacita na výstupech Q a \bar{Q} může být při $U_B = 4,75 \text{ V}$ 10 nF, avšak při $U_B = 27 \text{ V}$ jen 400 pF.

Vedle základního zapojení jako iniciátový obvod je možné A301D použít i v jiných aplikacích (AR B4/80).

V základním zapojení A301D (budící iniciátový obvod) lze IO použít jako měřič zkratu vinutí cívek, přiblížme-li oscilační cívku ke zkoušené (obr. 70). Volbou jmenovitého oscilačního kmitočtu (zde asi 2 kHz) může při rezonanci indukčnosti vinutí s jeho rozptylovou kapacitou být rozložen předpokládaný zkrat od zkratu skutečného. Odpor R, je nastaven tak, že oscilátor ještě „tak tak“ kmitá a dioda LED ještě svítí. Zhasne-li dioda LED při přiblížení feritové antény ke zkoušené cívce, jedná se o zkrat vinutí.

Vzhledem k tomu, že A301D má na výstupu tranzistor s otevřenými kolektory, je možné spojit výstupy několika obvodů: Jsou-li výstupní signály určené ke sloučení x_1 až x_n , jimi odpovídající výstupy IO pracují do společného pracovního odporu, jehož druhý konec je spojen s U_B (napájecí napětí). Výstupní signál Y je

$$Y = x_1 x_2 \dots x_n.$$

Výstupní signál příslušející určitému x může být jak Q, tak \bar{Q} , a to podle toho, definuje-

me-li jako logickou podmínu stav „oscilátor nekmitá“ nebo „oscilátor kmitá“. Společný pracovní odpor musí být volen tak, aby s ohledem na zbytkový proud I_{OH} bylo dosaženo logické úrovni U_{OH}

$$R \leq \frac{U_B - U_{OH}}{n I_{OH}}$$

Stojíme-li před úkolem přenést výstupní signály z několika míst měření, zajímá nás počet vodičů, potřebných k tomuto účelu. V běžném případě k tomu potřebujeme tři vodiče za každého měřeného místa. Na obr. 71 je zapojení, které jeden vodič ušetří. Úbytek napěti na odporu R_s je závislý na stavu sepnutí A301D. Pro $Q = 1$ je $U'_L = R_s I_s$ max, pro $Q = 0$ je referenčním prvkem tranzistor T_1 se svým referenčním napětím

$$U_{ref} = \frac{R_1 + R_2}{R_2} U_{BE}$$

$$U_H = R_s I_s \text{ max} + U_B - U_{ref}.$$

Proud tekoucí výstupem 6 je

$$I_6 = \frac{U_B - U_{ref}}{R_s},$$

a může být maximálně 50 mA. Pro výhodnocení musíme zjistit rozdíl napětí $\Delta U = U_H - U_L$:

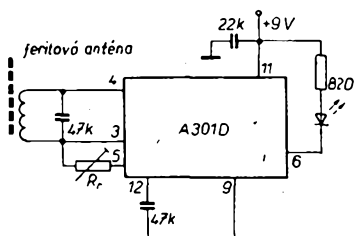
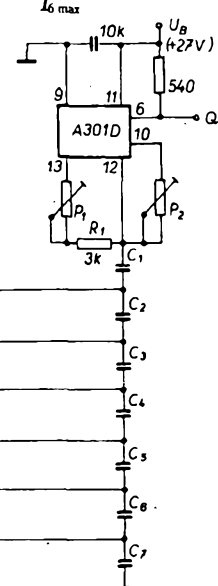
$$R_s \geq \frac{U_L}{I_6 \text{ max}},$$

kde U_L je spodní prahové napětí,

$$R_s \geq \frac{U_{IH} + U_{ref} - U_B}{I_6 \text{ min}},$$

kde U_{IH} je horní prahové napětí,

$$R_s \geq \frac{U_B - U_{ref}}{I_6 \text{ max}},$$



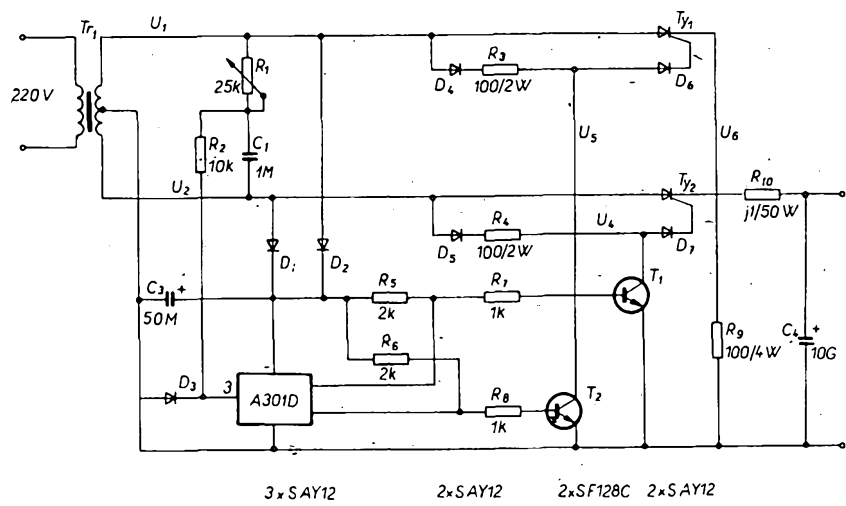
Obr. 69. Měřicí obvod pro A301D

Obr. 72. Jednoduchý generátor napěti pravoúhlého průběhu

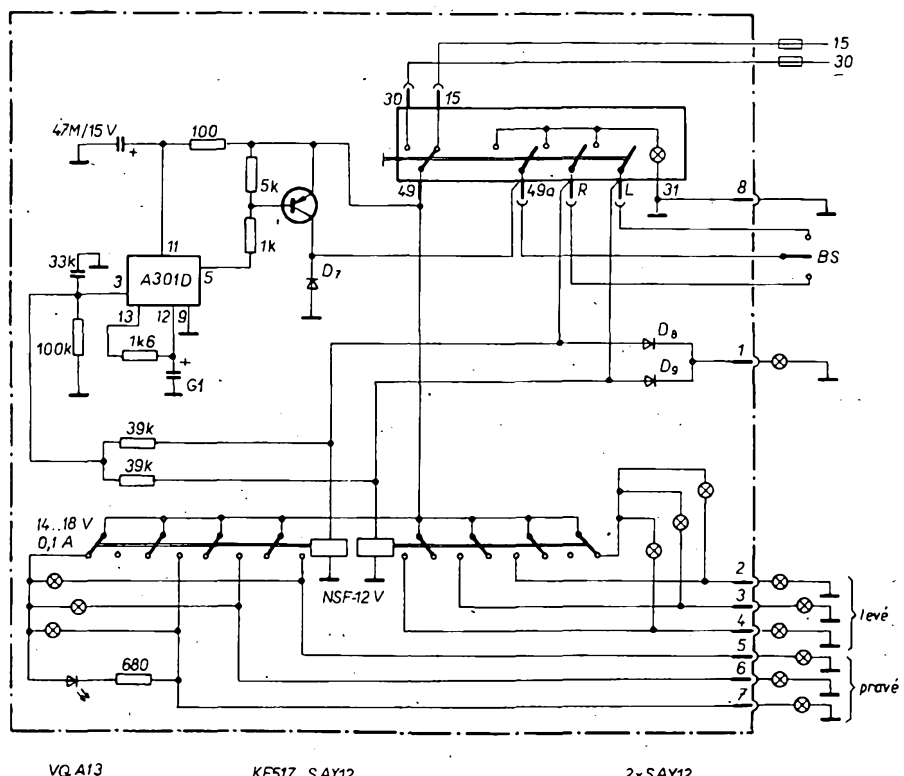
V zapojení podle obr. 71 odpovídá logický stav Q' logickému stavu Q.

Na obr. 72 je zapojení generátoru pravoúhlých impulsnů. Požadované kmitočtové spektrum je určeno odpory P₁, P₂ a kondenzátory C₁ až C₇. Je-li C₁ = 100 nF, C₂ = 47 nF, C₃ = 22 nF, C₄ = 10 nF, C₅ = 4,7 nF, C₆ = 2,2 nF, C₇ = 1 nF, P₁ = 50 kΩ, P₂ = 10 kΩ, je kmitočtové spektrum 500 Hz až 30 kHz. Je třeba poznamenat, že uvedené údaje jsou přibližné a pro přesné nastavení je nutno korigovat hodnoty P₁ a P₂. To platí zejména proto, že P₁ a P₂ neurčují jen střidu, nýbrž i částečně kmitočet. Odpor R₁ musí být větší než 3 kΩ, aby nebyl přetízen vývod 13 (I_{13 max} = 1 mA). Změnou napájecího napětí A301D můžeme měnit amplitudou výstupního napětí od 4,75 do 27 V. Využitím vývodu 1 u U700D můžeme kruhový čítač tohoto IO použít k vyklíčování kmitočtu.

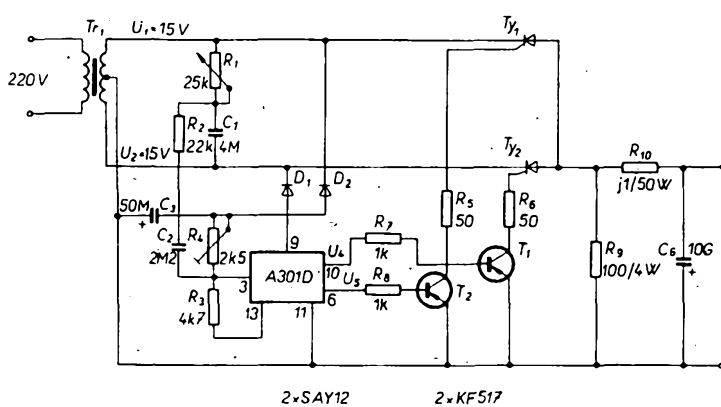
První varianta použití A301D v usměrňovači je na obr. 73. Sekundární vinutí transformátoru Tr₁ má střední vývod, proto napětí na obou polovinách vinutí bude stejné, avšak s obrácenou fází. Napětí jsou přivedena na tyristory, které mají spojené anody a proto mohou být upevněny na jednom chladiči. Odpor R₁ a kondenzátor C₁ tvoří spolu s vinutím transformátoru můstek, který posouvá fázi. Na běžci potenciometru R₁ je co do velikosti stejně střídavé napětí, avšak fázově posunuté o 0 až 180° oproti napětí U₁. Toto napětí je přes R₂, C₂ přivedeno na vstup A301D. Kondenzátor C₃ je oddělovací. Pracovní bod IO se nastavuje odpory R₃, R₄, přičemž je využito vnitřního stabilizovaného napětí na vývodu 13 (asi 2,9 V, 1 mA), aby se vyloučil vliv kolísání napájecího napětí. Odpory R₂, R₃ a R₄ tvoří dělič napětí, který velké napětí z fázovacího můstku dělí na malé vstupní napěti pro IO. Napájecí napětí pro IO je získáváno diodami D₁, D₂ a filtrováno C₄. A301D je zapojen jako zesilovač a prahový spínač. Na jeho výstupech (vývody 6 a 10) je napětí pravoúhlého průběhu vzájemně opačné polarity, kterým jsou střidavě připojovány a odpojovány tranzistory T₁, T₂. Přechod báze-emitor těchto tranzistorů spolu s odpory R₇, R₈ jsou pracovními odpory pro IO. Je-li na katodě jednoho tyristoru záporná půlvlna a na řidící elektrode tyristoru nulové napětí (příslušný tranzistor je otevřen), pak tyristor povede a teče jím proud. Doba sepnutí tyristoru během záporné půlvlny může být řízena R₁. Je-li tyristor otevřen na počátku záporné půlvlny, je na výstupu maximální stejnosměrné napětí. Sepne-li tyristor povede, bude na výstupu menší stejnosměrné napětí. Vzhledem k tomu, že je možné posouvat bod sepnutí tyristoru, je teoreticky možné měnit výstupní napětí od nuly do maxima. Závislost mezi výstupním napětím a úhlem otočení R₁ je



Obr. 74. Zdroj regulovatelného napětí s A301D (II)



Obr. 75. Blikáč pro vozy s napětím palubní sítě 12 V (I)



Obr. 73. Zdroj regulovatelného napětí s A301D (I)

nelineární. Napěťové impulsy na výstupu IO, které mají opačnou fázi, zajišťují správné spínání obou tyristorů v daném časovém sledu. Je-li tyristor jednou sepnut, pak změna řidicího napětí nemá již žádný vliv. Je-li záporné napětí na transformátoru menší než záporné výstupní napětí, tyristor se uzavře. Odpory R₅, R₆, R₇ a R₈ omezují proud. Odpor R₉ slouží jako minimální zátěž a zabraňuje překročení minimálního přídržného proudu tyristorů. Aby se při zkratu na výstupu tyristory nezničily, je do série s výstupem zapojen odpor R₁₀, který musí být navržen tak, aby v žádném případě nebyly překročeny maximální údaje pro daný typ tyristoru. C₄ je filtrační kondenzátor. Odporem R₄ můžeme nastavit minimum brumu na výstupu.

Při napětí sítě 220 V je výstupní napětí (při I_{vst} = 0), U_{vst} = 0,2 až 15 V, při I_{vst} = 10 A je U_{vst} = 0 až 9,5 V. Efektivní brumové napětí při I_{vst} = 10 A je 1,5 V,

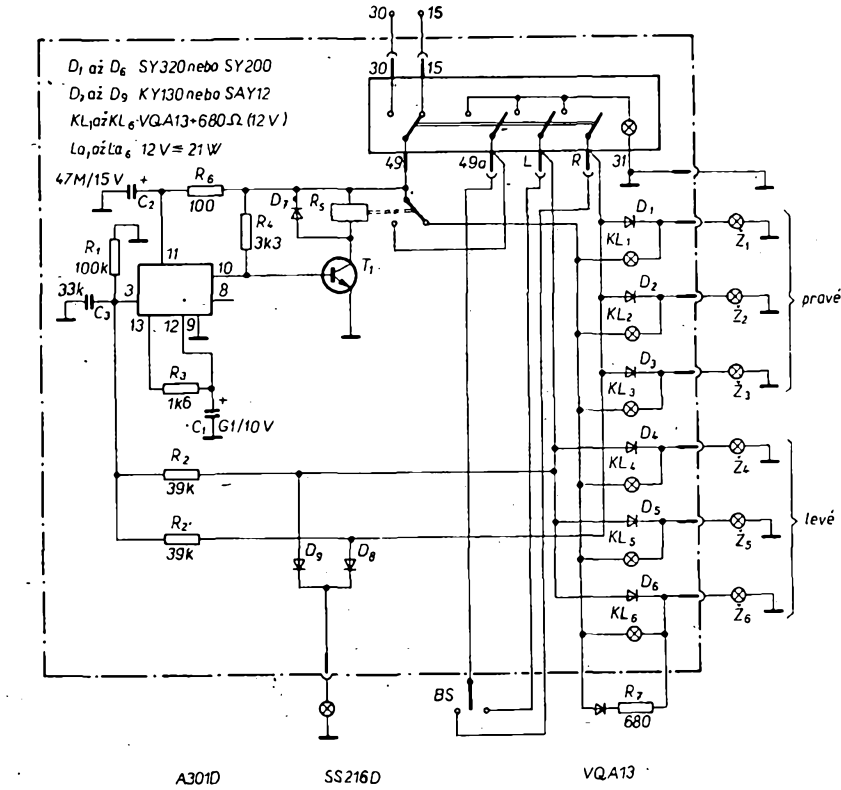
vnitřní odpor $0,4 \Omega$ a funkční rozsah $U_{\text{prim}} = 150$ až 280 V.

Na obr. 74 je druhá varianta regulovaného napájecího zdroje s A301D. Tyristory jsou společně propojeny katodami. Tomuto propojení musí odpovídat i řídící obvod. Tyristory se otvírají kladným napětím přes D_4 , R_3 a D_5 , R_4 . Tranzistory T_1 , T_2 připojují a odpojují tyristory v závislosti na fázi napětí. Tyristor je sepnut jen tehdy, je-li na něm kladné napětí a nevede-li příslušný tranzistor. Diody D_6 a D_7 chrání řídící elektrody tyristoru před zpětným proudem. Spínací tranzistory jsou řízeny komplementárními výstupy IO. Pracovní odpory koncových tranzistorů IO jsou odpory R_5 , R_6 ; odpory R_7 , R_8 jsou ochranné. Zem IO je spojena se zemí napájecí, a proto je možné R_1 , C_1 spojit přímo se vstupem IO, D_3 , R_2 chrání IO před velkým záporným napětím. Ostatní součástky mají stejnou funkci jako v zapojení podle obr. 71. U obou zapojení je vzhledem k fázovému řízení nutno do přívodu k primárnímu vinutí transformátoru zarádit odrušovací filtry.

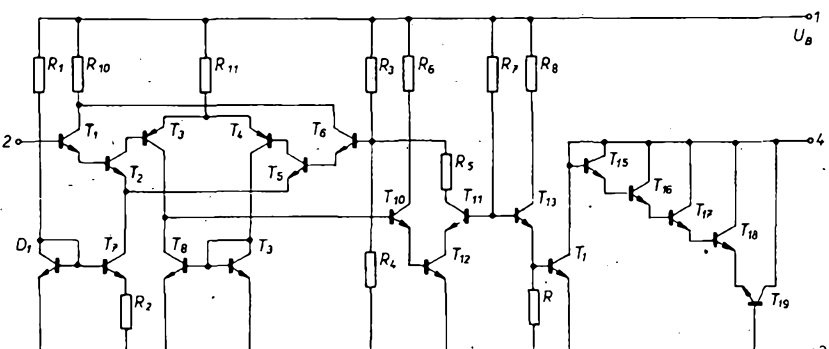
Na obr. 75 a 76 jsou dvě varianty blikáčů pro automobily s IO A301D. Při nesepnutém spínači blikáčů je vývod 3 IO přes R_2 a žárovku blikáče uzemněn. Tranzistor T_8 v IO je sepnut a C_1 je nabité na konstantní napětí, dané poměrem odporek R_3 a R_{10} (součástí IO), které musí být menší než obě prahová napětí následujícího spouštěcího obvodu. Tím je výstup na vývodu 10 (\bar{Q}) nevodivý a relé přes tranzistor T_1 přitáheno. Relé má odpor vinutí 300Ω pro 12 V, nebo 150Ω pro 6 V a může být napájeno přímo z výstupu Q na vývodu 6. V klidovém stavu je spínač blikáčů připojen jedním pólem na kladné napájecí napětí. Pracovní kontakt vzhledem k velkému odběru musí být dimenzován na velký proud. Když sepneme spínač blikáčů, rozsvítí se žárovka, a přes R_2 je na vývodu 3 dosaženo prahového napětí $0,7$ V. Tranzistor T_8 v IO se uzavírá a C_1 se nabije přes $R_2 \parallel R_9 + R_{10}$ (R_9 , R_{10} jsou odpory v IO). Po dosažení horní mezní prahové hodnoty U_{12H} asi $2,7$ V začne vést tranzistor T_9 v IO, změní se stav výstupu 10 a relé odpadne. Žárovka zhasne, T_8 v IO bude vodivý, takže C_1 se opět nabije přes odpory R_9 , R_{10} . Po dosažení spodního prahového napětí U_{12L} asi $1,6$ V se výstup 10 uzavře a relé přitáhne. Celý děj se opakuje tak dlouho, dokud nevpypneme spínač blikáčů. Je třeba poznat, že spodní prahové napětí je určeno odporem R_3 . Zapojení pracuje v rozsahu teplot -25 až $+70$ °C. Kmitočet blikání je 85 až 100 rozsvícení žárovky za minutu. Obvod může být použit po menších úpravách i ve vozech s akumulátorem 6 V.

Integrovaný obvod A302D

Integrovaný obvod A302D je napěťový prahový spínač, určený pro řízení doby užávánky u elektronických kamer a fotopřístrojů.



Obr. 76. Blikáč pro vozy s napětím 12 V

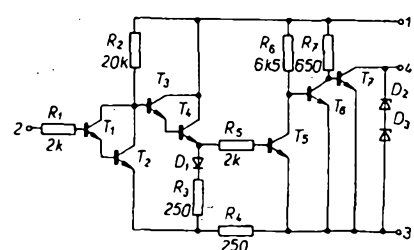


Obr. 77. Vnitřní zapojení A302D

Jú. Je ho možné použít i v dalších aplikacích. A302D pracuje jako prahový napěťový spínač, u něhož je prah sepnutí přímo úměrný napájecím napětí. A302D je umístěn v pouzdře DIP-4 a je určen pro napájecí napětí $2,3$ až $6,3$ V. Proud do vstupu (vývod 2) musí být menší než 1 mA, proud z výstupu (vývod 4) musí být menší než 60 mA. Zatěžovací indukčnost musí být menší než 2 H. Odběr ze zdroje je menší než 5 mA, rozsah pracovních teplot je -10 až $+55$ °C. Vnitřní schéma obvodu je na obr. 77.

Integrovaný obvod A902D

Integrovaný obvod A902D je Schmittův spouštěcí obvod s hysterezí, závislou na napájecím napětí, a s výstupním zesilovačem. Je určen pro řízení uzávěrek fotoaparátů. Vnitřní schéma tohoto IO je na obr. 78. Po připojení napájecího napětí mezi vývody 1 a 3 vedou tranzistory T_3 , T_4 , T_5 a uzavírá se tranzistor T_6 , což otevře tranzistor T_7 . Po připojení vnějšího pracovního odporu mezi vývody 4 a 1 začne jimi téci proud. Přivedeme-li na vývod 2 napětí, povedou tranzistory T_1 , T_2 , tranzistory T_3 , T_4 , T_5 se uzavřou, címž



Obr. 78. Vnitřní zapojení A902D

Tab. 25. Parametry A902D

Statické údaje při

Odběr proudu při $U_B = 5,6$ V, $U_1 = 0$:

$U_B = 5,6$ V, $I_1 = 10 \mu\text{A}$:

Vstupní napětí U_{OL} při $I_4 = 40$ mA:

Horní prahové napětí při $U_B = 2,8$ V:

$U_B = 4$ V:

$U_B = 5,6$ V:

Dolní prahové napětí U_{UL} při $U_B = 5,6$ V:

Dynamické údaje

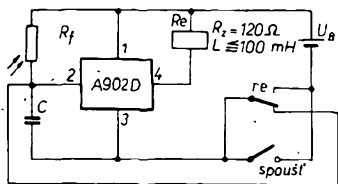
$\Delta t_v/t_v$ při $U_B = 1,8$ V:

$U_B = 5,6$ V:

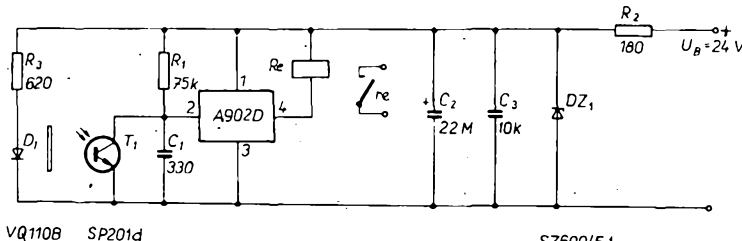
$U_B = 4$ V:

Trvání sestupné a vzestupné hrany impulu:

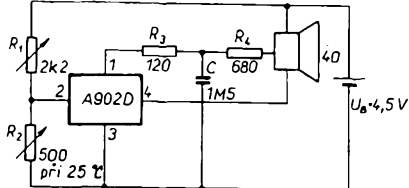
	25	-10	55 °C
10,5	10,7	10,4 mA.	
5,1	5,2	4,9 mA.	
115	110	122 mV.	
1,32	1,42	1,24 V.	
1,86	1,95	1,79 V.	
2,62	2,71	2,54 V.	
1,24	1,38	1,07 V.	
			+2,1 +13 -6,1 %.
			+0,8 +4,3 -3,5 %
			+7,0 +7,0 -5,3 %
			kratší než $5 \mu\text{s}$.



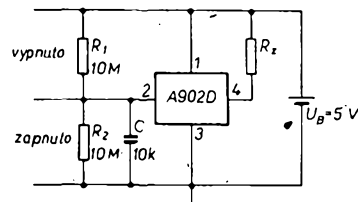
Obr. 79. Řízení uzávěrky fotografických přístrojů



Obr. 84. Optoelektrický snímač

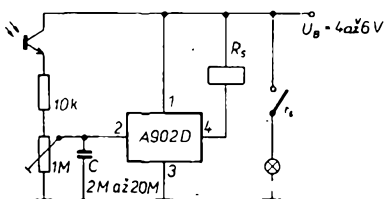


Obr. 80. Hlídač teploty

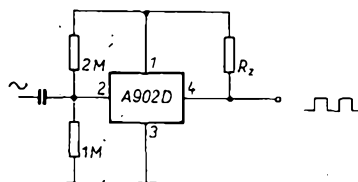


Obr. 81. Senzorový obvod

se otevře tranzistor T_6 a uzavře T_7 . Pracovním odporem neteče pak žádný proud. Obvod je v překlopeném stavu. Přenosová funkce vykazuje hysterézi. Horní prahové napětí U_{IO} je velmi závislé a spodní prahové napětí U_{IU} méně závislé na napětí napájecím U_B . Dolní prahové napětí se mění od 1,15 V do 1,25 V při změně napájecího napětí z 2,5 V na 5,6 V. IO pracuje ještě při minimálním napětí 2,5 V v celém rozsahu pracovních teplot, tj. od -10 do 55 °C. Dolní napájecí napětí je v podstatě určeno třemi přechody emitor-báze (T_3 , T_4 , T_5). Při napětí v propustném směru 0,7 V je úbytek napětí na odporech R_2 a R_5 0,4 V při napájecím napětí 2,5 V. Úbytek napětí na odporu R_2 je zanedbatelný, takže úbytek 0,4 V vzniká na odporu R_5 . Aby odporem R_5 tekl potřebný proud, musí být T_3 zcela otevřen. Maximální napájecí napětí 6 V je určeno vlastnostmi tranzistorů T_3 , T_4 . Tranzistory T_1 až T_4 musí mít proudový zesilovačník větší než 50 při kolektorovém proudu



Obr. 82. Stmívač



Obr. 83. Generátor impulsů pravoúhlého průběhu

0,1 mA. Dioda D_1 zlepšuje poměr U_{IO}/U_B tak, aby byl co nejméně závislý na teplotě a napájecím napětí. Odpor R_1 omezuje maximální vstupní proud, který je 10 mA. Zenerové diody na výstupu omezují napětové špičky, vznikající na připojení indukční zátěži. Maximální proud koncovým tranzistorem T_7 je 70 mA. A902D je v pouzdře DIP-4 a jeho ztrátový výkon je 225 mW. Parametry A902D jsou v tab. 25.

Na obr. 79 je zapojení elektronické uzávěrky fotopřístrojů. Při stlačení spouště fotoaparátu je na IO připojeno napájecí napětí. Tranzistor T_7 v IO bude sepnut a přitáhne relé, které odpojí zkrat na kondenzátor C , který se začne nabíjet přes fotoodpor R_F . Fotoodpor mění svůj odpor podle intenzity osvětlení. Bude-li dosaženo na vstupu prahového napětí U_{IO} , sepnou tranzistory T_1 , T_2 a tranzistor T_7 se uzavře. Tím odpadné relé a kondenzátor C se vybije přes jeho kontakt. Z průběhu nabíjení můžeme vypočítat čas, který uplyne mezi stisknutím spouště a dosažením horní hranice prahového napětí U_{IO} . Tento čas se nazývá dobou otevření uzávěrky t , a je dán rovnicí

$$t = \tau_{nab} \ln \frac{1}{1 - \frac{U_{IO}}{U_B}},$$

kde $\tau_{nab} = CR_1$.

Protože čas t , musí být nezávislý na teplotě a napětí, musí i poměr U_{IO}/U_B být nezávislý na této veličině.

Na obr. 89 je zapojení hlídace teploty. Napěťový dělič R_1 , R_2 je nastaven tak, aby při teplotě 25 °C tekl do vstupu (vývod 2) proud, takže tranzistor T_7 v IO nepovede. Reproduktorem teče jen klidový proud. Zvýší-li se teplota, odpor R_2 se zmenší a při překročení dolního prahového napětí se T_7 otevře. Na vývodu 1 je zbytkové napětí tranzistoru T_7 . Proud přes reproduktory teče jen krátkou dobu, neboť kondenzátor C se vybije přes R_3 a R_4 . Tranzistor T_7 se uzavře a kondenzátor C se nabije přes R_4 . Celý cyklus se opakuje a zapojení začne kmitat s časovou konstantou danou R_3 , R_4 a C .

Na obr. 81 je zapojení senzorového obvodu s A902D. Děličem napětí R_1 , R_2 je nastavena hysterézní oblast do středu. Po připojení napájecího napětí sepnou T_1 v IO, neboť napětí na kondenzátoru C , který je nabíjen pomalu přes R_1 , bude nedostatečné pro překlopení. Koncovým tranzistorem můžeme řídit proud přes připojenou zátěž (relé, výkonový tranzistor, signální žárovka). Bude-li k R_1 připojen paralelně odpor prstu, zvětší se vstupní napětí a tranzistor T_7 se

uzavře, takže zátěž nepoteče žádný proud. Aby zátěž opět začal těci proud, musíme odpor R_2 zkrátovat, aby se napětí na vstupu IO změnilo.

Na obr. 82 je zapojení stmívače. Po připojení napájecího napětí je T_7 v IO sepnut a přitáhne relé. Zmenšuje-li se osvětlení fototranzistoru, zmenšuje se i vstupní proud a T_7 se uzavře. Relé odpadne. Potenciometrem lze nastavit základní citlivost obvodu. Kondenzátor C potlačuje zámkity a zpožďuje odpad relé. Relé můžeme nahradit výkonovým tranzistorem.

Na obr. 85 je zapojení generátoru pravoúhlých impulsů. Zapojení pracuje podobně jako senzorový obvod. Pracovní obvod je opět nastaven do středu hysterezové křivky. Pro řízení je použit sinusový signál. Kladná půlvlna uzavří tranzistor T_7 v IO a záporná půlvlna ho otvírá. Středu můžeme řídit změnu poměru napětí.

Na obr. 84 je zapojení fotoelektrického snímače. Vzdáenosť mezi vysílačem (infračervená dioda VQ110B) a přijímačem (phototranzistor SP201d) je 2,5 mm. Nastavili se otvor na snímacím kotouči proti vysílači, zmenší se odporník emitor-kolektor fototranzistoru T_1 a proud přes R_1 teče k zemi. Současně se zmenší kolektorové napětí T_1 na 0,5 V, čímž je dosaženo spodního prahového napětí A902D (U_{IH} asi 1,25 V). Přitáhne relé a svým kontaktem připojí výstup. Malý výstupní proud je dán velkým vstupním odporem a velkým zesílením A902D. Bude-li přerušena cesta světla mezi vysílačem a přijímačem, zvětší se kolektorové napětí na T_1 , až dosáhne horního prahového napětí (U_{IH} asi 2,6 V). IO sepnou a relé odpadne. Kondenzátor C_1 potlačuje významu IO. Svitivá dioda je napájena přes R_3 ze zdroje 24 V. Napájecí napětí pro IO je stabilizováno Zenerovou diodou přes odporník R_2 a vyfiltrován kondenzátory C_2 , C_3 , které mají být co nejbližší IO.

Integrovaný obvod A 910

Na obr. 85 je vnitřní zapojení A910D. Integrovaný obvod A910D tvoří: dva n-p-n tranzistory (T_1 , T_4), dva n-p-n-p-n-p stupně v Darlingtonové zapojení (T_2 , T_3 a T_5 , T_6), jeden n-p-n-p-n-p stupně v Darlingtonové zapojení (T_7 , T_8) a tři odpory (R_1 až R_3), jejichž hodnoty byly stanoveny fotoprůmyslem NDR.

Parametry A910D jsou uvedeny v tab. 26. Jeho ztrátový výkon je 300 mW, pouzdro DIP-14 a rozsah pracovních teplot -10 až +55 °C. Protože tento IO je tvoren jednotlivými tranzistory, lze s ním realizovat jak analogové, tak i digitální obvody. Z digitálních obvodů je to např. astabilní a monostabilní multivibrátor, klopný obvod apod. Z analogových obvodů je to např. jednoduchý zesilovač.

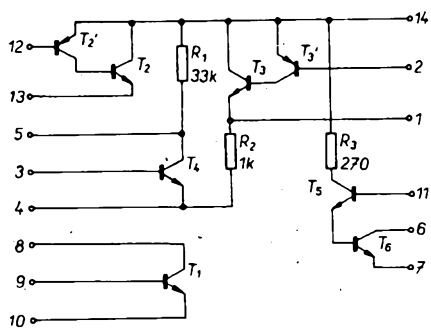
Integrovaný obvod B222D

Integrovaný obvod B222D je dvojicí dvojicí směšovačů určený pro průmyslové aplikace. Vnitřní zapojení je na obr. 86, měřicí obvod pro tento IO na obr. 87. Tranzistory T_2 až T_5 jsou rozdílové zesilovače se zdroji konstantního proudu T_8 , T_9 , které



Tab. 26. Parametry A910D

Tranzistor T_1	
Maximální kolektorový proud:	20 mA.
Maximální proud báze:	15 mA.
Proudové zesílení p<small>H</small> $I_C = 3 \text{ mA}$, $U_{CE} = 3 \text{ V}$:	50 až 100.
Saturační napětí p<small>H</small> $I_C = 10 \text{ mA}$, $I_B = 1 \text{ mA}$:	<0,5; 0,2 V.
Průrazné napětí p<small>H</small> $I_C = 100 \mu\text{A}$:	>6, asi 11 V.
Tranzistory T_2, T'_2, T_3, T'_3	
Kolektorový proud:	max. 40 mA.
Max. proud báze:	20 mA.
Proudové zesílení p<small>H</small> $I_B = 20 \mu\text{A}$:	min. 50, typ. 400.
Saturační napětí p<small>H</small> $I_C = 3 \text{ mA}$, $I_B = 0,2 \text{ mA}$:	<1,2 V, typ. 0,8 V.
Průrazné napětí p<small>H</small> $I_C = 100 \mu\text{A}$:	min. 6 V, typ. 10 V.
Tranzistor T_4	
Max. kolektorový proud:	20 mA.
Max. proud báze:	15 mA.
Proudové zesílení p<small>H</small> $U_{CE} = 0,8 \text{ V}$, $I_C = 120 \mu\text{A}$:	30 až 180, typ. 80.
Saturační napětí p<small>H</small> $I_C = 10 \text{ mA}$, $I_B = 1 \text{ mA}$:	max. 0,5 V, typ. 0,2 V.
Průrazné napětí p<small>H</small> $I_C = 100 \mu\text{A}$:	min. 6 V, typ. 10 V.
Tranzistory T_5, T_6	
Max. kolektorový proud:	200 mA.
Max. proud báze:	20 mA.
Proudové zesílení p<small>H</small> $U_{CE} = 0,4 \text{ V}$, $U_B = 2,5 \text{ V}$, $I_C = 1 \text{ mA}$:	min. 900, typ. 6000.
Saturační napětí p<small>H</small> $I_C = 100 \text{ mA}$, $I_{B5} = 0,5 \text{ mA}$, $U_B = 2,5 \text{ V}$:	max. 0,4 V, typ. 0,2 V.
Průrazné napětí p<small>H</small> $I_C = 100 \mu\text{A}$:	min. 6 V, typ. 10 V.



Obr. 85. Vnitřní zapojení A910D

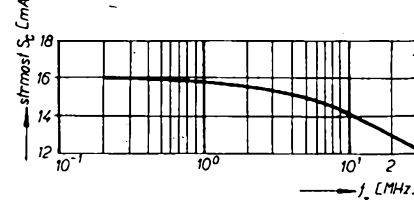
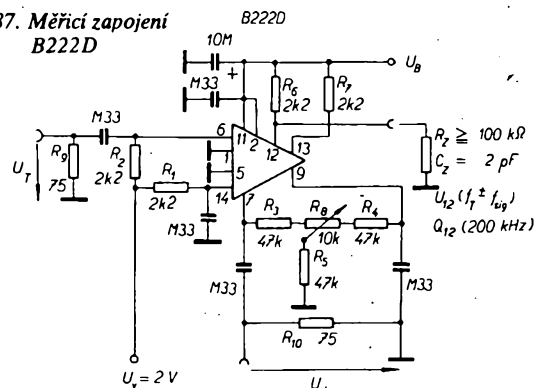
tvoří jednoduchý rozdílový zesilovač se zdrojem konstantního proudu T_{10} . Báze tranzistoru T_{10} je napojena ze zdroje stabilizovaného napětí s T_{11} , D_1 až D_5 . Pro zvětšení vstupní impedance jsou na vstupy dvojčinného rozdílového zesilovače připojeny emitorové sle-

Tab. 27. Parametry B222D

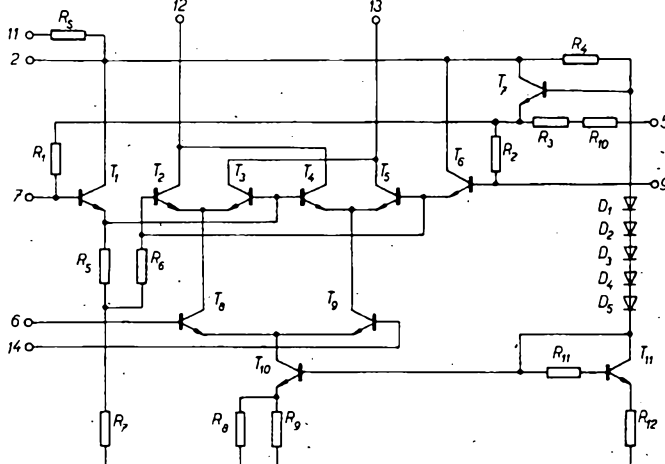
Mezní údaje			
Ztrátový výkon:	360 mW.		
Provozní teplota:	-25 až +85 °C.		
Tepelná plocha:	+125 °C.		
Tepelný odpor:	120 K/W		
U₆₋₁, U₁₄₋₁:	5 V.		
U₇₋₁, U₉₋₁:	8 V.		
U₇₋₉:	5 V.		
U₆₋₁₄:	5 V.		
U_B:	6 až 18 V.		
Statické údaje			
Odběr proudu při U_B = 18 V, U₅ = 0 V, vstupy odpojeny:	min. 8,4, typ. 9,3, max. 12,7 mA, 7,5 mA.		
U_B = 15 V:	min. 3,8, typ. 3,9, max. 4 V.		
Napětí U₅ při U_B = 15 V:	3,9 V.		
Napětí U₇, při U_B = 18 V, U₅ = 0 V:	3,4 V.		
U_B = 6 V:			
Dynamické údaje při U _B = 15 V, U _v = 2 V, U _T = 200 mV, f _i = 200 kHz, f _{sig} = 50 kHz, U _{sig} = 20 mV, θ _a = 25 °C			
Potlačení nosné při U_{sig} = 0, U_B = 15 V:	min. 35,2, typ. 45,8, max. 58,4 dB.		
Zesílení/směšovací při U_B = 15 V:	min. 30,5, typ. 31,4, max. 32,2 dB,		
U_B = 6 V:	18,2 dB,		
U_B = 18 V:	33 dB.		
Směšovací strmost při U _B = 15 V, R ₁₂₋₁ = 25 Ω:	16 mS.		
Potlačení vstupního napětí při dvojčinném zapojení při U _i = 100 mV a f _i = 1 kHz:	min. 26,4, typ. 29, max. 31,4 dB		

Obr. 87. Měřicí zapojení

B222D



Obr. 88. Směšovací strmost jako funkce kmitočtu (pro B222D)



Obr. 86. Vnitřní zapojení B222D

dováče T₁, T₆, jejichž báze jsou napájeny z tranzistoru T₇. B222D je v pouzdře DIP-14. Jeho parametry jsou v tab. 27 a závislost směšovací strmosti na kmitočtu f na obr. 88.

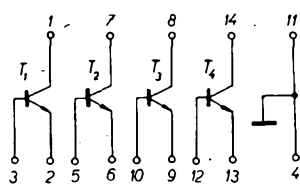
Integrované obvody B340D a B341D

Integrované obvody B340D a B341D jsou čtverice tranzistorů určené pro průmyslové použití. B341D je obvod vybíraný s ohledem na šum, lze ho použít např. i v korekčním zesilovači pro magnetickou přenosku. Vnitřní zapojení této dvou integrovaných obvodů je na obr. 89 a jeho parametry jsou v tab. 28. IO jsou v pouzdře DIP 14.

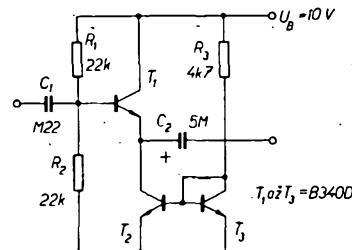
Na obr. 90 je zapojení emitorového sledovače s velkou přebuditelností. Emitorový sledovač, který má jako emitorový odporník zapojen zdroj proudu, se vyznačuje velkou přebuditelností. Zapojení podle obr. 90 umožňuje i při reálném zatěžovacím odporu dosáhnout výstupního špičkového napětí rovného napětí napájecímu U_B , je-li emitorové napětí sledovače bez vybuzení rovno $U_B/2$ a je-li zatěžovací odpór větší než $0,5 U_B L_{T2}$. Tranzistor T_1 je emitorový sledovač a tranzistory T_2 , T_3 tvoří proudové zrcadlo, kde T_2 řídí proud tranzistorem T_1 .

Tab. 28. Parametry B340D a B341D

Mezní údaje	
U_{CBO} :	20 V.
U_{CEO} :	15 V.
U_{EBO} :	5 V.
Napětí kolektor-substrát:	30 V.
I_B :	5 mA.
I_C :	10 mA.
P_Z :	400 mW.
Teplota při provozu:	+125 °C.
Informativní údaje pro 25 °C a $U_{CE} = 5 V$	
h_{21E} při $I_C = 1 \text{ mA}$:	56 až 560 (platí do skupin).
h_{21E} při $I_C = 10 \mu\text{A}$:	>30.
ΔU_{BE} při $I_C = 100 \mu\text{A}$:	<5 mV.
h_{21EX} při $I_C = 1 \text{ mA}$:	0,8 až 1,25.
h_{21EY} při $I_C = 1 \text{ mA}$:	210 MHz.
f_T při $I_C = 1 \text{ mA}$, $f = 100 \text{ MHz}$:	210 MHz.
F při $I_C = 200 \mu\text{A}$, $f = 1 \text{ kHz}$, $R_Q = 2 \text{ k}\Omega$:	5 dB (platí pro B341D).
Mezní kmitočet při $U_B = 6 \text{ V}$:	f_{21e} f_T
$I_C = 100 \mu\text{A}$:	11 95 MHz.
$I_C = 1 \text{ mA}$:	35 470 MHz.
$I_C = 10 \text{ mA}$:	49 706 MHz.



Obr. 89. Vnitřní zapojení B340D, B341D



Obr. 90. Emitterový sledovač s velkou přebuditelností

Pro kolektorový proud T_2 s dostatečnou přesností platí

$$I_{CT2} = \frac{U_B - U_{BE T_3}}{R_3}$$

Je-li napětí báze-emitor tří tranzistorů menší než U_B a je-li napětí na emitoru T_1 $U_B/2$, pak pro zatežovací odpor na výstupu platí

$$R_s = \frac{R_3}{2}$$

Na obr. 91 je zapojení kaskódového zesilovače s B340D, který se význačuje zejména dobrou stabilitou pracovního bodu. Jako kaskódový zesilovač s malou vstupní kapacitou jsou zapojeny tranzistory T_2 , T_3 . Aby byl zajištěn malý výstupní odpor, je použit emitorový sledovač s T_4 . Předpětím pro báze T_2 , T_3 je získáváno z obvodu T_1 , R_1 až R_3 . Kolektorový proud T_3 bude stálý stejný, budou-li T_1 a T_3 a rovněž R_3 a R_5 identické. Tato podmínka platí i při změně okolní teploty, neboť T_1 a T_3 jsou na stejném čipu. Pro napěťové zesílení A'_u platí

$$A'_u = \frac{R_6}{R_7}$$

V uvedeném zapojení bylo $A'_u = 10$ při šířce pásma 6 MHz. Maximální výstupní špičkové napětí je 6 V.

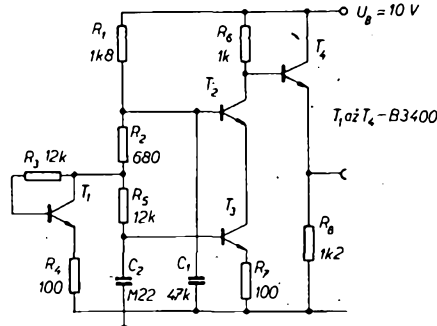
Na obr. 92 je zapojení referenční „diody“ s B340D. Pro referenční diodu potřebujeme jen tři tranzistory. Tranzistor T_4 je zapojen jako emitorový sledovač, který podstatně zmenšuje výstupní odpor zdroje referenčního napětí. Odpor R_1 až R_3 musí být odpory s kovovou vrstvou a jejich hodnoty vypočítáme ze vztahů

$$R_v = \frac{U_B - U_{BE T_4} - U_{ref}}{I_{CT1}}$$

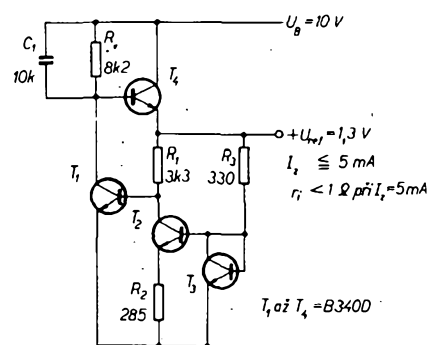
$$R_1 = \frac{CU_T}{I_{CT2}} \quad (U_T = 25,3 \text{ mV pro } 20^\circ\text{C})$$

$$R_2 = \frac{R_1}{C} \ln \frac{I_{CT3}}{I_{CT2}}$$

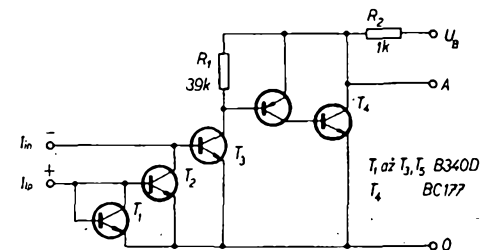
$$R_3 = \frac{U_{ref} - U_{BE T_3}}{I_{CT3}}$$



Obr. 91. Kaskódový zesilovač s B340D



Obr. 92. Referenční dioda



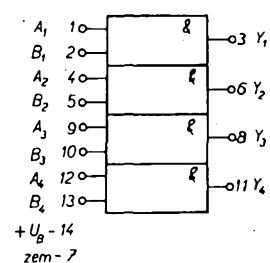
Obr. 93. Zapojení Nortonova zesilovače

Digitální integrované obvody z NDR

Digitální integrované obvody jsou v NDR vyráběny ve VEB Halbleiterwerk Frankfurt (Oder). Jejich hlavní parametry jsou v tab. 29.

Integrovaný obvod D100D, E100D

Integrovaný obvod D100D, E100D je čtyřnásobné dvouvstupové hradlo NAND.



Obr. 94. Zapojení D100D, E100D a dalších IO

pro které platí logická rovnice $Y = \bar{A}\bar{B}$. Obvod je v pouzdře DIP 14 a jeho vnitřní zapojení je na obr. 94. D100D je ekvivalentem SN7400 (MH7400) a E100D je ekvivalentem SN8400 (MH8400).

Tab. 29. Parametry IO řady D10, E10

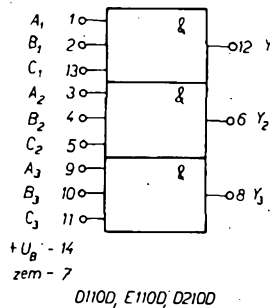
Mezní údaje	
Napájecí napětí:	0 až 7 V.
Vstupní napětí:	-0,8 až 5,5 V.
Logický zisk při L: 10 ($N_D = 1$ odpovídá $I_{OL} = 1,6 \text{ mA}$, $-I_{OH} = 40 \mu\text{A}$)	10 (fada D10).
Logický zisk při H: 10 (fada E10).	20 (fada E10).
Jmenovité údaje	
Napájecí napětí:	4,75 až 5,25 V
Provozní teplota:	0 až 70 °C (fada D10).
Provozní teplota:	-25 až +85 °C (fada E10).
Vstupní napětí při L: <0,4 V.	<0,4 V.
Vstupní napětí při H: >2,4 V.	>2,4 V.
Zpoždění signálu při $U_B = 5 \text{ V}$, $\theta_a = 25^\circ\text{C}$:	$t_{DLH} = 10 \text{ ns}$.
	$t_{DLH} = 15 \text{ ns}$.

Integrovaný obvod D103, E103D

Integrovaný obvod D103D, E103D je čtyřnásobné dvouvstupové hradlo NAND s otevřeným kolektorem, pro které platí logická rovnice $Y = \bar{A}B$. Obvod je umístěn v pouzdře DIP 14 a jeho vnitřní zapojení je na obr. 94. D103D je ekvivalentem SN7403 (MH7403) a E103D je ekvivalentem SN8403 (MH8403).

Integrovaný obvod D110D, E110D

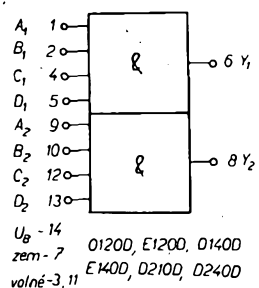
Integrovaný obvod D110D, E110D je trojnásobné třívstupové hradlo NAND, pro které platí logická rovnice $Y = \bar{ABC}$. Obvod je v pouzdře DIP 14 a jeho vnitřní zapojení je na obr. 95. D110D je ekvivalentem SN7410 (MH7410) a E110D je ekvivalentem SN8440 (MH8440).



Obr. 95. Zapojení D110D, E110D

Integrovaný obvod D120D, E120D

Integrovaný obvod D120D, E120D je dvojnásobné čtvrtvstupové hradlo NAND, pro které platí logická rovnice $Y = ABCD$. Obvod je v pouzdře DIP 14 a jeho vnitřní zapojení je na obr. 96. D120D je ekvivalentem SN7420 (MH7420) a E120D je ekvivalentem SN8420 (MH8420).



Obr. 96. Zapojení D120D, E120D

Integrované obvody D122C, D123C

Integrované obvody D122C a D123C jsou dvoukanálové čtecí zesilovače, pro něž platí logická rovnice $Y = G(\bar{A} + S_A), (\bar{B} + S_B)$. Jsou určeny jako interface k paměti. Obvody jsou v keramických pouzdrách DIL 16

Tab. 30. Parametry D122C, D123C

Mezní údaje	
Napájecí napětí $U_{B+} = -U_B$:	0 až 7 V.
Diferenciální referenční napětí:	-5 až +5 V.
Vstupní napětí:	-0,8 až +5,5 V.
Teplota pracovní:	0 až +70 °C.
Jmenovité údaje	
Napájecí napětí $U_{B+} = -U_B$:	4,75 až 5,25 V.
Referenční napětí U_{ref} :	15 až 40 mV.
Výstupní napětí U_{OH} :	> 2,4 V.
U_{OL} :	< 0,4 V.
Prahové napětí U_T :	$U_{ref} \pm 4$ mV (pro D122C). $U_{ref} \pm 7$ mV (pro D123C).
Vnější kondenzátor C_{ext} :	100 pF.

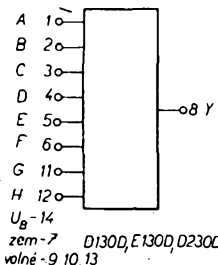
a jejich vnitřní zapojení je na obr. 97. D122D je ekvivalentem SN7522 a D123D je ekvivalentem SN7523 fy Texas Instruments. Jeho parametry jsou uvedeny v tab. 30.

Integrovaný obvod D126D, E126D

Integrovaný obvod D126D, E126D je čtyřnásobné dvouvstupové hradlo NAND s otevřeným kolektorem, určené pro napájecí napětí 15 V. Platí pro ně rovnice $Y = \bar{AB}$. Obvod je v pouzdře DIP 14 a jeho vnitřní zapojení je na obr. 94. D126D je ekvivalentem SN7426 a E126D je ekvivalentem SN8426 fy Texas Instruments.

Integrovaný obvod D130D, E130D

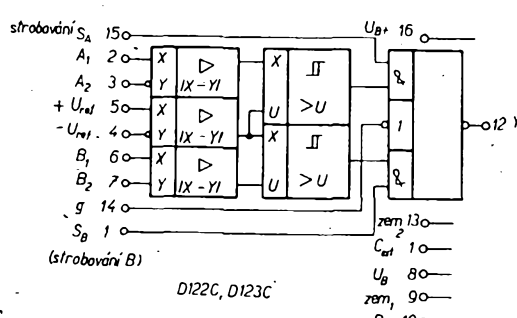
Integrovaný obvod D130D, E130D je osmivstupové hradlo NAND, pro které platí logická rovnice $Y = \bar{ABCDEGH}$. Obvod je v pouzdře DIP 14 a jeho vnitřní zapojení je na obr. 98. D103D je ekvivalentem SN7430 (MH7430) a E130D je ekvivalentem SN8430 (MH8430).



Obr. 98. Zapojení D130D, E130D

Integrovaný obvod D140D, E140D

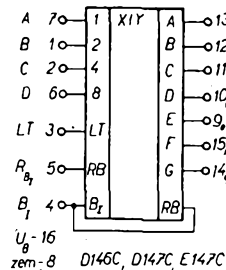
Integrovaný obvod D140D, E140D je dvojnásobné čtyřvstupové výkonové hradlo NAND se zatížitelností výstupu $N_o = 30$, pro které platí logická funkce $Y = \bar{ABCD}$. Obvod je v pouzdře DIP 14 a jeho vnitřní zapojení je na obr. 96. D140D je ekvivalentem SN7440 (MH7440) a E140D je ekvivalentem SN8440 (MH8440).



Obr. 97. Zapojení D122C, D123C

Integrovaný obvod D146C

Integrovaný obvod D146C je dekodér BCD na sedm segmentů s budičem. Zpoždění při sepnutí je kratší než 100 ns. Zatížitelnost při úrovni log. 0 je 12 a při úrovni log. 1 je zatížitelnost 5. Obvod je určen pro úroveň $U_{OH} = 30$ V (výstupní úroveň log. 1). Obvod je v keramickém pouzdře DIL 16 a jeho vnitřní zapojení je na obr. 99. D146C je ekvivalentní SN7446J fy Texas Instruments. Liší se v kódě čísel 6 a 9.



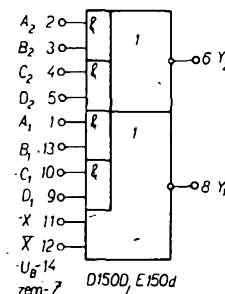
Obr. 99. Zapojení D146C, D147C, E147C

Integrovaný obvod D147C, E147C

Integrovaný obvod D147C, E147C je dekodér BCD na sedm segmentů s budičem, určený pro buzení sedmisegmentových displejů LED. Zpoždění při sepnutí i vypnutí je menší než 100 ns. Zatížitelnost $N_{OL} = 12$ a $N_{OH} = 5$. Obvod je určen pro výstupní úroveň $U_{OH} = 15$ V. D147D je přibližným ekvivalentem SN7447 fy Texas Instruments. Liší se v kódě čísel 6 a 9. Obvod je v pouzdře DIL 16 a jeho zapojení je na obr. 99.

Integrovaný obvod D150D, E150D

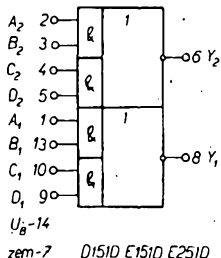
Integrovaný obvod D150D, E150D je dvojité dvouvstupové hradlo AND-NOR, u něhož lze jedno hradlo rozšířit expanderem; pro obvod platí logické rovnice $Y_1 = (\bar{AB}) + (\bar{CD}) + \bar{X}, Y_2 = (\bar{AB}) + (\bar{CD})$. Obvod je v pouzdře DIP 14 a jeho vnitřní zapojení je na obr. 100. D150D je ekvivalentem SN7450 (MH7450) a E150D je ekvivalentem SN8450 (MH8450).



Obr. 100. Zapojení D150D, E150D

Integrovaný obvod D151D, E151D

Integrovaný obvod D151D, E151D je dvojité dvouvstupové hradlo AND-NOR, pro které platí logická rovnice $Y = (\bar{AB}) + (\bar{CD})$. Obvod je v pouzdře DIP 14 a jeho vnitřní zapojení je na obr. 101. D151D je ekvivalentem SN7451 (MH7451) a E151D je ekvivalentem SN8451 (MH8451).

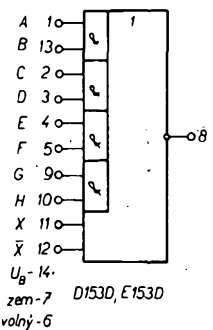


Obr. 101. Zapojení D151D, E151D

Integrovaný obvod D153D, E153D

Integrovaný obvod D153D, E153D je hradlo AND-NOR se 4×2 vstupy, pro které platí logická rovnice

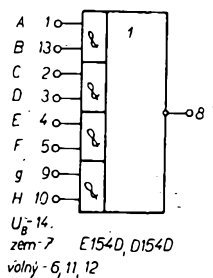
$Y = (AB) + (CD) + (EF) + (HG) + X$. Obvod je v pouzdře DIP 14 a jeho vnitřní zapojení je na obr. 102. D153 je ekvivalentem SN7453 (MH7453) a E153D je ekvivalentem SN8453 (MH8453).



Obr. 102. Zapojení D153D, E153D

Integrovaný obvod D154D, E154D

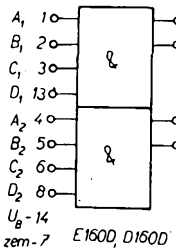
Integrovaný obvod D154D, E154D je hradlo AND-NOR se 4×2 vstupy, pro které platí logická rovnice $Y = (AB) + (DC) + (EF) + (GH)$. Obvod je v pouzdře DIP 14 a jeho vnitřní zapojení je na obr. 103. D154D je ekvivalentem SN7454 (MH7454) a E154D je ekvivalentem SN8454 (MH8454).



Obr. 103. Zapojení D154D, E154D

Integrovaný obvod D160D, E160D

Integrovaný obvod D160D, E160D jsou dva expandéry se čtyřmi vstupy, pro něž platí logická rovnice $X = ABCD$. Obvod je v pouzdře DIP 14 a jeho vnitřní schéma je na obr. 104. D160D je ekvivalentem SN7460.

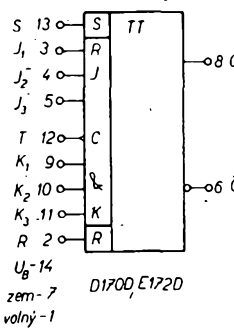


Obr. 104. Zapojení D160D, E160D

(MH7460) a E160D je ekvivalentem SN8460 (MH8460).

Integrovaný obvod D172D, E172D

Integrovaný obvod D172D, E172D je klopny obvod J-K-master-slave, který má tři vstupy J a tři vstupy K. Vstupy jsou sloučeny hradlem AND. Informace na vstupech jsou řízeny hodinovými impulsy na vstupu T. Tyto



Obr. 105. Zapojení D172D, E172D

impulsy řídí i vazební tranzistory v IO. Přes vstupy R, S je možné řídit zpětné nastavení nebo přednastavení klopny obvodu nezávisle na hodinovém impulsu. Obvod je v pouzdře DIP 14 a jeho vnitřní zapojení na obr. 105. D172D je ekvivalentem SN7472 (MH7472) a E172D je ekvivalentem SN8472 (MH8472).

Integrovaný obvod D174D, E174D

Integrovaný obvod D174D, E174D je dvojitý klopny obvod typu D, který je možné použít jako zpožďovací nebo paměťový klopny obvod do kmitočtu 15 MHz. Informace na vstupu D bude přenesena na výstup Q jedině tehdy, když se hodinový impuls změní z nízké úrovně na vysokou. Se vstupy R a S je možné realizovat nezávislé na hodinovém impulsu následující informace:

přechod z H na L na S, je-li Q úroveň H,
přechod z H na L na R, je-li na Q úroveň L.
Pro IO platí logická rovnice $Q(t_{n+1}) = D(t_n)$.
Obvod je v pouzdře DIP 14 a jeho vnitřní zapojení je na obr. 106. D174D je ekvivalentem SN7474 (MH7474) a E174D je ekvivalentem SN8474 (MH8474).

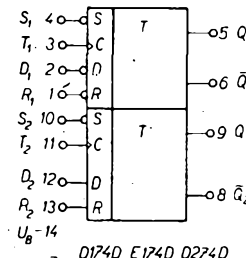
Doporučené napětí $U_B = 5,25$ V;

Pracovní teplota:

Doba zotavení při zápisu:

Zpoždění adresy-signál L (S_1 nebo S_0):

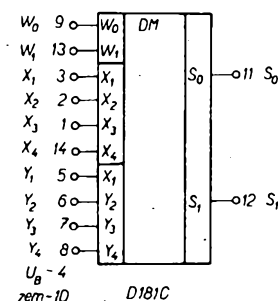
adresa-signál H (S_1 nebo S_0):



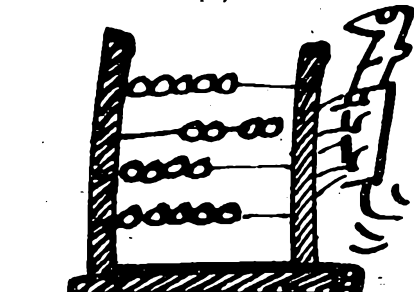
Obr. 106. Zapojení D174D, E174D

Integrovaný obvod D181C

Integrovaný obvod D181C je 16bitová paměť RAM s přímým vybavením, určená pro počítače, sběr dat a řídicí systémy. Paměť tvoří šestnáct klopny obvodů uspořádaných do matic 4×4 a řídicí logiky, 4X a 4Y adresovací vstupy, dovolující adresovat 16×1 bit. Cetci výstupy jsou s otevřenými kolektory, takže je lze sloučit (wired-or). Informace klopenného obvodu může být přečtena, když odpovídající adresa je na úrovni H. Neadresované vstupy a vstupy pro zápis musí být na úrovni L. Bude-li zvolený klopny obvod aktivován, pak bude připojen cetci zesilovač S₁. Jinak je připojen zesilovač S₀. Klopny obvod je aktivován, je-li na vstupu W₁ úroveň H a na vstupu W₀ úroveň L; bude-li na W₀ = H a W₁ = L, je obvod vymazán. Po odpojení zapisovacích impulů bude zapsaná informace na cetci výstupu, dokud není odpojená adresa. Zapsaná informace zůstává zachována, když se během čtení nezmění stav klopenného obvodu. Zmizí však po odpojení napájecího napětí. Obvod je v keramickém pouzdře DIL 14 a jeho zapojení na obr. 107. D181C je ekvivalentem SN7481J fy Texas Instruments. Jeho parametry jsou v tab. 31.



Obr. 107. Zapojení D181C



Tab. 31. Parametry D181C

Mezní údaje stejné jako u řady D10 (tab. 30)
Jmenovité údaje

Výstupní napětí pro L ($I_{OL} = 40$ mA):

min. 0,29, max. 0,4 V.

min. 5,5, typ. 16 V.

8. max. 11 mA.

1. max. 1,6 mA.

11. max. 400 μ A.

59. max. 91 mA.

0 až +70 °C.

25. max. 60 ns.

21. max. 45 ns.

12. max. 25 ns.

Výstupní průrazné napětí ($I_{OH} = 250$ μ A):

1. max. 11 mA.

11. max. 400 μ A.

59. max. 91 mA.

0 až +70 °C.

25. max. 60 ns.

21. max. 45 ns.

12. max. 25 ns.

Vstupní proud (vstupy adres, $U_{IL} = 0,4$ V):

1. max. 1,6 mA.

11. max. 400 μ A.

59. max. 91 mA.

0 až +70 °C.

25. max. 60 ns.

21. max. 45 ns.

12. max. 25 ns.

Vstupní proud (vstupy zápis, $U_{IL} = 0,5$ V):

1. max. 1,6 mA.

11. max. 400 μ A.

59. max. 91 mA.

0 až +70 °C.

25. max. 60 ns.

21. max. 45 ns.

12. max. 25 ns.

Vstupní proud L (vstupy adres, $U_{IH} = 4,5$ V):

1. max. 1,6 mA.

11. max. 400 μ A.

59. max. 91 mA.

0 až +70 °C.

25. max. 60 ns.

21. max. 45 ns.

12. max. 25 ns.

Odber ze zdroje ($U_B = 5,25$ V):

Pracovní teplota:

Doba zotavení při zápisu:

Zpoždění adresy-signál L (S_1 nebo S_0):

adresa-signál H (S_1 nebo S_0):

Dokončení údajů
o IO TTL výrobky
NDR bude v druhém
čísle AR řady B v roce 1981.

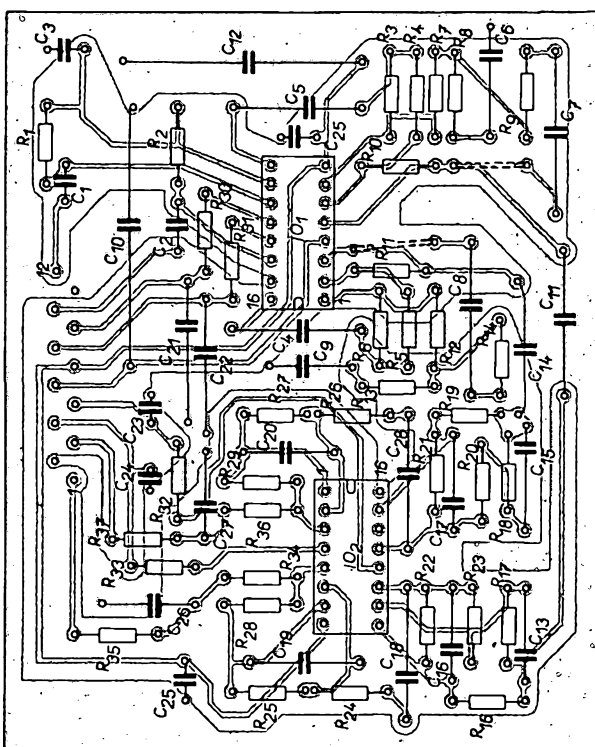
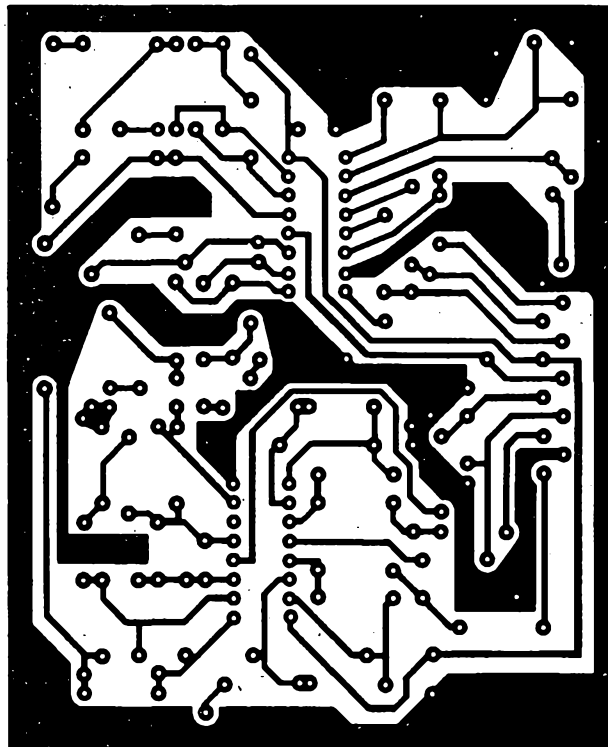
Korekční zesilovač s integrovanými obvody

Zapojení korekčního zesilovače s A273D a A274D bylo již uvedeno na obr. 58. Deska s plošnými spoji (obr. 1) je navržena pro modulovou konцепcií zesilovače.

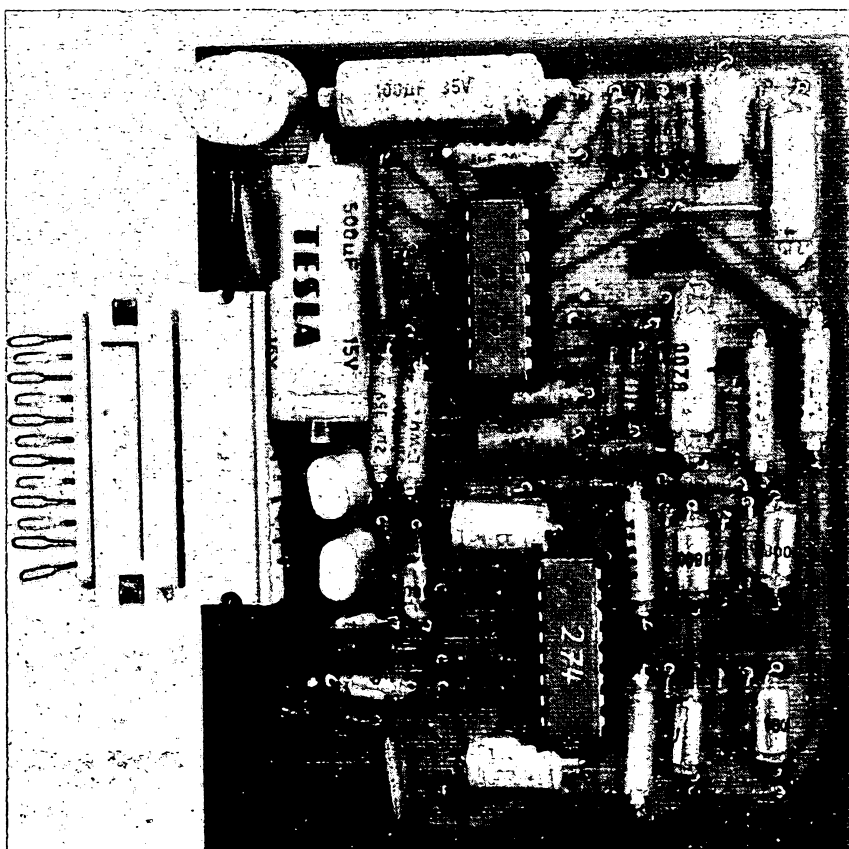
Vzhledem k tomu, že použité IO jsou určeny pro stereofonní provoz, popíšeme si jen jeden kanál tohoto korekčního předzesilovače, druhý je shodný. Vstupní signál

z přepínače vstupů je přes konektor (vývod 12) a přes kondenzátor C_1 přiveden na vývod 11 IO₁. Vstupní zesilovač je zapojen jako diferenciální zesilovač a proto je nutné mezi vývod 11 a 10 IO₁ zapojit odpor R_{11} , aby obě báze diferenciálního zesilovače byly na stejném potenciálu. „Střídavé“ je vývod 10 IO₁, blokován kondenzátorem C_3 . Zesilovač má

celkový zisk 20 dB; zisk můžeme potenciometrem vyvážení měnit v rozsahu ± 10 dB. Z výstupu (vývod 9 IO₁) je signál veden jednak na vstup dalšího diferenciálního zesilovače přes C_5 , R_4 (jehož zesílení je určeno poměrem odporů R_{10}/R_4) a současně přes odpor R_3 na vstup druhého diferenciálního zesilovače, který má ve zpětnovazební věti



Obr. 1. Deska s plošnými spoji O217 korekčního zesilovače z obr. 58



zapojen kmitočtově závislý článek T (R_7 , R_8 , R_9 , C_6 , C_7), tvořící obvod fyziologické regulace hlasitosti. Tento obvod lze výřadit z činnosti tlačítka „lineár“ uzemněním vývodu 4 IO₁ („střídavé“ zablokován kondenzátorem C_{10}) přes odpor R_{15} na zem. Odpor R_{15} se připojí na vývod 6 konektoru. Stejnosměrný napětí na vývodu 13 IO₁ (připojeném na vývod 8 konektoru) můžeme měnit hlasitost v rozsahu -70 dB až $+20$ dB. Z vývodu 5 IO₁ je signál přiveden přes kondenzátor C_{11} na korekční obvod R_{16} , R_{17} , R_{22} , R_{23} , C_{13} , C_{16} , kterým korigujeme výšky v rozsahu ± 15 dB. Rozsah regulace výšek můžeme ovlivnit změnou odporů R_{16} , R_{23} a kmitočet zlomu charakteristiky kondenzátory C_{13} , C_{16} . Z výstupu tohoto zesilovače (vývod 11 IO₂) je signál přes kondenzátor C_{18} přiveden na korektor hloubek (R_{24} , R_{28} , C_{19}), který má rozsah regulace ± 15 dB. Odpor R_{24} , R_{28} můžeme měnit rozsah regulace a kmitočet zlomu měníme kondenzátorem C_{19} . Odpor R_{23} jsou propojeny vstupy obou diferenciálních zesilovačů. Z vývodu 5 IO₂ je signál přes jednoduchý článek T (R_{34} , R_{35} , C_{26}), zlepšující odstup šumového napětí, přiveden na vývod 1 konektoru, odkud je veden k dalšímu zpracování. Na vývodech 4, 5, 8, 9 konektoru jsou připojeny kondenzátory C_{21} , C_{22} , C_{23} a C_{24} , které potlačují případné chrastění potenciometrů. Napájecí napětí je filtrováno kondenzátory C_{12} a C_{25} .

Seznam součástek

Odpory TR 112a

R ₁ , 2	0,27 MΩ
R ₃ , 6	18 kΩ
R ₄ , 5	33 kΩ
R ₇ , 12, 24, 26, 28, 29	12 kΩ
R ₈ , 13	560 Ω
R ₉ , 14	10 kΩ
R ₁₀ , 11	0,12 MΩ
R ₁₅ , 30, 31, 32, 33	680 Ω

R ₁₆ , 17, 18, 19, 20, 21, 22, 23	39 kΩ
R ₂₅ , 27	0,18 MΩ
R ₃₄ , 36	5,6 kΩ
R ₃₅ , 37	4,7 kΩ

Kondenzátory

C ₁ , 2, 25	TK 783, 0,1 μF
C ₃	TE 004, 50 μF
C ₄ , 5, 11, 24, 18, 28	TE 988, 1 μF
C ₇ , 9	TC180, 15 nF
C ₇ , 8	TGL 5155, 8,2 nF

C ₁₀	TE 984, 500 μF
C ₁₂	TE 986, 100 μF
C ₁₃ , 15, 16, 17	TGL 5155, 1,8 nF
C ₁₈ , 20	TC 235, 33 nF
C ₂₁ , 22	TE 986, 2 μF
C ₂₃ , 24	TE 005, 2 μF
C ₂₆ , 27	TGL 5155, 680 pF

Integrované obvody

IO ₁	A273D
IO ₂	A274D

Konektor WK 465 16 + WK 462 05

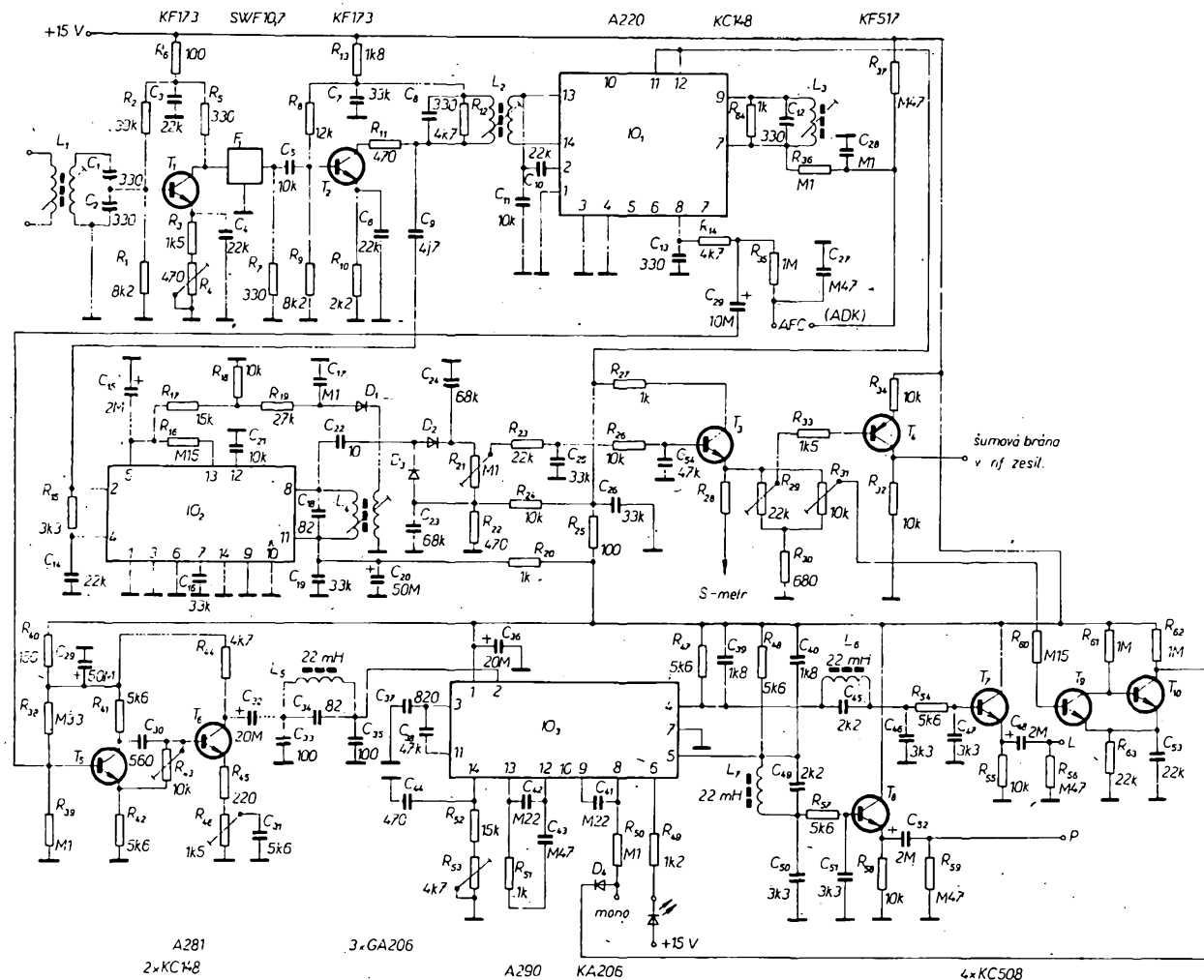
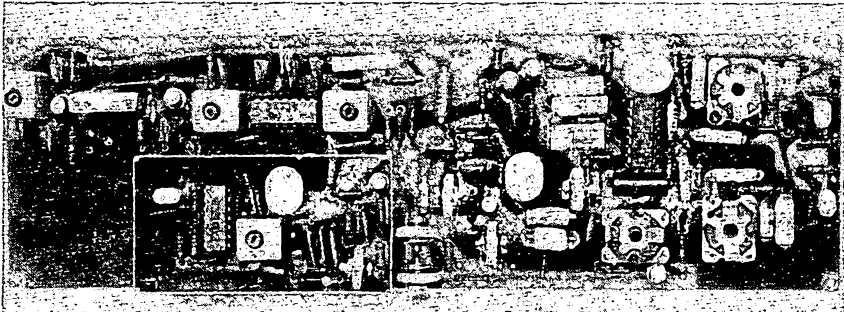
Mezifrekvenční zesilovač FM a stereofonní dekodér s integrovanými obvody

Zapojení FM mezifrekvenčního zesilovače a stereofonního dekodéru s integrovanými obvody A220D, A281D a A290D je na obr. 2, příslušná deska s plošnými spoji na obr. 3 a rozložení součástek na obr. 4.

Vstupní signál 10,7 MHz je z jednotky VKV přiveden přes vazební vinutí laděného obvodu L₁ a přes laděné vinutí L₁, C₁, C₂ na báze tranzistoru T₁. Odoporem R₄ měníme zesílení tohoto tranzistoru a to tak, abychom při připojené jednotce VKV dosáhli minimálního šumu. V kolektoru tranzistoru T₁ je připojen keramický filtr SFW10,7MA, který lze nahradit dvěma filtry SFE10,7MA stejné barvy, nebo dvěma filtry SPF10700 A190 z NDR. Tento filtr určuje selektivitu celého zesilovače a jeho propustné pásmo. Z výstu-

pu filtru je signál přiveden do báze tranzistoru T₂, který má v kolektoru připojen silně zatlumený laděný obvod L₂, C₃, R₁₂, který

jednak přizpůsobuje výstup T₂ na IO₁ a jednak lze tímto obvodem zlepšit fázovou chybu mf zesilovače. IO₁ pracuje jako omezovač

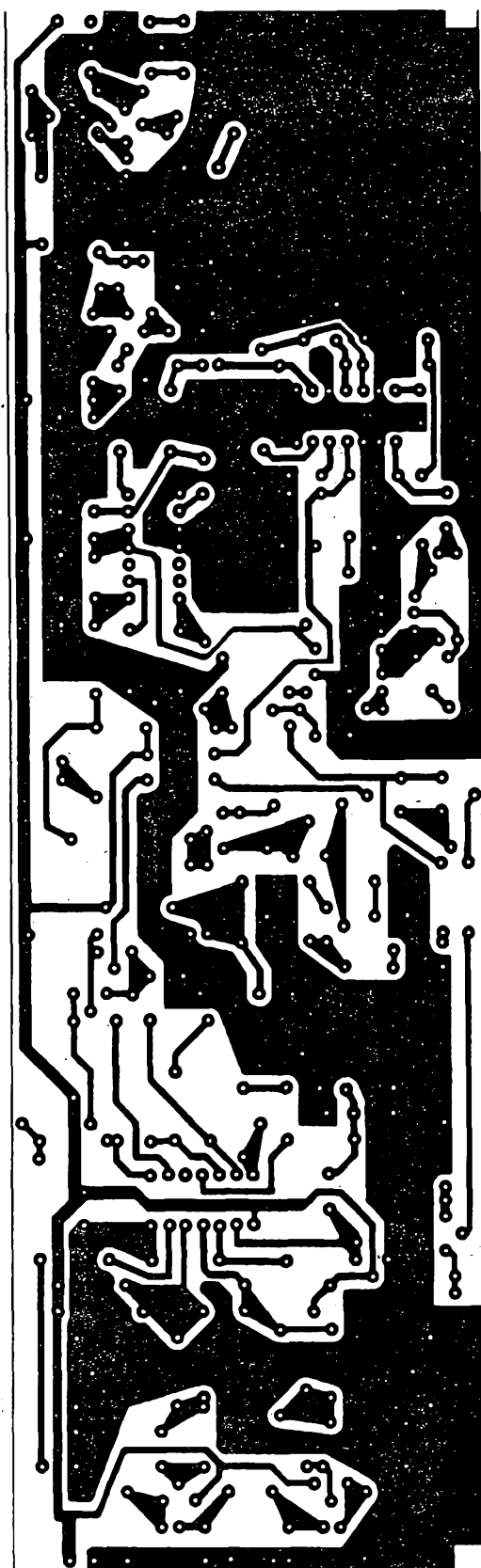


Obr. 2. Mf zesilovač FM a stereofonní dekodér s A220D, A281D a A290D

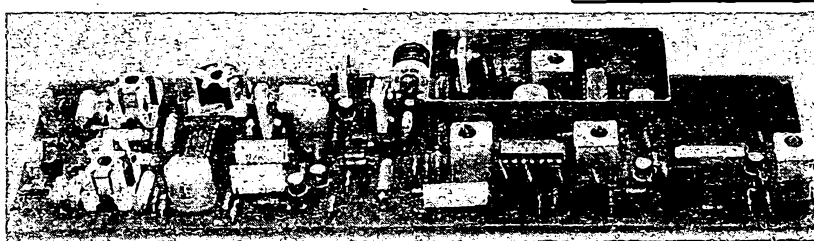
a kvadraturní detektor. Detekční obvod L_3 , C_{12} je silně zatlumen odporem R_{64} , takže jeho šířka pásma je asi 0,5 MHz. Z vývodu 8 IO₁ je odebíráno jednak přes odpor R_{14} a kondenzátor C_{29} multiplexní signál k dalšímu zpracování a jednak přes odpor R_{35} ss napětí pro ADK. Referenční napětí pro ADK je odebíráno z děliče napětí R_{31} , R_{36} , který je spojen s vývodem 7 IO₁.

Vzhledem k tomu, že IO A220D nemá žádné obvody pro pomocné funkce (S-metr, tiché ladění, ovládání stereofonního dekodéru apod.), je na laděný obvod L_2 přes kondenzátor C_9 připojen IO₂ A281D, který je zapojen jako mf zesilovač s AVC. Na jeho výstupu je zapojen laděný obvod L_4 , C_{18} , jehož sekundární napětí je usměrněno diodou D₁ a po příslušné filtrace a zpoždění přivedeno na vývody 5 a 13 IO₂. Vzhledem k tomu, že na vývod 5 je připojena báze tranzistoru p-n-p, musí být regulační napětí záporné. Jelikož pro ostatní funkce potřebujeme řídící napětí kladné, je nutné z obvodu L₁ odebírat přes kondenzátor C_{22} střídavé napětí, které se pak usměrní zdvojovovačem D₂, D₃. Odporom R_{21} lze nastavit maximální výchylku S-metru. Odpor R₂₃, R₂₆ a kondenzátory C₂₅, C₅₄ filtrovají usměrněné napětí pro tranzistor T₃, v jehož emitoru je zapojen přes odpor R₃₈ S-metr a regulační odpor R₂₉, R₃₁. Odporom R₂₁ můžeme kompenzovat prahové napětí T₃. Z odporu R₂₉ je buzen tranzistor T₄, ovládající tranzistory v šumové bráně. Z odporu R₃₁ je buzen monostabilní klopý obvod T₉, T₁₀, který pracuje jako automatický spínač v zásivlosti na síle pole. Dioda D₄ slouží ke stejnosměrnému oddělení T₁₀ od tlačítka mono, kterým uzemňujeme vývod 8 IO₃. S-metr pracuje v rozsahu 3 až 4 dekad.

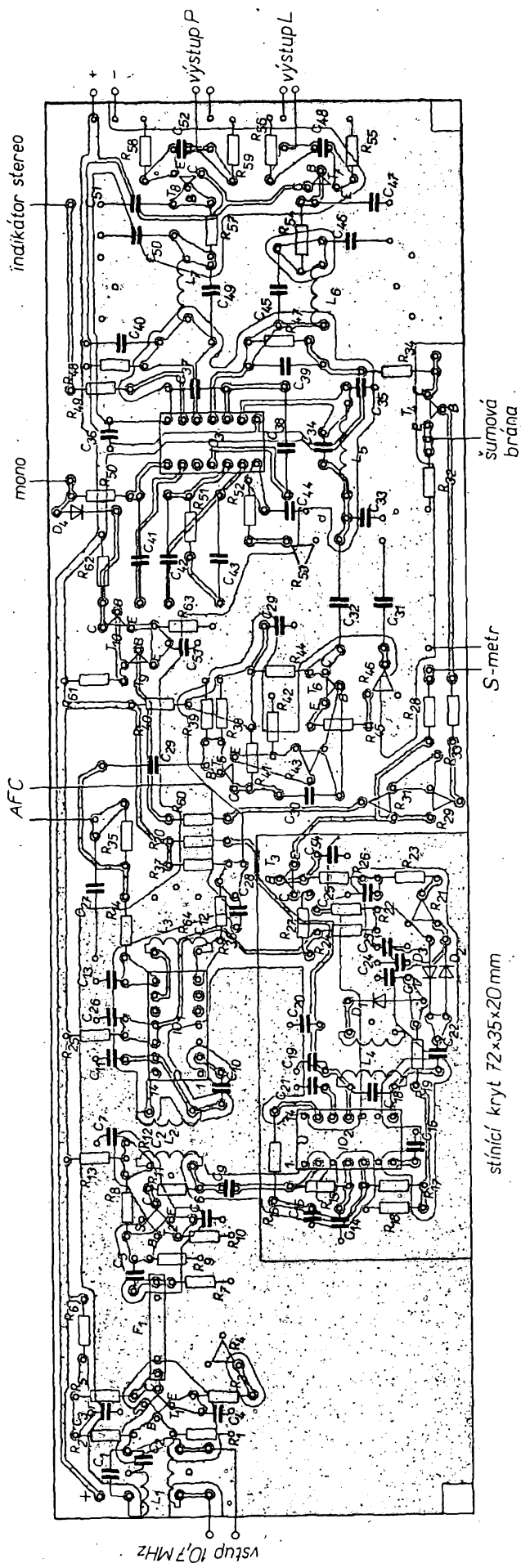
Multiplexní signál je přes kondenzátor C₂₉ přiveden na bázi T₅, který je zapojen jako fázovací článek a slouží k fázové korekci multiplexního signálu. Tranzistor T₆ zesiluje multiplexní signál na potřebnou úroveň. Obvodem R₄₆, C₃₁ korigujeme kmitočtové signál MPX (současně i s fázovacím článkem v T₅), čímž je možné zlepšit přeslechy. V kolektoru T₆ je zapojena dolní propust (L₅, C₃₃, C₃₄, C₃₅) s maximálním útlumem na 114 kHz, která potlačuje modulaci vzniklou vyššími harmonickými pilotního signálu. Stereofonní dekodér s A290D (MC1310) je zapojen obvyklým způsobem. Na jeho výstupu jsou dolní propusti (C₃₉, C₄₅, L₆, C₄₆, R₃₄, C₄₇), které potlačují kmitočty 19 a. předeším 38 kHz. Na výstupu filtru je připojen emitorový sledovač T₇₍₈₎. Vstupní citlivost mf zesilovače pro plné omezení je 5 μ V.



Obr. 3. Deska s plošnými spoji mf zesilovače a dekodéru (O218)



Seznam součástek



Obr. 4. Rozložení součástek na desce s plošnými spoji

Odpory a odporové trimy (TR 112a, popl. TP011)	
R ₁ , 9	8,2 kΩ
R ₂	39 kΩ
R ₃ , 33	1,5 kΩ
R ₄	470 Ω
R ₅ , 7	330 Ω
R ₆ , 23	100 Ω
R ₈	12 kΩ
R ₁₀	2,2 kΩ
R ₁₁ , 12	470 Ω
R ₁₂ , 14, 44	4,7 kΩ
R ₁₃	1,8 kΩ
R ₁₅	3,3 kΩ
R ₁₆ , 60	0,15 M; 15 kΩ
R ₁₇ , 52	
R ₁₈ , 24, 26, 32, 53, 58	10 kΩ
R ₁₉	27 kΩ
R ₂₀ , 27, 51, 64	1 kΩ
R ₂₁	0,1 MΩ
R ₂₃ , 43	22 kΩ
R ₂₈	TR 112, podle použitého měřidla
R ₂₉	22 kΩ
R ₃₀	680 Ω
R ₃₁ , 43	10 kΩ
R ₃₅ , 61, 62	1 MΩ
R ₃₆ , 39, 50	0,1 MΩ
R ₃₇ , 56, 59	0,47 MΩ
R ₃₈	0,33 MΩ
R ₄₀	150 Ω
R ₄₁ , 42, 47, 48, 54, 57	5,6 kΩ
R ₄₅	220 Ω
R ₄₆	1,5 kΩ
R ₄₉	1,2 kΩ
R ₅₃	4,7 kΩ

Kondenzátory

C ₁ , 2, 8, 12	TGL 5155, 330 pF
C ₃ , 4, 1, 10, 14, 53	TK 783, 22 nF
C ₅ , C ₁₁ , 21	TK 783, 10 nF
C ₇ , 16, 19, 25, 26	TK 783, 33 nF
C ₉	TK 754, 4,7 pF
C ₁₃	TK 754, 330 pF
C ₁₅ , 40, 52	TE 005, 2 μF
C ₁₇ , 28	TK 783, 0,1 μF
C ₁₈	TK 754, 82 pF
C ₂₀ , 29	TE 004, 50 μF
C ₂₂	TK 754, 10 pF
C ₂₃ , 24	TK 783, 68 nF
C ₂₇ , 43	TC 215, 0,47 μF
C ₃₀	TGL 5155, 560 pF
C ₃₁	TGL 5155, 5,6 nF
C ₃₂	TE 984, 20 μF
C ₃₃ , 35	TK 754, 100 pF
C ₃₄	TK 754, 82 pF
C ₃₆	TE 005, 20 μF
C ₃₇	TGL 5155, 820 pF
C ₃₈	TC 180, 47 nF
C ₃₉ , 40	TGL 5155, 1,8 nF
C ₄₁ , 42	TC 215, 0,22 μF
C ₄₄	TGL 5155, 470 pF
C ₄₅ , 49	TGL 5155, 2,2 nF
C ₄₆ , 47, 50, 51	TGL 5155, 3,3 nF
C ₅₄	TK783, 47 nF

Položdičové prvky

I _{O1}	A220D (R220D)
I _{O2}	A281D (R281D)
I _{O3}	A290
T ₁ , 2	KF173 (KF525)
T ₃ , T ₅ až T ₁₀	KC148
T ₄	KF517 (BČ177)
D ₁ až D ₃	GA206
D ₄	KA206

Ostatní součástky

F ₁	SFW10, 7MA (2 × SFE10, 7MA, 2 × SPF10700 A190)
L ₁ až L ₄	kryt 4PA 687 06, kostra 4PA 260 17, jádro M4 × 0,5 × 12, N 05
L ₁	2 závitů
L ₂	14 závitů
L ₃	10 závitů, drát o Ø 0,2 mm CuL
L ₄	4 závitů
L ₅	10 závitů
L ₆	20 závitů
L ₇ až L ₇	24 závitů
	22 mH (feritový hrnčík o o 14 mm)